

Издается с января 1993 г.  
№1 (113) январь 2003

Ежемесячный научно-популярный журнал  
Совместное издание с НТО РЭС Украины  
Зарегистрирован Государственным  
Комитетом Украины по печати сер. КВ,  
№ 507, 17.03.94 г.

Учредитель - МП «СЭА»



## Редакционная коллегия:

Г.А. Ульченко, гл. ред.  
В.Г. Абакумов  
В.Г. Бондаренко  
С.Г. Бунин  
А.В. Выходец  
В.Л. Женжера  
А.П. Живков  
С.И. Миргородская, ред. "Электр. и комп."  
Н.В. Михеев, ред. "Аудио-Видео"  
О.Н.Партала  
А.А. Перевертайло, UT4UM  
Р.А. Радченко  
Э.А. Салахов  
А.Ю. Саулов  
Е.Т. Скорик  
Ю.А. Соловьев  
В.К. Стеклов  
П.Н. Федоров, ред. "Совр. телеком."

## Редакция:

**Для писем:**  
а/я 50, 03110, Киев-110, Украина  
тел. (044) 230-66-61  
факс (044) 248-91-62  
redactor@sea.com.ua  
http://www.ra-publish.com.ua  
Адрес редакции:  
Киев, Соломенская ул., 3, к. 803

## Издательство "Радиоаматор"

Директор Ульченко Г.А. ra@sea.com.ua  
А.Н. Зиновьев, лит. ред.  
А.И. Поночовный, верстка, san@sea.com.ua  
Т.П. Соколова, тех. директор, т/ф 248-91-62  
С.В. Латыш, рекл., т/ф 230-66-62, lat@sea.com.ua  
В.В. Моторный, подписка и реализация,  
тел. 230-66-62, 248-91-57, val@sea.com.ua

Подписано к печати 23.12.2002 г.

**Зак. Тираж** 6100 экз.  
Отпечатано с компьютерного набора  
в Государственном издательстве  
«Преса України», 03047, Киев - 047,  
пр. Победы, 50

© Издательство «Радиоаматор», 2002  
При перепечатке материалов ссылка на  
«Радиоаматор» обязательна.  
За содержание рекламы и объявлений  
редакция ответственности не несет.  
Ответственность за содержание статьи,  
правильность выбора и обоснованность  
технических решений несет автор.  
Для получения совета редакции по  
интересующему вопросу вкладывайте  
оплаченный конверт с обратным адресом.

Детальная информация о рекламных услугах нашего издания находится на справочном сайте  
о СМИ Украины "Рекламный компас" http://www.mass-media.com.ua



### аудио-видео

- 3 Проигрыватель компакт-дисков. Оптический блок ..... Ю.Ф. Авраменко
- 5 Простой блок питания ..... Ю. Руссов
- 6 Усилитель мощности на микросхеме TDA7294 и возможности его применения ... И.А. Коротков
- 9 Селектор выбора программ, совместимый с ДУ ..... А.С. Кальянц, А.А. Кальянц
- 11 Обсуждаем тему
- 13 Ремонт усилителя фирмы "Sony" ..... А.Г. Зысюк
- 13 Проверка пульта ДУ ..... А.Р. Зайцев
- 14 Микросхемы TEA5711 фирмы "Philips" и KA22134 фирмы "Samsung"
- 15 Возвращаясь к напечатанному
- 16 Клуб и почта

### электроника и компьютер

- 20 Хлебопекарная мини-печь "Бокс-600" ..... С.М. Усенко
- 22 Принципы зарядки аккумуляторов ..... А.В. Милищук
- 24 Цифровой измеритель промышленной частоты ..... В.Ю. Демонтович
- 25 Воскресим "убитую" ЛДС ..... Д. Александров
- 26 Электропривод для микродрели ..... В. Самельюк
- 28 Ремонт электронно-механических часов ..... В. Василенко
- 30 Оптротриаки
- 31 Транзисторы, применяемые в строчной развертке видеомониторов
- 32 Подключение "Dreamcast" к телевизору и VGA-монитору ..... С.М. Рюмик
- 33 Возвращаясь к напечатанному
- 34 Sprint-Layout3.0R - простая программа для разводки печатных плат ..... И.Б. Безвержний
- 38 Диодный колебательный контур ..... О.Л. Архипов
- 39 Многопозиционный тиристорный переключатель ..... М.А. Шустов
- 40 Дайджест

### Бюллетень КВ+УКВ

- 44 Любительская связь и радиоспорт ..... А. Перевертайло
- 47 В эфире - хребет Уреньга, гора Два Брата ..... А. Зубрицкий
- 48 Широкополосная антенна УКВ на основе CD ..... И. Григоров

### современные телекоммуникации

- 50 Пейджер для автомобиля ..... С.М. Абрамов
- 53 Индуктор для настройки кабелеискателей ..... С.А. Елкин
- 54 Цифровые телефоны для системы С32 ..... А. Попель
- 58 Беспроводная передача данных ..... Н.Н. Ракович
- 59 Чудо-анализатор аккумуляторных батарей PЕСН IQfive

### новости, информация, комментарии

- 60 Визитные карточки
- 63 Книжное обозрение
- 63 Читайте в "Конструкторе" 12/2002
- 63 Читайте в "Электрике" 12/2002
- 64 Книга-почтой



## Анкета журнала "Радиоаматор" 2003 г. (нужное подчеркнуть или вписать)

- |   |                                  |   |                                  |
|---|----------------------------------|---|----------------------------------|
| 1 | Являетесь ли Вы членом Клуба РА? | 7 | Профессиональная деятельность:   |
|   | Да Нет                           |   | научный работник, преподаватель  |
| 2 | Возраст:                         |   | инженерно-технический работник   |
|   | до 18 18 - 25 26 - 35            |   | рабочий                          |
|   | 36 - 45 46 - 55 за 55            |   | предприниматель                  |
| 3 | Образование:                     |   | администратор, менеджер          |
|   | высшее                           |   | специалист гуманитарного профиля |
|   | незаконченное высшее             |   | пенсионер                        |
|   | среднее специальное              |   | школьник                         |
|   | средняя школа                    |   | студент                          |
|   |                                  |   | военнослужащий                   |
|   |                                  |   | другое                           |
| 4 | Радиолюбительский стаж:          | 5 | Чем увлекаетесь?                 |
|   | до 5 лет                         |   | КВ-УКВ связь                     |
|   | 5-15 лет                         |   | Разработка аудио                 |
|   | более 15 лет                     |   | Разработка схем электроники      |
| 6 | Место жительства:                |   | Разработка ВЧ схем               |
|   | Столица государства              |   | Ремонт ТВ                        |
|   | Центр области, края, АР          |   | Ремонт бытовой техники           |
|   | Крупный город                    |   | Повторение конструкций           |
|   | Небольшой город, поселок         |   | Модернизация техники             |
|   | Сельская местность               |   | другое                           |

АНКЕТА-2003

Прислать до 15.02.03 по адресу: Анкета РА, а/я 50, Киев-110, 03110, Украина

## Уважаемый читатель

Этот номер открывает новое десятилетие в жизни журнала "Радиоаматор". За это время было выпущено 112 номеров журнала, напечатано 2967 статей на 5272 страницах, 65 раз редакция обращалась к своим читателям, излагая планы на будущее, приглашая к разговору на актуальные темы, подводя итоги нашей совместной работы. Именно работы, ибо наш журнал - не развлечение, а источник информации, который позволяет загрузить работой и мозги, и руки, и даже чувства, потому что иногда эмоции на страницах журнала брызжут через край!

Особую благодарность редакция выражает нашим авторам, благодаря которым среди радиолюбителей журнал "Радиоаматор" пользуется устойчивым авторитетом. Всего в журнале опубликовались статьи 816 авторов, среди которых постоянными авторами можно назвать не более полусотни человек, публиковавшихся более-менее часто на протяжении отдельных периодов за прошедшие 10 лет. Вклад постоянных авторов трудно переоценить - это более трети всего количества статей, хотя в количестве авторов они занимают только одну шестнадцатую часть!

Рейтинг нашей "Первой сотни" авторов будет опубликован во втором номере, но уже сейчас можно сказать, что абсолютным чемпионом журнала "Радиоаматор" среди авторов является Партала О.Н., который с первого номера и до сегодняшнего дня опубликовал 81 статью. Среди наиболее часто публикуемых авторов нашего журнала также Рюмик С.М., Артеменко В.А., Бунин С.Г., Саулов А.Ю., Зысюк А.Г., Никитенко О.В., Яковлев Е.Л., Скорик Е.Т., Риштун А., Пилько Г.В., Бородай В.Д., Бородастый Ю.И., Елкин С.А., Кравченко А.В., Бубнов А.Ф., Пашкевич Л.П., Рубаник В.А., Кравченко Д.А., Безверхний И.Б. На их счету 546 публикаций, что составляет пятую часть их общего числа. Тем более что качество статей этих авторов отвечает самым высоким требованиям, как со стороны редакции, так и со стороны читателей.

Теперь об итогах конкурса 2002 г. по сельской тематике. В связи с тем, что условия конкурса не были четко сформулированы, то и участие в нем было таким же. Поэтому редакция приняла решение наградить поощрительным призом Татаренко А.А. за оригинальность решения наиболее сложной проблемы.

Здесь же перед Вами анкета, редакция ожидает, что Вы оперативно и пунктуально заполните ее и вышлите в наш адрес.

**Главный редактор Георгий Ульяновко**

## Положение о клубе читателей "Радиоаматора"

1. Членом Клуба читателей "Радиоаматора" (далее сокращенно КЧР) может быть любой читатель, который пишется на один из журналов издательства "Радиоаматор": "Радиоаматор", "Электрик", "Радиокомпоненты" или "Конструктор" и регистрируется в редакции. Членство в клубе начинается с момента регистрации и является пожизненным. Членство может быть действительным или условным.

2. Зарегистрированным считается читатель, который прислал в издательство "Радиоаматор" по адресу 03110, Издательство "Радиоаматор", КЧР, а/я 50, Киев 110, Украина ксерокопию или оригинал квитанции о подписке, а также указал свою фамилию и адрес. На квитанции должно быть четко видно название журнала, срок, на который оформлена подписка, оттиск кассового аппарата с указанной суммой и почтовый штемпель. По одной квитанции может зарегистрироваться один член КЧР или один представитель от групповой подписки.

4. Статус действительного члена получают члены КЧР на период подписки, непрерывный срок которой составляет не менее полугода. Продление срока действительного членства производится путем подачи членом КЧР ксерокопии квитанции на последующий подписной период. При перерывах в подписке или ее окончании член КЧР остается в рядах клуба и имеет статус *условного* члена.

5. Действительные члены КЧР имеют право:

- Получить 10% скидку на приобретение литературы.
- Получать бесплатно информационные материалы издательства "Радиоаматор" и выдержки из документов, регламентирующих радиолюбительскую деятельность.

- Опубликовать бесплатно свое объявление некоммерческого характера в одном из журналов издательства "Радиоаматор" один раз в квартал.

- Устанавливать деловые и дружеские контакты с другими членами клуба и авторами статей, опубликованными в журналах издательства "Радиоаматор", вступать в секции клуба по интересам и принимать участие в формировании тематики журналов на очередной подписной период.

- Получить бесплатно консультацию по одному-двум вопросам один раз в полугодие.

- Вне очереди опубликовать в одном из журналов издательства собственную статью.

- Получить бесплатно ксерокопии статей из старых журналов издательства "Радиоаматор", которых уже нет в продаже, в количестве до 10 листов формата А4.

6. Члены КЧР должны содействовать развитию радиотехнической грамотности населения, особенно молодежи и юношества, активно пропагандировать среди них журналы "Радиоаматор", "Электрик", "Радиокомпоненты" и "Конструктор", участвовать в ежегодном анкетировании читателей.

7. В клубе работают секции по интересам для дружеского общения на основе совместных интересов и свободного обмена информацией. Члены КЧР могут вступать в любое число секций, которые отвечают их интересам. Правление Клуба назначает руководителей секций из числа наиболее подготовленных радиолюбителей, изъявивших желание работать на общественных началах.

8. Правление КЧР состоит из членов редколлегии журналов "Радиоаматор", "Электрик", "Радиокомпоненты" и "Конструктор". Председателем Правления является главный редактор журнала "Радиоаматор".

9. КЧР поощряет своих наиболее активных членов, а также специалистов и любителей, внесших большой вклад в развитие радио и электротехники

**Председатель Правления КЧР  
Главный редактор журнала "Радиоаматор" Г.А.Ульяненко**

## Требования к авторам по оформлению материалов в журнал "Радиоаматор"

Принимаются к печати авторские оригинальные материалы, которые не печатались в других изданиях и не были отправлены одновременно в несколько различных изданий. В начале статьи дается аннотация, отделенная от текста. В ней указываются краткое содержание, отличительные особенности, привлекательные стороны и возможные недостатки. В статье, описывающей конструкцию функционирующего устройства, обязательно приводить такие основные параметры схемы, как потребляемая и полезная мощность, рабочая частота, полоса пропускания, диапазон частот, чувствительность и т.п.

Статьи в журнал "Радиоаматор" можно присылать в трех вариантах: разборчиво написанные от руки, напечатанные на машинке или распечатанные на принтере и в

электронном виде (набранные на компьютере в любом текстовом редакторе для DOS или Windows IBM PC).

Рисунки конструкций, схем и печатных плат, а также таблицы следует выполнять на отдельных листах вне текста статьи. На обороте каждого листа подписывается номер рисунка или таблицы, название статьи и фамилия автора. При выполнении схем, чертежей и графиков начертание, расположение и обозначение элементов производят с учетом требований ЕСКД.

Рисунки принимаются в бумажном и электронном виде. Эскизы и чертежи должны выполняться аккуратно, с использованием чертежных инструментов, черными линиями на белом фоне с увеличением в 1,5...2 раза. В электронном виде рисунки выполняются в любом из графических редакторов под Windows. Графические файлы должны иметь расширения \*.cdr (v. 5-10), \*.tif (300 dpi, M1:1), \*.pcx (300 dpi, M1:1), \*.bmp (72 dpi, M4:1).

Получение авторских материалов в бумажном виде и на цифровых носителях (дискеты 3,5", CD-ROM) осуществляется через почту по адресу:

Редакция журнала "Радиоаматор"  
а/я 50, Киев-110  
03110, Украина

Файлы статей принимаются по адресу электронной почты [redactor@sea.com.ua](mailto:redactor@sea.com.ua) с указанием предмета письма "статья".

## Информация о вознаграждении

Гонорары выплачиваются авторам после опубликования статьи в течение месяца после выхода очередного номера.

Начисление гонорара проводится с учетом:

1. Готовности материалов к верстке. Небрежно и не по правилам оформленные материалы приводят к уменьшению гонорара на сумму оплаты труда наборщика и художника.

2. Объемов опубликованной статьи. Предпочтение отдается краткому изложению, раскрывающему суть без лишних слов.

3. Оригинальности содержания. Выше оценивается новизна конструктивных решений, новаторские подходы в решении известных задач. Статья, уже опубликованная в других изданиях, может быть принята, но оценивается значительно ниже оригинальной.

4. Взаимоотношений издательства и автора. Выше оцениваются материалы, заказанные автору издательством, статьи постоянных авторов, специальные материалы эксклюзивного содержания.

Сумма гонорара за печатную полосу журнала составляет (в эквиваленте) от 8 до 20 у.е. с учетом перечисленных факторов. Гонорар может превысить 20 у.е. за полосу в случае, если редакция журнала сама заказала статью автору.



АНКЕТА-2003

8 С какого года читаете журнал

10 Три лучшие публикации года:  
ФИО автора и номер журнала

11 Какие рубрики предпочитаете:  
Аудио-видео  
КВ + УКВ  
Электроника и компьютер  
Помощь радиолюбителю  
Современные телекоммуникации  
Дайджест  
Клуб и почта

13 Какие рубрики нужно добавить?

14 Используете Интернет?

На работе  
Дома  
Есть адрес E-mail  
Есть свой сайт  
Нет, потому что дорого  
Нет связи, нет провайдеров

15 Есть ли мобильный телефон?

Да Нет

16 Откуда получаете ТВ сигнал?

по эфиру  
по кабелю  
от спутника

17 Работает ли радиотрансляционная сеть?

Да Нет

16 Предложения и пожелания "РА"

Ответы на вопросы анкеты можно посылать по эл. почте, проставляя только номер вопроса и ответ, или воспользоваться электронной версией анкеты на сайте издательства <http://www.ra-publish.com.ua/anket03.htm>

Прислать до 15.02.03 по адресу: Анкета РА, а/я 50, Киев-110, 03110, Украина

# Проигрыватель компакт-дисков. Оптический блок



Ю.Ф. Авраменко, г. Киев

**В статье автора, опубликованной в РА 10/2002 (с.7-9), были описаны принцип действия, состав и конструкция оптического блока серии KSS фирмы "Sony" проигрывателя компакт-дисков, лазерного диода, входящего в его состав. Ниже рассказано об устройстве фотодиодной матрицы, о системах автоматической фокусировки считывающего луча на поверхности CD и отслеживания дорожки записи оптического блока серии KSS.**

При воспроизведении информации с компакт-диска необходимо, чтобы расстояние между фокусирующим объективом и дорожкой записи было равно фокусному расстоянию объектива. Максимально допустимые отклонения от этого положения в ту или иную сторону не должны превышать пределов его глубины резкости. Глубина резкости оптической системы равна  $\pm 1,9$  мкм, в то же время вертикальные биения CD при воспроизведении могут достигать  $\pm 0,5$  мм. Для того чтобы обеспечить требуемое

расстояние между линзой объектива и компакт-диском, используют систему автоматической фокусировки, которая в зависимости от величины и знака ошибки фокусировки формирует управляющий электрический сигнал, корректирующий положение линзы объектива в вертикальной плоскости.

При тиражировании CD возникает эксцентриситет дорожки записи. В соответствии со стандартом его величина не должна превышать  $\pm 70$  мкм. Для воспроизведения информации с дорожки шириной  $0,6...0,8$  мкм необходимо, чтобы сфокусированный луч удерживался на ней с точностью  $\pm 0,05$  мкм. Для выполнения этого условия применяют систему автоматического отслеживания дорожки записи, которая формирует управляющий сигнал, корректирующий положение линзы в вертикальной плоскости.

Существует много способов фокусировки луча на поверхности CD и отслеживания дорожки записи. Мы рассмотрим только наиболее часто применяемые, которые характеризуются

высокой надежностью и достаточной простотой оптической системы. Впервые оба способа использовала фирма "Sony" в оптических блоках проигрывателей первых поколений. На протяжении 20 лет существенной модернизации подверглись конструкции оптических систем блоков серии KSS, а методы фокусировки и отслеживания дорожки записи остались прежними.

Описание способов фокусировки и отслеживания дорожки записи целесообразно начать с ознакомления с таким элементом оптической системы, как фотодетектор (прибор, преобразующий световую энергию в электрический сигнал).

## Фотодетектор.

Фотодетектор состоит из отдельных, изолированных друг от друга светочувствительных площадок-фотодиодов, количество которых зависит от выбранных способов фокусировки и отслеживания дорожки записи. Для трехлучевых конструкций оптических блоков, на сегодняшний день самых распространенных (производства "Sony", "JVC", "Samsung", "Matsushita", "Philips", "Pioneer"), фотодетектор выполняют в виде шести фотодиодов, объединенных в один корпус из прозрачной пластмассы.

На **рис.1** показан фотодетектор (фотодиодная матрица) типа CXA1753M, установленный в оптическом блоке KSS213. Отличительной чертой его от фотодетекторов более ранних разработок является наличие шести встроенных усилителей, преобразующих фототоки фотодиодов А, В, С, D, Е, F в напряжения. На вывод 9 подают напряжение питания усилителей  $V_{CC}$ , на вывод 8 - напряжение смещения, равное половине напряжения питания. Выходной (усиленный) сигнал снимают с выводов 1, 2, 4, 5, 6, 10. От основных фотодиодов А, В, С, D путем суммирования выделяют электрический сигнал, высокочастотная (RF) составляющая которого несет в себе кодированную информа-

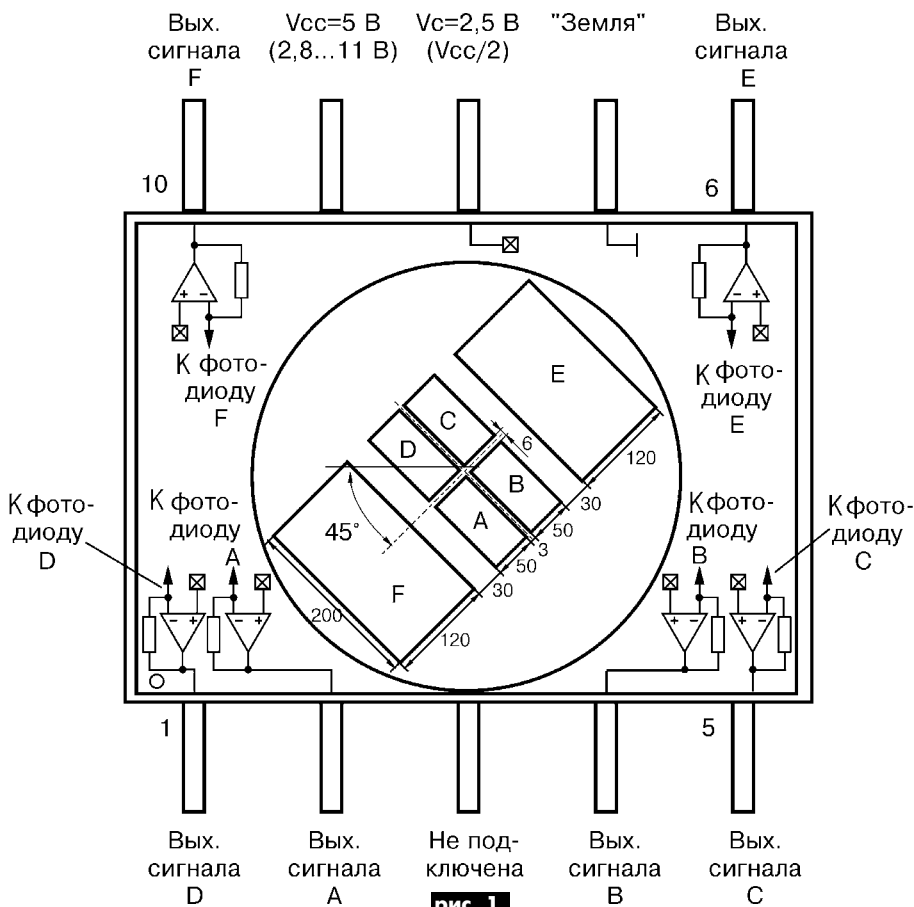


рис. 1

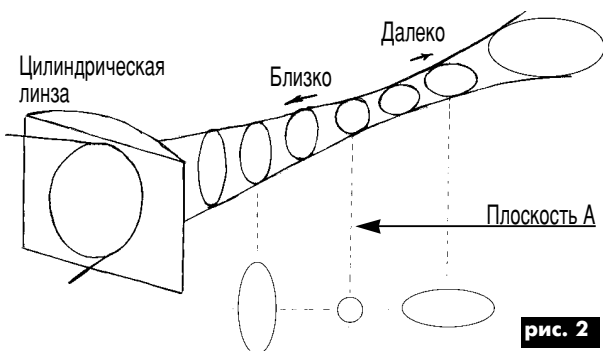


рис. 2

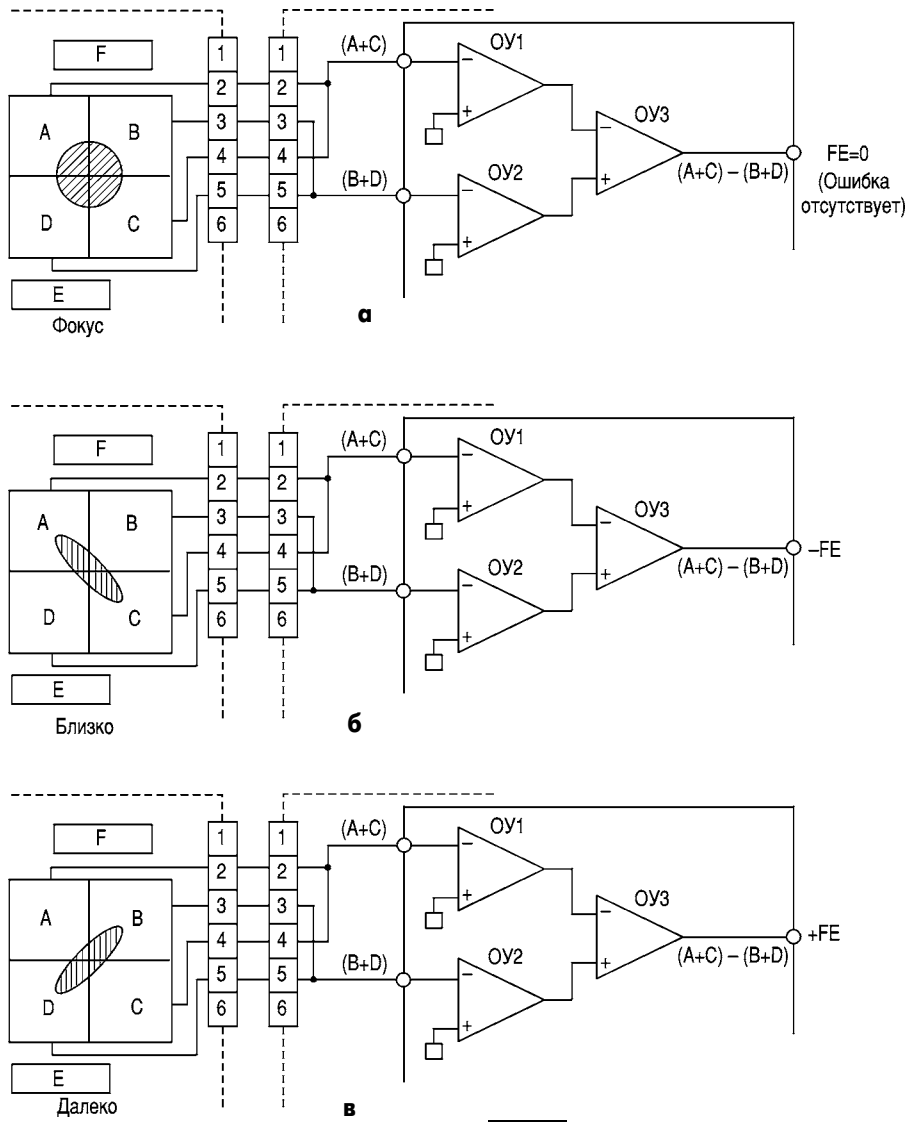


рис. 3

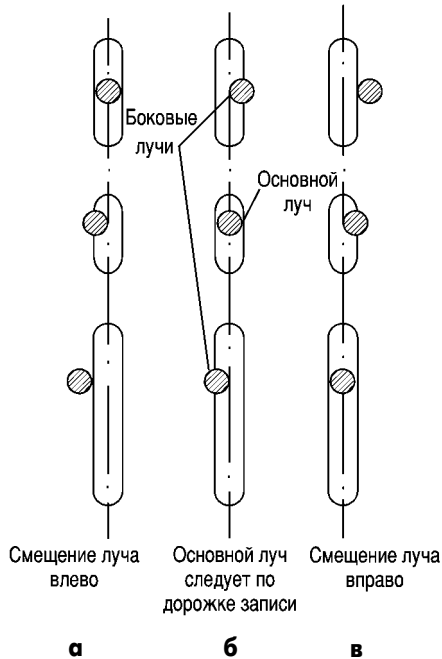


рис. 4

цию, записанную на CD. Разность сигналов  $(A+C)-(B+D)$  является базовым сигналом, из которого формируется сигнал управления исполнительным механизмом автоматической системы фокусировки. Из сигналов двух дополнительных фотодиодов E и F выделяют разностной сигнал  $E-F$ , из которого формируется сигнал управления исполнительным механизмом системы отслеживания дорожки записи.

### Фокусировка считывающего пятна.

Один из самых распространенных сегодня способов фокусировки считывающего пятна на поверхности компакт-диска - фокусировка астигматическим методом, основанным на свойстве лазерного излучения изменять форму считывающего пятна при прохождении цилиндрической линзы (рис.2).

При перемещении плоскости наблюдения вдоль оси луча в некоторой точке A световое пятно имеет форму правильной окружности. При приближении этой точки (плоскости) к цилиндрической линзе окружность будет вытягиваться в вертикальный овал, а при удалении от линзы - вытягиваться горизонтально. В плоскость наблюдения помещают четыре основных фотодиода A, B, C, D, расположенных, как показано на рис.3. Изменение освещенности фотодиодов происходит при изменении расстояния от объектива до дорожки записи.

Если пята находятся точно в фокусе, то освещенность каждой пары A-C и B-D одинакова, и разность между электрическими сигналами равна нулю (рис.3,а).

Если линза объектива находится близко к диску, то пятно на фотодетекторе примет вид овала (рис.3,б), и уровень сигнала, преобразованного парой фотодиодов A-C, повысится. Если линза находится слишком далеко от диска, овал примет вид, показанный на рис.3,в, и повысится уровень сигнала от пары B-D.

Разность между уровнями сигналов  $(A+C)$  и  $(B+D)$  является сигналом ошибки фокусировки или FE-сигналом (Focus Error). Обработку сигналов фотодетектора (суммирование, вычитание) выполняет специальная микросхема - RF-усилитель. Операционные усилители OY1 и OY2, входящие в состав микросхемы, осуществляют преобразование токов фотодиодов в напряжения. Усиленная разность напряжений двух входных сигналов снимается с выхода дифференциального усилителя, выполненного на OY3. С целью повышения степени интеграции RF-усилитель может быть объединен в один корпус с сервопроцессором. Низкочастотная составляющая сигнала ошибки FE обрабатывается сервопроцессором, который и формирует сигнал управления исполнительным механизмом системы фокусировки - фокусной катушкой (focus coil), которая перемещает линзу объектива вверх или вниз для точной фокусировки.

### Отслеживание дорожки записи.

Отслеживание дорожки записи с помощью двух вспомогательных лучей происходит следующим образом. Каждый из боковых лучей сдвинут относительно основного и один следует впе-

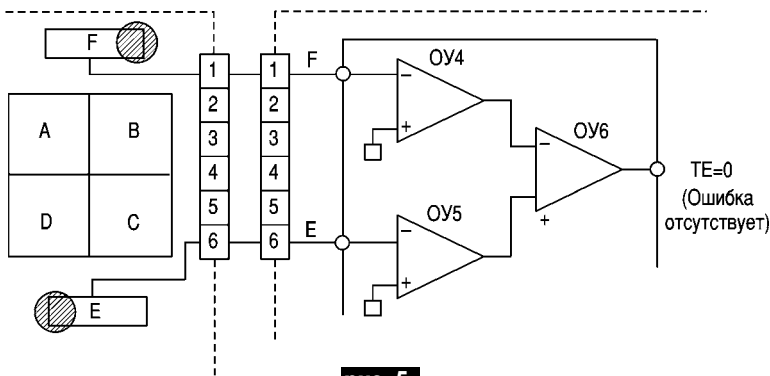


рис. 5

ди, другой - после него, как показано на рис.4. Если основной луч точно следует по дорожке (рис.4,б), то два боковых луча одинаково перекрывают дорожку, сигналы с соответствующих им фотодиодов Е и F одинаковы, и их разность равна нулю (рис.5). В случае смещения основного луча с дорожки (рис.4,а,в) происходит увеличение сигнала с одного фотодиода и уменьшение с другого. Разность сигналов (Е-F) является сигналом ошибки отслеживания дорожки записи - ТЕ-сигналом (Tracking Error). Низкочастотная составляющая сигнала ошибки ТЕ обрабатывается сервопроцессором, который формирует сигнал управления исполнительным механизмом системы отслеживания дорожки записи - тракин-катушкой (tracking-coil), перемещающей линзу объектива в нужном направлении.

В связи с тем, что в процессе воспроизведения CD радиус спиралевидной дорожки увеличивается, а диапазон захвата линзы объектива достаточно мал, сервопроцессор будет также формировать сигнал управления двигателем позиционирования оптического блока. Под воздействием этого сигнала система привода скачками перемещает оптический блок в пределах информационной зоны компакт-диска, когда создаются предпосылки выхода дорожки записи за пределы захвата линзы объектива.

#### Возможные неисправности. Методы тестирования фотодиодной матрицы.

На практике встречаются обрывы, закорачивания, потеря чувствительности фотодиодов, закорачивания фотодиодов друг с другом. Проверить по отдельности каждый фотодиод (не во всех оптических блоках) можно цифровым мультиметром в режиме проверки р-п-перехода. Прибор обычно показывает 0,7...0,8 В. Показания мультиметра при проверке фотодиодов Е-F могут несколько отличаться от показаний при проверке

фотодиодов А-D.

Закорачивания фотодиодов между собой устанавливают омметром. Чувствительность фотодиодов можно сравнить с помощью дополнительной лампы: осветив линзу объектива, подключают вольтметр по очереди к каждому фотодиоду. Показания прибора для фотодиодов А-D и отдельно для фотодиодов Е-F должны быть примерно одинаковы.

Необходимо отметить, что отсутствие или недостаточный уровень хотя бы одного из трех (RF, FE, TE) сигналов приводит к блокировке микроконтроллером всех систем проигрывателя компакт-дисков.

Фотодиодная матрица, как и лазерный диод, достаточно надежна. Упомянутые неисправности, связанные с выходом из строя фотодетектора, в практике ремонта достаточно редки. При выходе из строя фотодетектора необходимо заменить весь оптический блок.

Об остальных неисправностях, встречающихся в практике ремонтов, а также о методах их устранения (которые по существу являются модернизацией, значительно продлевающей срок службы оптических блоков серии KSS) пойдет речь по мере рассмотрения остальных элементов конструкции.

#### Литература

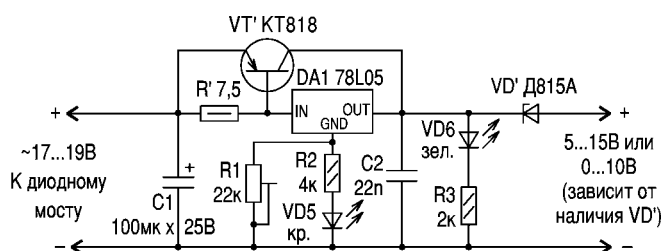
- Okada K., Kondo M., Kim K. The Three-beam Optical Pickup for CD-players. IEE Int. Conf. Consumer Electronics. Rosemont III, 8-10, June 1983. New-York., p.184, 185.
- Sony Semiconductors. Data book 1998.
- Иондзава С., Ямомото С. и др. Оптические звукозаписывающие устройства для проигрывателей на компактных звуковых дисках. - Хитати херон, 1983, т.65, с.35-38.
- Милютин С.А., Сенько И.М. и др. Слежение за дорожкой в оптических звуковых проигрывателях. - Техника средств связи. Серия ТРПА, 1986.
- Викторенков А.В., Гуревич В.С., Шпигель Л.М. Лазерный звукозаписывающий аппарат для цифровых звукопроигрывателей// Техника средств связи, серия ТРПА, 1987, вып.3, с.69-75.
- Никамин В.А. Форматы цифровой звукозаписи. - Элби, 1998.
- Никамин В.А. Цифровая звукозапись// Наука и техника, 2001.
- Авраменко Ю.Ф. Ремонт и регулировка CD-проигрывателей// Наука и техника, 1999.

## ДЕЛИМСЯ ОПЫТОМ

# Простой блок питания

Ю. Руссов, Одесская обл.

Допустим у Вас есть плата от БП "польской" антенны с установленным стабилизатором 78L05 (регулируемым) или 78L12 (нерегулируемым). Эту плату можно доработать так, как показано на рисунке,



и получить простой БП для питания устройств, требовательных к стабильности напряжения, а также различных плееров, радиоприемников и т.д. в стационарных условиях.

Транзистор типа КТ818 или любой другой мощный транзистор р-п-р, резистор R' типа ВС, можно и любой другой сопротивлением 6 Ом.

Так как минимальное напряжение БП 5 В, то, чтобы питать устройства, требующие меньшего напряжения, последовательно с нагрузкой (по "+") включают стабилитрон VD' типа Д815А. Теперь напряжение на нагрузке станет равным разности напряжений БП и стабилизации стабилитрона. Подробнее об этом см. в [4].

Выходной ток БП зависит от мощности транзистора VT', выпрямительных диодов и сетевого трансформатора.

#### Литература

- Радиоаматор. - 2001. - №1. - С.59.
- Радиоаматор. - 2001. - №5. - С.15, 40.
- Радиоаматор. - 2001. - №9. - С.55.
- Радио. - 1992. - №4. - С.50-52.



## Уважаемые читатели!

2002 г. был объявлен годом темы высококачественного звуковоспроизведения в разделе "Аудио-Видео" (см. РА 2/2002, с.16). Год прошел, можно и следовало бы подвести итоги.

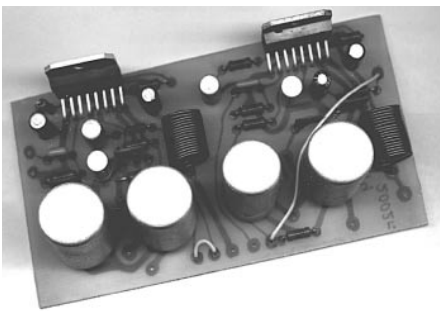
Думаем, что настоящим "хитом" среди опубликованных на эту тему материалов стал отчет об испытаниях трех радиолобительских и двух промышленных УЗЧ (РА 7/2002) - единственная, пожалуй, подобная публикация в радиолобительских журналах СНГ, по крайней мере, за последние 10 лет. Судя по нашей почте, она, как и ожидалось, вызвала большой интерес и получила высокую оценку читателей. Тема эта не закрыта, и в 2003 г. мы опубликуем материалы по модернизации СЛУМЗЧ В. Матюшкина и расскажем о полученных результатах.

Среди материалов, посвященных высококачественному звуковоспроизведению, нужно отметить описания конструкций АС Б. Синецкого (РА 1/2002) и П. Борща (РА 2/2002), сабвуфер для автомобиля В. Сосновского (РА 5/2002), пассивный тонкомпенсированный регулятор громкости и баланса А. Жукова (РА 10/2002), статьи В. Матюшкина "И вновь о сопротивлении проводов и не только..." (РА 2, 3/2002) и А. Петрова "Схемотехника УМЗЧ высокой верности" (РА 10/2002), предложенные П. Борщом и И. Царенко оригинальная методика измерений АЧХ ФИ в домашних условиях и варианты применения головки громкоговорителей 10ГДШ-1 и ее модификаций (РА 9/2002). Список этот можно было бы продолжить.

Подводя итог, можно сказать, что тема высококачественного звуковоспроизведения поддерживалась в журнале постоянно и на должном уровне. И в наступившем году мы продолжим эту традицию с учетом Ваших предложений и пожеланий, поступивших в редакцию. Разве не с конструкции радиоприемника или простенького УЗЧ начинается каждый парнишка, приходящий в мир радиоэлектроники?!

Редактор отдела "Аудио-Видео"  
Николай Михеев

## ЖИВОЙ ЗВУК



# Усилитель мощности на микросхеме TDA7294 и возможности его применения

И.А. Коротков, Киевская обл.

**Зарубежные фирмы уже давно выпускают высококачественные усилители, оконечный усилитель мощности которых выполнен на одной микросхеме. Причем, если еще несколько лет тому назад выходная мощность интегральных усилителей ограничивалась уровнем 20...30 Вт, то в настоящее время существуют микросхемы, способные отдавать в нагрузку мощность, превышающую 100 Вт. Однако далеко не каждый радиолюбитель имеет информацию об этих микросхемах, хотя приобрести их не проблема.**

Существует серия микросхем типа STK (STK0050, STK0080 и др.), но они очень дороги и по этой причине часто не доступны многим радиолюбителям. Однако существует микросхема (TDA7294), которая по всем параметрам, в том числе и по цене, устроит многих. Она представляет собой полный усилитель мощности Hi-Fi с выходным каскадом, выполненным на полевых транзисторах. Эксперименты, проведенные с TDA7294, показали, что ее можно использовать не только для создания усилителей, но и для ремонта промышленных аппаратов отечественного и зарубежного производства путем замены всей платы око-

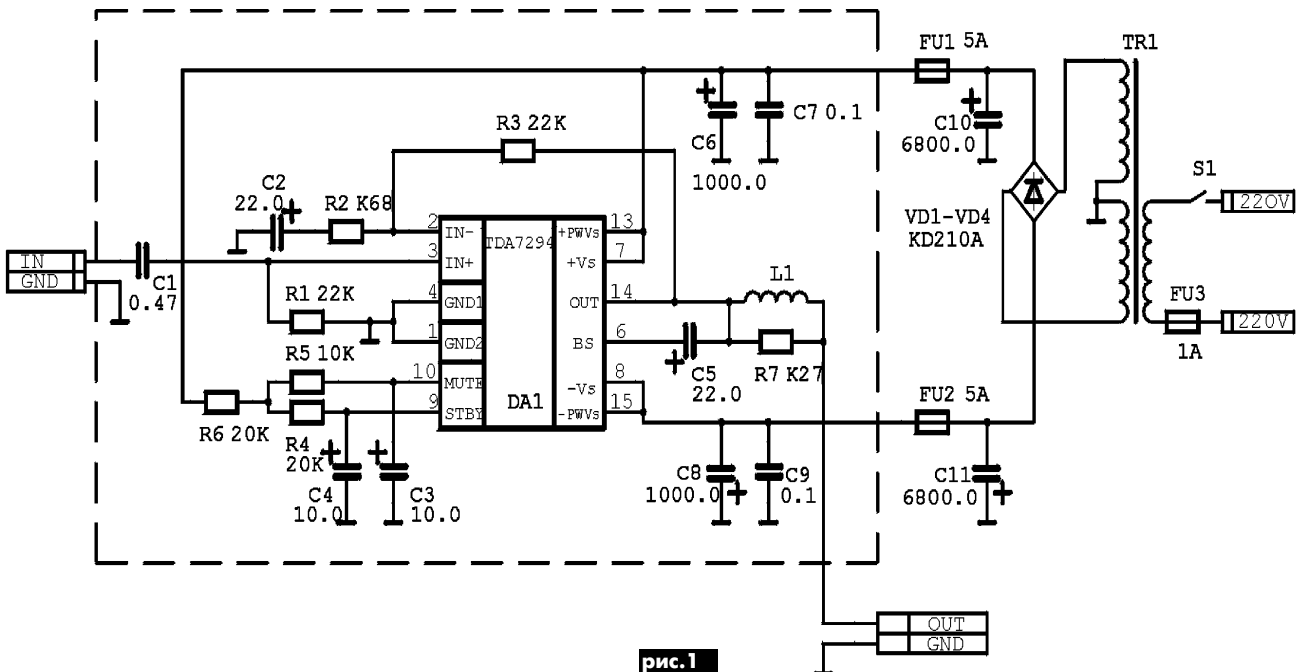


рис. 1



нечного каскада. Действительно, часто починить старый усилитель сложнее, чем спаять маленькую плату, которая заведомо будет работать, к тому же стоимость TDA7294 сопоставима всего с двумя-тремя мощными транзисторами. Качество же усилителя мощности на этой микросхеме не уступает большинству бытовых усилителей, а часто и превосходит их.

Микросхема имеет встроенную защиту от короткого замыкания на выходе, а также очень интересную защиту от перегрева. Благодаря этим защитам, TDA7294 очень надежна в при-

менении. Автор специально включал ее в режиме, позволяющем проверить срабатывание защиты по перегреву. При нагреве микросхемы свыше определенного значения (около 120...130°C) напряжение на нагрузке уменьшается. Таким образом компенсируется мощность, рассеиваемая выходными транзисторами микросхемы, и нагрев корпуса приостанавливается. В выходном сигнале при этом появляются незначительные искажения, но микросхема не выходит из строя.

Принципиальная схема усилителя мощности показана на

**рис.1**, печатная плата стереоварианта – на **рис.2**.

Резисторы R2, R3 устанавливают коэффициент усиления усилителя мощности. Дроссель L1 улучшает согласование выхода микросхемы с нагрузкой и помогает устранить возникающее в некоторых случаях возбуждение. Можно подключать нагрузку и без дросселя (фирма-производитель его не предлагает), но как показал опыт, применение катушки L1 значительно повышает стойкость микросхемы к возбуждению. На плате рядом с микросхемой следует разместить конденсаторы C6 и C7, C8 и C9, несмотря на наличие конденсаторов C10 и C11 в фильтре питания. Все конденсаторы должны быть на напряжение не менее 35 В.

Собранный по этой схеме усилитель мощности не требует никакой настройки и доступен даже начинающим радиолюбителям.

У микросхемы имеются входы ST-BY (дежурный режим) и MUTE (режим приглушения), которые позволяют исключить щелчки при включении-выключении, а также отключать усилитель. Для управления микросхемой по этим входам на них можно подавать сигнал с логических микросхем или других управляющих элементов. Уровни требуемых сигналов управления приведены на **рис.3**. На **рис.4** показана схема, позволяющая управлять обеими функциями при помощи одного сигнала. В схеме рис.1 применено наиболее простое включение этих режимов, тем не менее, никаких щелчков при включении и выключении усилителя не наблюдалось.

На рис.1 все элементы, устанавливаемые на плату, обведены пунктирной линией. На печатной плате сделаны отверстия под возможное внешнее управление функциями ST-BY и MUTE. При включении, показанном на рис.1, эти входы закорочены перемычками а и б (рис.2). Если же

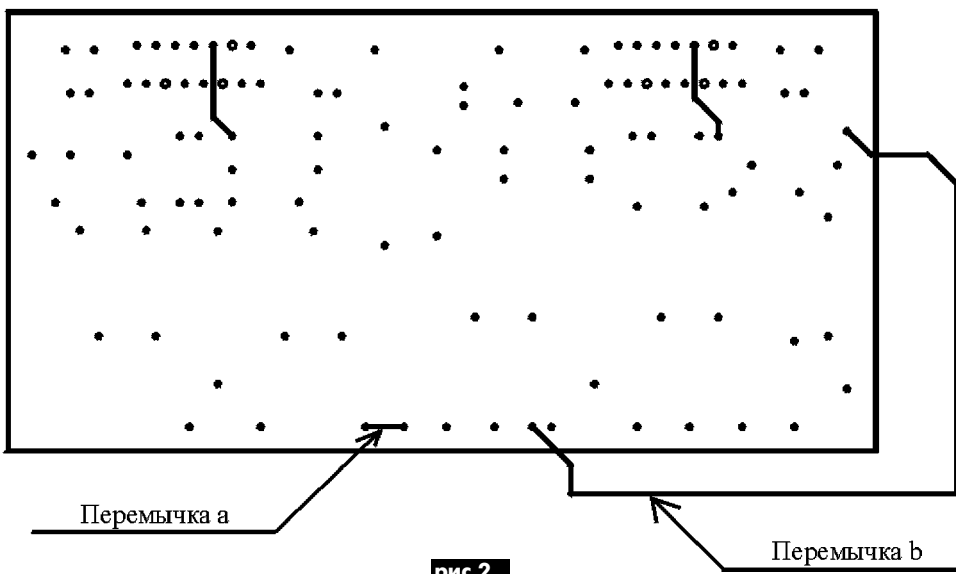
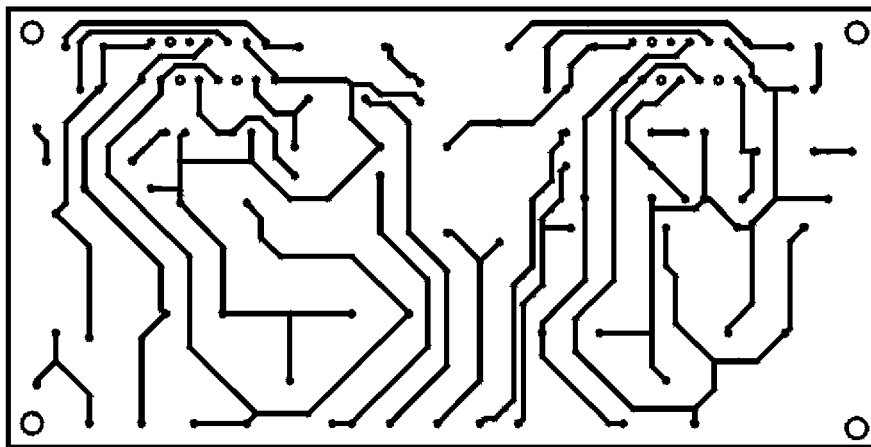
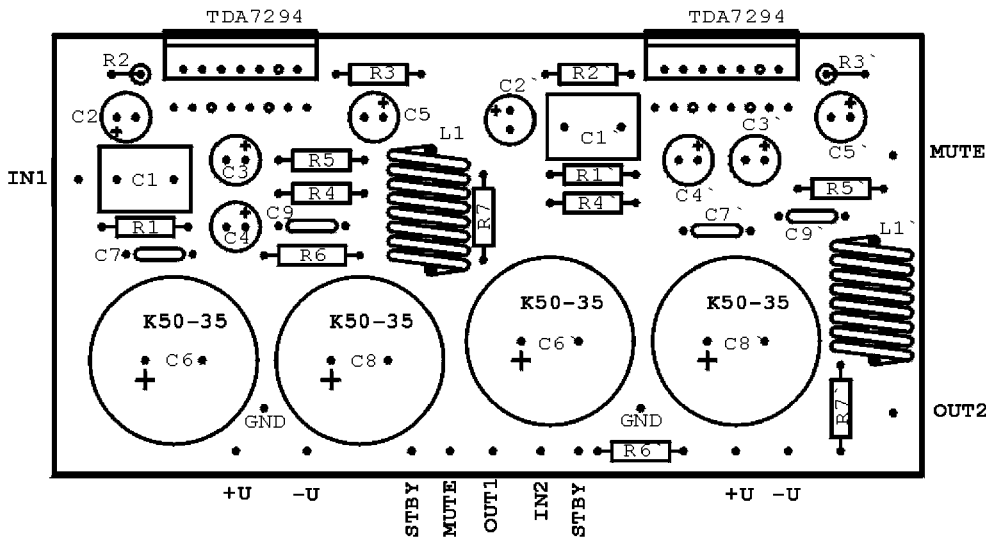


рис.2

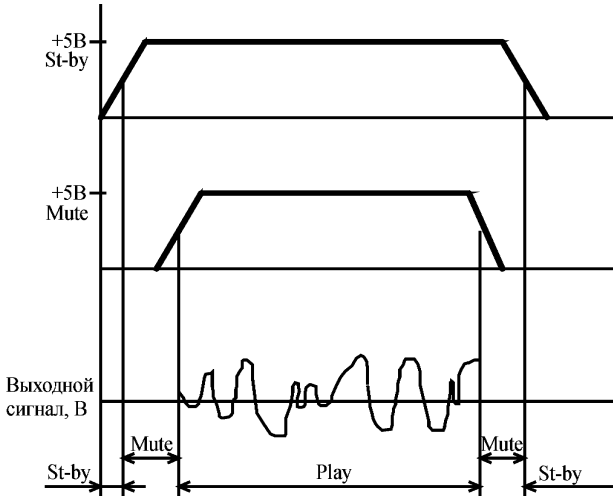


рис.3

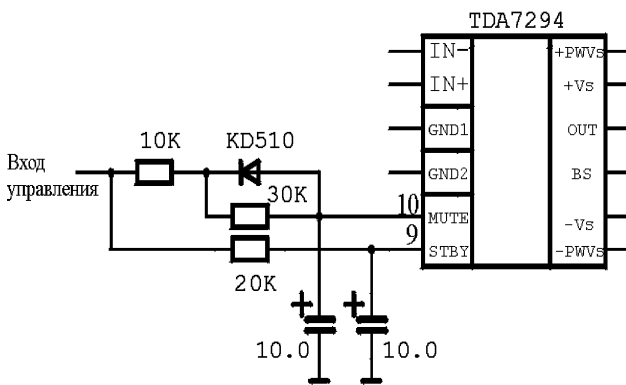


рис.4

предполагается внешнее управление, то переключки не ставят и не впаивают резистор R6.

Основные параметры усилителя приведены в **таблице**.

**Детали.** Резисторы типа МЛТ-0,25, электролитические конденсаторы типа К50-35 или подобные, остальные конденсаторы любые. В качестве C10, C11 в фильтре питания автор использовал импортные конденсаторы типа CE1074 6800 мкФх63 В. Дроссель L1 наматывают проводом Ø0,8...1,2 мм в один слой - 15-20 витков. Диаметр катушки 8 мм. Трансформатор, используемый с усилителем, необходимо выбирать из расчета обеспечения усилителя необходимым током (не менее 5...6 А) и с переменным напряжением на вторичных обмотках на холостом ходу около 23...26 В. Диоды диодного моста располагают на небольших теплоотводах. Их можно заменить КД213А или другими с допустимым током 10 А. В стереоварианте усилителя необходимо соответственно учесть параметры трансформатора и других элементов источника питания. В стабилизированном источнике питания нет необходимости.

Микросхемы TDA7294, отдающие в нагрузку большую мощность, сильно греются. Поэтому их нужно разместить на радиаторах, причем желательно не использовать слюдяных или каких-либо других прокладок, так как это ухудшает отвод тепла от микросхем. Желательно крепить их непосредственно к ра-

Номинальная выходная мощность (нагрузка 4 Ом), Вт	80
Максимальная выходная мощность (нагрузка 4 Ом), Вт	100
Номинальное напряжение питания, В	±30
Диапазон воспроизводимых частот, Гц	20...20000
Коэффициент гармоник, % :	
при выходной мощности 5 Вт (20 Гц...20 кГц)	0,005
при выходной мощности 50 Вт (20 Гц...20 кГц)	0,01
Ток покоя, мА	30
Уровень шума, дБ	-90
Номинальное входное напряжение, мВ	800

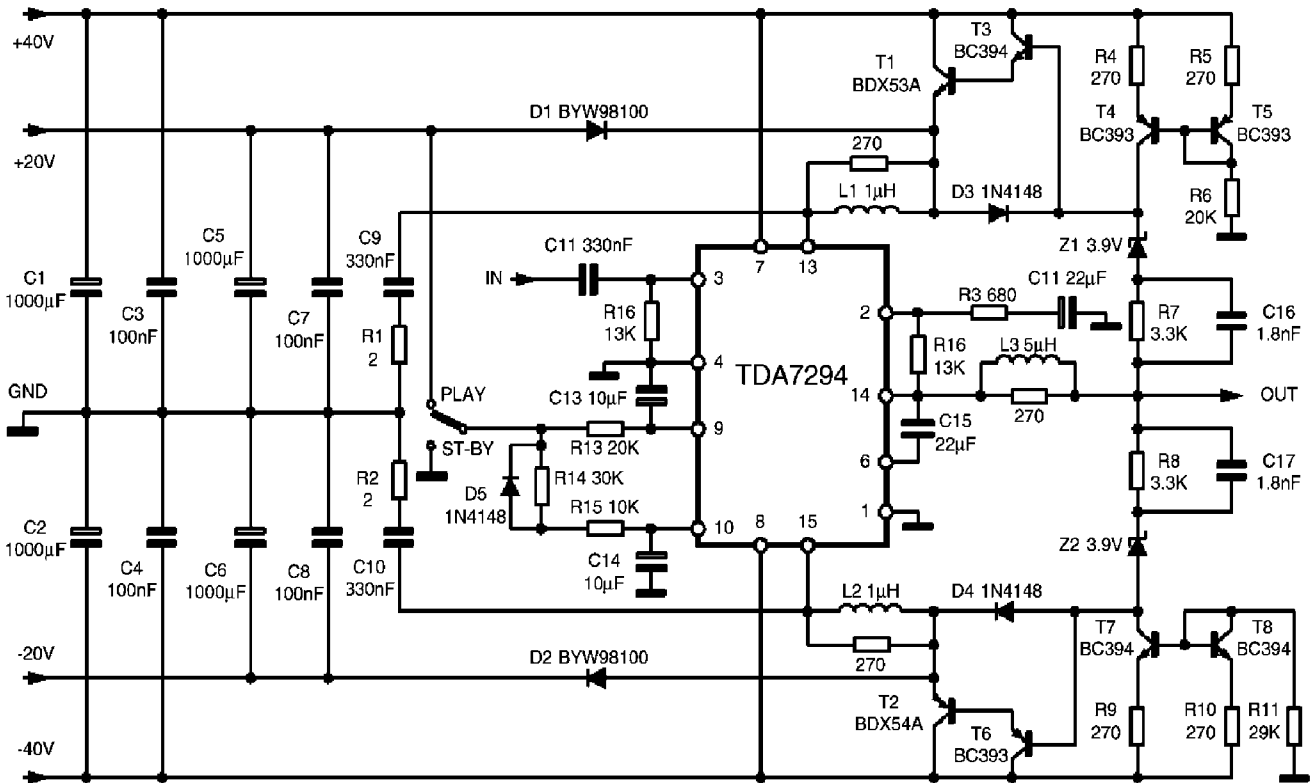


рис.5





диатору с использованием теплопроводящей пасты. При этом следует учитывать, что подложки микросхем соединены с отрицательным выводом источника питания, поэтому необходимо изолировать от общего провода сам радиатор. Можно использовать общий теплоотвод для обеих микросхем. Автор использовал игольчатый радиатор размерами 300x100 мм, расположенный на задней стенке корпуса усилителя. При длительной работе усилителя на максимальной мощности он нагревается до 65...70°C, что вполне приемлемо. Если использовать усилитель с меньшей выходной мощностью, то можно уменьшить размеры радиатора.

Автор встраивал такой усилитель в усилитель фирмы "Rapasonic" вместо сгоревших в нем микросхем STK0029N, используя "родной" радиатор и снимая выходную мощность около 30 Вт на канал. Заметного на слух изменения в качестве звука не наблюдалось.

Усилитель сохраняет работоспособность при напряжении питания от ±10 В до ±40 В. Поэтому, если нет потребности в большой мощности, можно питать усилитель пониженным напряжением питания. Микросхема будет меньше нагреваться, и потребуется радиатор меньшей площади. Широкий диапазон питающих напряжений также расширяет возможности применения усилителя.

На микросхеме TDA7294 можно собрать более мощный усилитель с максимальной выходной мощностью до 180 Вт, но для этого нужно позаботиться о более эффективном отводе тепла (желательно при помощи вентилятора) и включить микросхему по схеме, показанной на рис.5, в которой использовано более эффективное включение микросхемы при работе на реальный звуковой сигнал. При мощности менее 20 Вт выходной каскад питается пониженным напряжением питания, и микросхема быстрее остывает. При большей мощности открываются транзисторы T1, T2, и выходной каскад питается повышенным напряжением, необходимым для получения более высокой амплитуды выходного сигнала. Транзисторы T1 и T2 нужно также поместить на радиаторы. При таком включении коэффициент гармоник при выходной мощности 120 Вт достигает 1%, а при мощности 180 Вт может доходить до 10%.

Анализ публикаций в наиболее популярных журналах "Радио", "Радиоаматор" и других показывает, что основные усилия радиолюбителей направлены на улучшение потребительских качеств существующей аппаратуры. В частности, это оснащение ее системами дистанционного управления (ДУ), а также селекторами выбора программ или фиксированных настроек (СВП).

## СОВЕРШЕНСТВУЕМ АППАРАТ

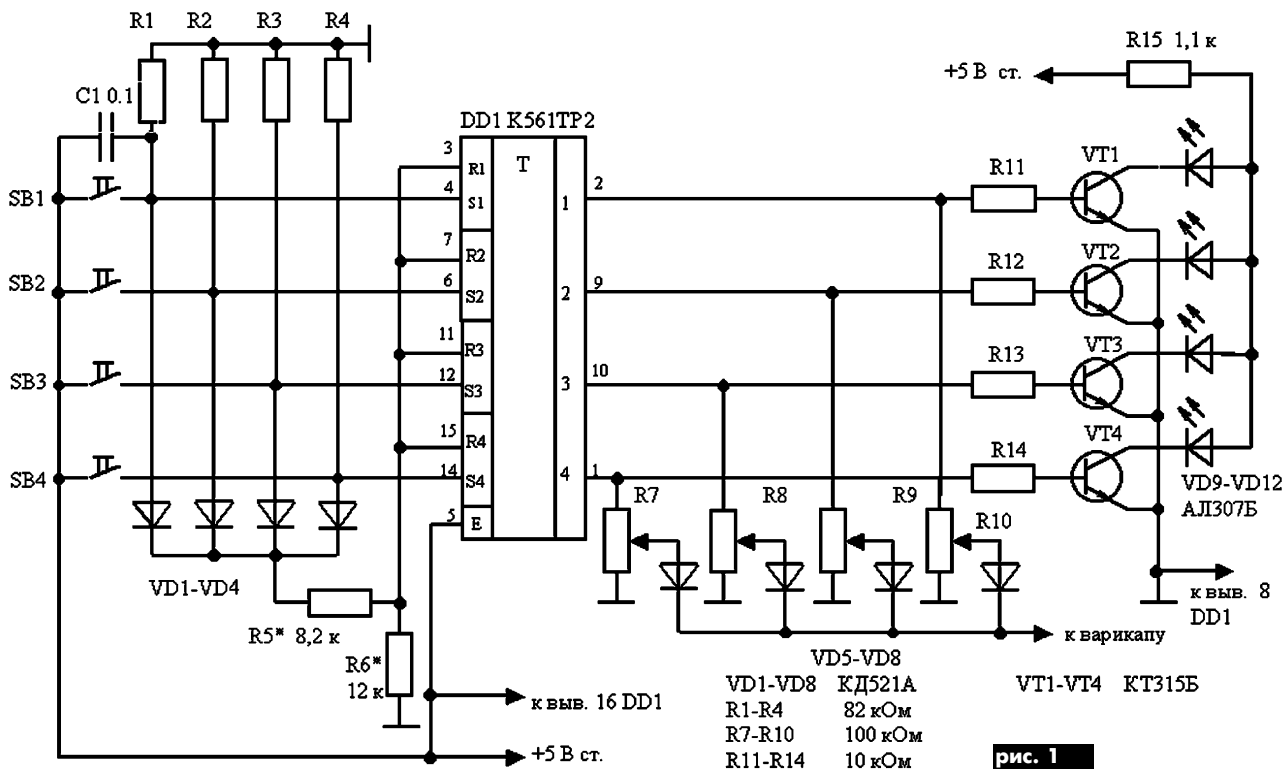
# СЕЛЕКТОР ВЫБОРА ПРОГРАММ, СОВМЕСТИМЫЙ С ДУ

А.С. Кальянц, А.А. Кальянц, г. Донецк

**Предлагаемая конструкция СВП выгодно отличается от ранее опубликованных и обладает широкими возможностями. Основой его является недорогая и недефицитная цифровая МС типа K561TP2. Устройство, при простоте схемы и возможности повторения ее даже начинающими радиолюбителями, обладает такими преимуществами, как компактность, отсутствие дребезга контактов, совместимость с системами ДУ, малое энергопотребление и возможность построения селекторов с любым количеством программ. Описанная схема СВП вот уже несколько лет применяется авторами в переносных и автомобильных приемниках, а также в стационарном тюнере, оснащенный самодельной системой ДУ, подобной применяемым в телевизорах 4УСЦТ. Область применения устройства не ограничивается СВП, так как по сути - это электронный переключатель многофункционального назначения.**

Опубликованные в [1-5] схемы СВП можно условно разделить на две группы. К первой относятся СВП, у которых выбор программ осуществляется последовательным многократным нажатием одной или двух (при реверсивном варианте) кнопок [1-3]. Вторая группа разработок предусматривает применение отдельных кнопок для каждой из заранее установленных программ [4, 5]. Очевидно, что последний

можно условно разделить на две группы. К первой относятся СВП, у которых выбор программ осуществляется последовательным многократным нажатием одной или двух (при реверсивном варианте) кнопок [1-3]. Вторая группа разработок предусматривает применение отдельных кнопок для каждой из заранее установленных программ [4, 5]. Очевидно, что последний





вариант является более предпочтительным, так как требует меньше времени и усилий для перехода с одной фиксированной настройки на другую.

Недостатками многих предлагаемых к повторению разработок являются, на наш взгляд, громоздкость принципиальных схем, несколько типов микросхем в одной конструкции, а также невозможность совмещения СВП с известными системами дистанционного управления тюнерами и телевизорами. От указанных недостатков свободна схема предлагаемого СВП.

Принципиальная схема базового варианта устройства показана на **рис. 1**. Как известно, микросхема K561TP2 содержит четыре RS-триггера. При подаче уровня "1" на входы R триггеры устанавливаются в нулевое состояние, а на входы S (или одновременно на R и S) - в единичное. При нажатии любой кнопки (например, SB4) напряжение питания через развязывающий диод VD4 и делитель R5, R6 подается одновременно на все входы R, отключая установленную до этого момента программу. Одновременно через ту же кнопку уровень "1" поступает на вывод 14 МС. Таким образом, какой-то промежуток времени, пока кнопка SB4 удерживается в нажатом состоянии, на входах R, S четвертого триггера будет уровень "1", и он перейдет в единичное состояние. Так как на входе E постоянно присутствует уровень "1", то на выходе 4 МС появится стабилизированное напряжение +5 В, используемое для установки напряжения на варикапе настройки с помощью R7, а также для индикации номера программы через каскод на транзисторе VT4. Кнопки SV1-SV4 можно нажимать как кратковременно (доли секунды), так и на продолжительное время. Даже одновременное замыкание двух и более кнопок вызовет срабатывание лишь одной ячейки, кнопка которой будет отпущена последней. Каких-либо дополнительных мер по устранению эффекта дребезга контактов в схеме не требуется.

В зависимости от потребности СВП может иметь любое, даже не кратное четырем, количество программ. Так, при десяти программах потребуются три микросхемы. Оставшиеся два свободных триггера одной из МС можно использовать самосто-

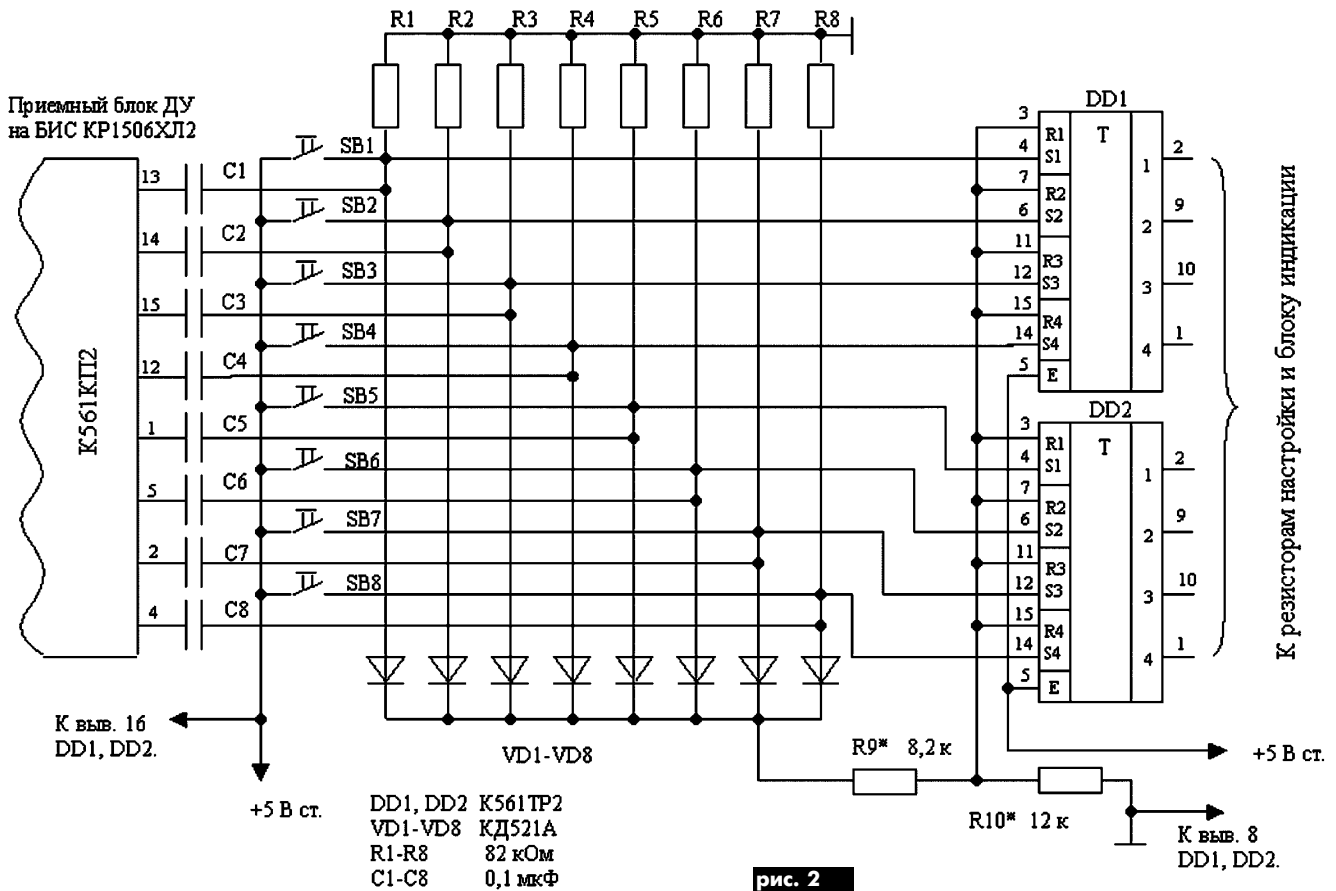
ятельно (например, для переключения диапазонов в тюнере, выбора режимов моно/стерео, включения схемы сканирования и для многого другого). При этом построение входов свободных ячеек аналогично базовому варианту, а на выходах устанавливаются электронные ключи или электронные реле. Авторами исследована возможность работы блока СВП на 16 программ.

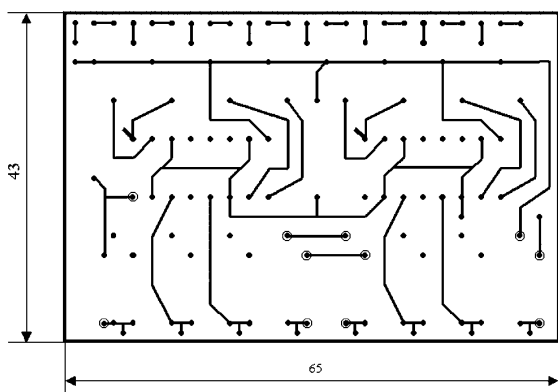
Практика эксплуатации селектора показала, что при переходе с одной фиксированной настройки на другую не требуется отключать АПЧ радиоприемника. Возможно это связано со скоростью переключения триггеров МС. Вместе с тем, если появится необходимость отключения АПЧ, то это легко реализовать добавлением электронного ключа, управляемого напряжением, снимаемым с общей точки подсоединения диодов VD5-VD8.

Предлагаемая схема СВП совместима с системами дистанционного управления и уже свыше трех лет в таком варианте используется в ЧМ-тюнере с восемью фиксированными настройками. В принципе, переключение программ в тюнере с ПДУ можно осуществлять в любой последовательности и без блока СВП. При этом восемь подстроечных резисторов управления варикапом можно подсоединить непосредственно к выходам коммутатора K561КП2. Однако при переходе на ручное управление выбор программ можно осуществлять только последовательно одной кнопкой, а это неудобно. Дополнив схему блоком СВП, как показано на **рис. 2**, удалось избавиться от указанного недостатка. В этом случае переключение программ, как с ПДУ, так и нажатием соответствующей кнопки на лицевой панели тюнера, можно осуществлять в любой последовательности.

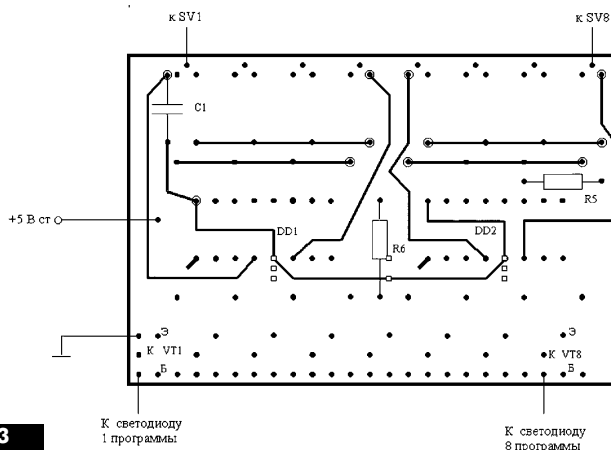
Селектор питается стабилизированным напряжением +5 В, используемым для управления варикапами. Благодаря применению микросхемы КМОП, потребляемый ток (порядка 3 мА) определяется в основном током светодиода, индицирующего номер фиксированной настройки, и не зависит от общего количества программ, так как в любой момент времени работает только одна триггерная ячейка.

Исходя из логики работы микросхемы, необходимым условием четкого срабатывания ячеек селектора является выполнение





**рис. 3**



требования: после включения любой программы, например 2-й, в момент отпускания кнопки SB2, напряжение на входах R всех триггеров должно убывать быстрее, чем на входе S2. Достигается это уменьшением почти вдвое напряжения на входах R по сравнению с напряжением, подаваемым на соответствующий вход S, за счет делителя, образованного прямым сопротивлением одного из диодов VD1-VD4 и резисторами R5, R6. С учетом этого, рекомендуется на период налаживания устройства взамен резисторов R5, R6 подсоединить переменный резистор сопротивлением 22 кОм средним выводом к общей шине R входов МС. Перемещая движок резистора примерно от среднего положения в обе стороны, добиваются четкого переключения программ при поочередном нажатии всех кнопок. При этом напряжение на R входах с учетом разброса параметров МС обычно составляет 2,6...2,8 В. Следует иметь в виду, что делитель R5, R6 является общим при любом количестве используемых МС (см. делитель R9, R10 на рис.2).

Устройство СВП смонтировано на плате из двухстороннего фольгированного стеклотекстолита. Размеры платы зависят от количества программ. В качестве примера на рис.3 показан чертеж печатной платы для установки двух МС - наиболее распространенный 8-программный вариант. Окружностями обозначены отверстия, через которые соединяются печатные проводники обеих сторон платы. Размеры платы предусматривают установку резисторов МЛТ-0,125 и любых малогабаритных кремниевых диодов VD1-VD8 (КД521, КД522, КД102 и др.). Во

всех случаях собранную и отлаженную плату устанавливают вблизи блока подстроечных резисторов и кнопок выбора программ.

Благодаря простоте, компактности, четкости работы и малому энергопотреблению, область применения схемы - от простых "карманных" радиоприемников до высококачественных стационарных тюнеров, усилителей, магнитофонов и других устройств. В сочетании с системой ДУ легко реализуется схема дистанционного управления игрушками, демонстрационными стендами и др. Если выходы МС подсоединить к управляющим входам электронных ключей (например, К561КТ3), то схема становится многофункциональной.

*Литература*

1. Гузенков Г.И. СВП на 16 программ// Радиоаматор. - 2001. - N5. - С.14, 15.
2. Горбушин Н. Селектор выбора программ для радиовещательного приемника "Ишим-003"// Радио. - 1998. - N8. - С.24, 25.
3. Ваганов А. Блок выбора программ для радиоприемника// Радио. - 1998. - N3. - С. 22, 23.
4. Чирков А. Блок СВП для УКВ-тюнера// Радио. - 1996. - N6. - С.22, 23.
5. Бирюков С. Переключатели для блока СВП УКВ-тюнера// Радио. - 1996. - N7. - С.22.

**ОБСУЖДАЕМ ТЕМУ**

**В РА 7/2002 был опубликован отчет об испытании трех радиолюбительских конструкций УЗЧ (В. Матюшкина, К. Вайсбейна, Н. Сухова) и двух промышленных (ОДИССЕЙ 021-У100, ROTEL RA-1060). Первый отзыв на эту публикацию пришел в редакцию от Ю.Б. Коваленко из г. Харькова вскоре после выхода из печати РА 7/2002 и был опубликован в РА 9/2002 (с.4, 5). Предлагаем Вашему вниманию еще несколько мнений заинтересованных читателей.**

Ваш журнал стал достойной альтернативой другим радиолюбительским изданиям (пусть не обижаются "Радио" и "Радиолюбитель"). Отрадно, что Вы открыто и честно относитесь к своим читателям и авторам, публикуя их высказывания на страницах журнала. К сожалению, эта критика подчас необъективна и некорректна.

Усилитель В. Матюшкина по техническим характеристикам превосходит как усилитель Н. Сухова, так и С. Агеева, поэтому очевидна нелепость разговоров об упрощении его схемотехники. Усилители Сухова и Агеева имеют свои достоинства и недостатки, но Вы не найдете критики этих конструкций в журнале, где печатались их описания. Весьма вероятно, что некоторые решили воспользоваться демократическими принципами в работе редакции РА, поэтому критических замечаний в адрес усилителя Матюшкина явное изобилие.

В. Матюшкин разработал сверхоригинальную схему УМЗЧ. Советы по упрощению схемотехники усилителя абсурдны и вызывают

ют чувство сожаления к их авторам. Сокращение числа каскадов усилителя означает исключение одного из компенсаторов искажений (МПСОС), что лишь ухудшит параметры аппарата! Тогда о каком упрощении схемотехники усилителя может идти речь? Если Олегу К. и Сергею С. можно и хочется посочувствовать, то Н. Шкапу, считающего усилитель незавершенной конструкцией, просто сложно понять (см. РА 7/2002, с.2). О какой минимизации он рассуждает? Нельзя эмоциональным умозаключениям выделять столько места на страницах нашего журнала! Поэтому все, что касается критики, должно проходить своеобразный "контроль".

Считаю, что УМ В. Матюшкина несколько "уступил" ROTEL RA-1060 только потому, что автор конструкции пренебрег влиянием проводов - очень важной сегодня стороной рассматриваемой проблемы.

**М.С. Макаров, г. Киев**

\*\*\*

Недавно я повторил усилитель В. Матюшкина и остался доволен достигнутым результатом. Особое внимание следует уделять качеству радиокомпонентов, соединительных проводов и очень аккуратно относиться к монтажу и наладке.

Что будет с журналом, если все потерпевшие при повторении конструкции неудачу радиолюбители вдруг возьмутся за перо, и не превратится ли РА в трибуну для жалоб? Впрочем, некоторые критические замечания заслуживают более детального изучения. Самый объективным, на мой взгляд, является мнение Сергея М.



из г. Стрый Львовской обл. Видно, что он человек творческий. Сначала экспериментирует, сравнивает, а потом уже делает выводы. Олег К. и Сергей С. из г. Киева были разочарованы работой усилителя Матюшкина - следует искать причины неудачи. А вот высказывание Н. Шапы из г. Киева мне совсем не импонирует - какие-то философские размышления о гениальности конструкции. Критические замечания в первую очередь должны иметь доказательную базу, а не одни только эмоции. Видно, что конструкцию он не повторял. О какой минимизации идет речь, и каким видится критику "завершение" схемы усилителя? Советы по упрощению схемотехники усилителя абсурдны, потому что возрастут его искажения.

Усилитель В. Матюшкина "переигрывает" все попадавшиеся мне модели усилителей в ценовой категории до \$600 включительно.

**В. Мицкевич**, г. Барановичи, Беларусь

\*\*\*

По моему мнению, проведя тест усилителей, Вы подвели черту и продемонстрировали кто есть кто в сегодняшнем радиоконструировании, и работа эта заслуживает наивысших оценок. Думаю, что всем, кто повторил какую-либо конструкцию, опубликованную в журналах издательства, следует сообщать о результатах и полученных технических характеристиках. Это даст возможность определить лучших конструкторов и лучшую конструкцию года.

**Р.А. Максименко**, Винницкая обл.

Признаться, мы были даже несколько озадачены, получив критику (в хорошем смысле этого слова) в свой адрес по поводу "демократических принципов" в нашей работе с читателями и авторами. Легче всего чего-то "не пущать", но разве это честно и справедливо? А как же древнее: "Платон мне друг, но истина дороже!"?

Между тем весь "принцип" сводится к простой вещи: каждое мнение, если оно не является прямым оскорблением, следует уважать, и оно имеет право на то, чтобы быть опубликованным. Меньше всего мы склонны вводить цензуру на высказывания в наш адрес и в адрес наших авторов. Иначе о каком свободном обмене мнениями может идти речь и как можно объективно оценить ту или иную работу автора, ее сильные и слабые стороны? Или мы не правы, уважаемый читатель?

А вот мнение о том, чтобы читатели, повторившие какую-либо из опубликованных конструкций, сообщали о полученных результатах, поддерживаем безоговорочно, ждем таких материалов и будем их публиковать.

### О плагиате и "бульварщине"

**Автор письма обращается к теме, которой мы уделяем много внимания и которая стала общей проблемой - плагиату. Он также высказывает свое отношение к статье Н. Сухова "УМЗЧ ВВ на современной элементной базе. Часто задаваемые вопросы и почему" (РХ 5/2002, с.26-35), появившейся в журнале "Радиохобби" после публикации в РА вышеупомянутого отчета по испытаниям усилителей.**

"Радиоаматор" самокритично печатает письма читателей, которые, случается, обвиняют журнал в низком уровне публикаций и в появлении на его страницах плагиата. Редакция не отгораживается от критики и, не в пример другим изданиям, выносит такие темы на открытое обсуждение. На фоне отсутствия самокритики у других журналов серьезному читателю видно, что только редакция РА на равных общается со своими читателями, ибо другие издания даже не имеют страницы, посвященной письмам в редакцию.

РА, как и другие издания, не свободен от плагиата - это общая проблема. Объективная причина ее в том, что сейчас существует множество изданий одинакового профиля. Где найти авторов и материалы высокого уровня, чтобы заполнить все журналы, не повторяясь?! Тем более сейчас, при всеобщем упадке. Вот и появляются статьи, заимствованные у других недобросовестными авторами или опубликованные для заполнения пустого места.

Чтобы не быть голословным, приведу пример. Некоторые читатели до небес превозносят "Радиохобби" и, в тоже время, бес-

пощадно критикуют "Радиоаматор". Давайте возьмем комплект "Хобби" и посмотрим хотя бы раздел "Аудио Hi-Fi", близкий как пишущему эти строки, так и "Батьке" этого издания. Что же видим? Рябит в глазах от бесконечной череды многочисленных схем самых разнообразных усилителей ЗЧ. От примитивных ламповых, с позволения сказать конструкций, пахнущих нафталином, до каких-то устрашающих лампово-поле-биполярных мутантов. Подавляющее большинство этих "тянитолкеев" от радиотехники уходят в забвение мгновенно. Все это часто сопровождается голословными размышлениями о достоинствах той или иной схемы, не подкрепленными сколь-нибудь серьезными доводами. В этом смысле политика РА в этой области по принципу "лучше меньше, да лучше" выглядит и честнее, и основательнее.

Теперь о плагиате. Недавно в "Хобби" за 2002 г. (N4, N5) была опубликована статья Д. Бухтяка "Полный двухблочный УМЗЧ с естественным звучанием". Обнаруживаем, что принцип регулирования тембра заимствован из работы автора РА В. Матюшкина "Физиологическое регулирование тембра" трехлетней давности (РА 10, 11/1999). Даже номиналы элементов цепочек пассивного фильтра те же. Добавлены только три промежуточных звена того же типа, как это, впрочем, советует первоисточник. Вот такая "новизна". По сути, идентичны первоисточнику и графики АЧХ пассивного фильтра, и некоторые высказывания "продолжателя" о поразительном эффекте присутствия, обеспечиваемым данным регулятором, о том, что темброблок должен действовать в соответствии с физиологическими особенностями слуха, что АЧХ на НЧ, в отличие от множества других регуляторов тембра, имеет вогнутую форму.

"Последователь" туманно замечает: "Идея... и некоторые цепи были взяты из изученной литературы". "Наверное, из той, что указана в конце статьи?" - подумает читатель и ошибется, потому что в конце статьи только Н. Сухов и Ю. Солнцев, а В. Матюшкин как бы не причем! Конечно, радуется, что идеи, впервые увидевшие свет в РА, "живут и побеждают". Радует и то, что воплотивший их в своей конструкции, наслаждается теперь настоящим живым звуком и поделился опытом повторения с читателями другого журнала, но не мешало бы при этом отдать должное предшественнику, автору идеи.

Впрочем, возможно это не упущение автора статьи (какой ему резон утаивать первоисточник, ведь это все равно заметит внимательный читатель), а "работа" редактора, который просто решил не печатать в списке литературы ссылку на конкурирующее издание. Пусть читатели сами сравнят обе работы и рассудят, нуждается ли более поздняя в ссылке на предшественника. Тем более, что сам Д. Бухтяк замечает, что именно пассивный фильтр является "изюминкой и главным достоинством всей схемы". Дополнительные "навороты" - всего лишь сервисного, а не принципиального характера.

Следует отметить, что РА придерживается строгого технического языка, а в "Хобби" царит такой жаргон, что кажется, будто попал в клуб фанов УМЗЧ ВВ, которым в жизни больше ничего и не надо (см., например, статью на с.26-35 в РХ 5/2002). И совсем уж некрасиво по отношению к коллегам выглядит намек на "некоторые бульварные издания" (см. с.35 там же) - слишком прозрачный, чтобы не понять, какое именно издание имеется в виду.

И еще одно. Известно, что критерием истины по-прежнему остается практика, нравится это кому-то или нет. И поэтому схемный симулятор, о котором идет речь на той же с.35 все той же статьи, не может быть последней инстанцией. Компьютерная программа, помимо того, что тривиально может содержать ошибки, является всего лишь чем-то вроде очень усовершенствованной логарифмической линейки (если кто-то еще помнит, что это такое), которой надо еще уметь пользоваться. Она может только помочь серьезному разработчику, заменив на предварительном этапе полностью готовое и отрегулированное устройство. Для окончательных выводов обязательно нужно сравнить конкретные конструкции, как это было сделано редакцией РА (см. РА 7/2002, с.2-9). Сделано, кстати, впервые за последние годы и в единственном среди радиолюбительских журналов СНГ. Это сразу заметил опять же внимательный и заинтересованный читатель (см. отзыв Ю.Б. Коваленко в РА 9/2002, с.4,5).

**М. Валович**, Львовская обл.



# Ремонт усилителя фирмы "Sony"

А.Г. Зылюк, г. Луцк

Полный УЗЧ TA-AX4 фирмы "Sony" - один из самых надежных и схемотехнически простых усилителей этой фирмы. Поступивший в ремонт экземпляр не всегда работал в нормальных условиях, тем не менее, прослужил более 25 лет без единого ремонта! Качество звука этого УЗЧ оценивалось слушателями как хорошее или отличное по сравнению с отечественными.

На большой громкости усилитель затих: перегорел сетевой предохранитель (F1, 2,5 А). После замены его исправным предохранителем тот также перегорел. Анализ неисправности привел к импульсному блоку питания усилителя, схема которого показана на рисунке. Проверка радиокомпонентов выявила отказ транзисторов мощных ключей VT903, VT904 типа 2SC2542. Переходы коллектор-эмиттер обоих транзисторов оказались пробиты. Основные технические параметры этих транзисторов [1]:  $I_k=5$  А,  $U_{кз}=400$  В,  $P_{рас}=60$  Вт.

Кроме того, проверка вторичных цепей ИБП выявила слишком малое измеренное сопротивление между коллекторами транзисторов VT314, VT316 одного из каналов выходного каскада усилителя. Измерения проводились стрелочным омметром типа M41070/1. Величина этого сопротивления составляла всего порядка нескольких Ом - фактически короткое замыкание цепей двуполярного напряжения  $\pm 43$  В. Проверка транзисторов VT314 типа 2SC2837 и VT316 типа 2SA1186 выявила пробой перехода коллектор-эмиттер обоих транзисторов. Найти нужные транзисторы не удалось, а владелец аппарата был против установки мощных отечественных транзисторов типов KT8101А и KT8102А.

Было решено установить в УЗЧ транзисторы типов 2SA1302 вместо 2SA1186 и 2SC3281 вместо 2SC2837. Основные параметры транзисторов 2SA1186 и 2SC2837 [1]:  $I_k=10$  А,  $P_{рас}=100$  Вт и  $F_{гр}=70$  МГц. Параметры транзисторов 2SA1302 и 2SC3281:  $I_k=15$  А,  $P_{рас}=150$  Вт и  $F_{гр}=30$  МГц. Как видно, последние по основным техническим характеристикам превосходят отказавшие экземпляры ( $U_{кз}$  у 2SA1302, 2SC3281  $\geq 200$  В;  $U_{кз}$  у 2SA1186 и 2SC2837  $\geq 150$  В), кроме частотного диапазона.

Все установленные в усилитель транзисторы были проверены на величину напряжения  $U_{кз\max}$  измерителем [2]. После ремонта нормальная работа УЗЧ полностью возобновилась, и каких-либо ухудшений в качестве звука (использовалась акустика "Kellwood" типа LS-100) замечено не было (при сравнении звучания между каналами УЗЧ). Сложилось даже мнение, что канал УЗЧ с новыми более мощными транзисторами работал лучше на низких частотах.

### Литература

1. Родин А. Справочник по зарубежным транзисторам. - М.: Солон, 1998. - Серия ремонт. - Вып.21.
2. Зылюк А. Подбор транзисторов для мощных УМЗЧ//Радиоаматор. - 2001. - №6. - С.6.

**От редакции.** Копию полной схемы усилителя TA-AX4 фирмы "Sony" желающие могут заказать в редакции.

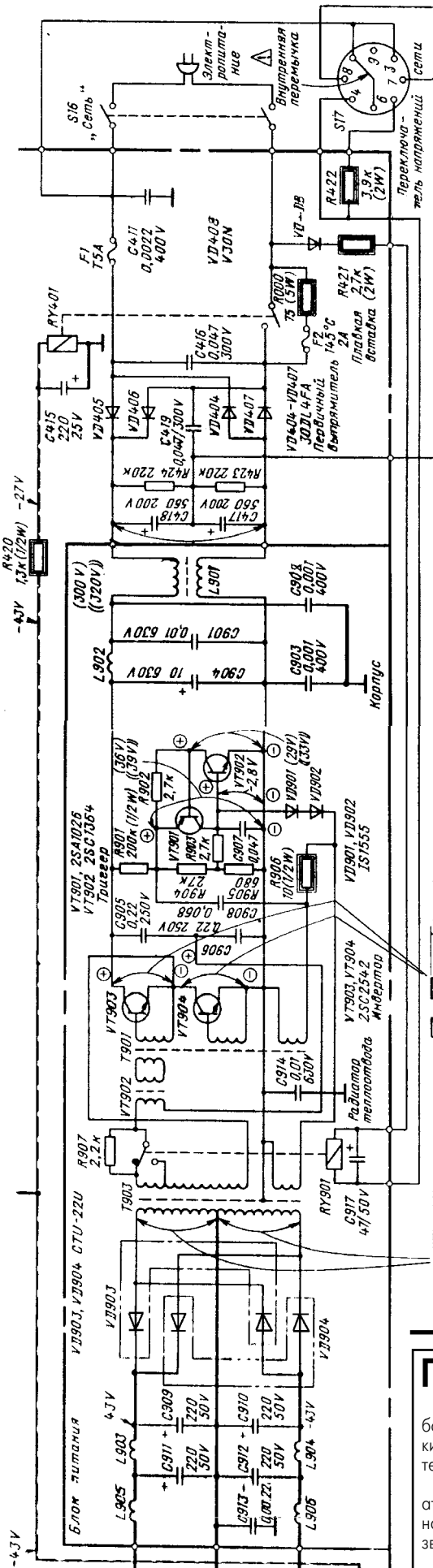
## Проверка пульта ДУ

А.Р. Зайцев, г. Чернигов

Те, кто ремонтировал пульты ДУ, знают, сколько хлопот занимает проверка работоспособности всех его кнопок. Каждый раз после ремонта нужно собрать кнопки в свои гнезда, а они, как правило, выпадают и могут перепутаться. В результате управление "разваливается".

Возьмите карандаш, приклейте к его торцу токопроводящую резинку от клавиатуры (я использовал резину от приставки "Dendy", так как она лучше отечественной) и поочередно замыкайте все площадки ДУ. Таким образом Вы сможете "прозвонить" всю клавиатуру.

Не стоит замыкать площадки отверткой, как это делают некоторые.





# Микросхемы TEA5711 фирмы "Philips" и KA22134 фирмы "Samsung"

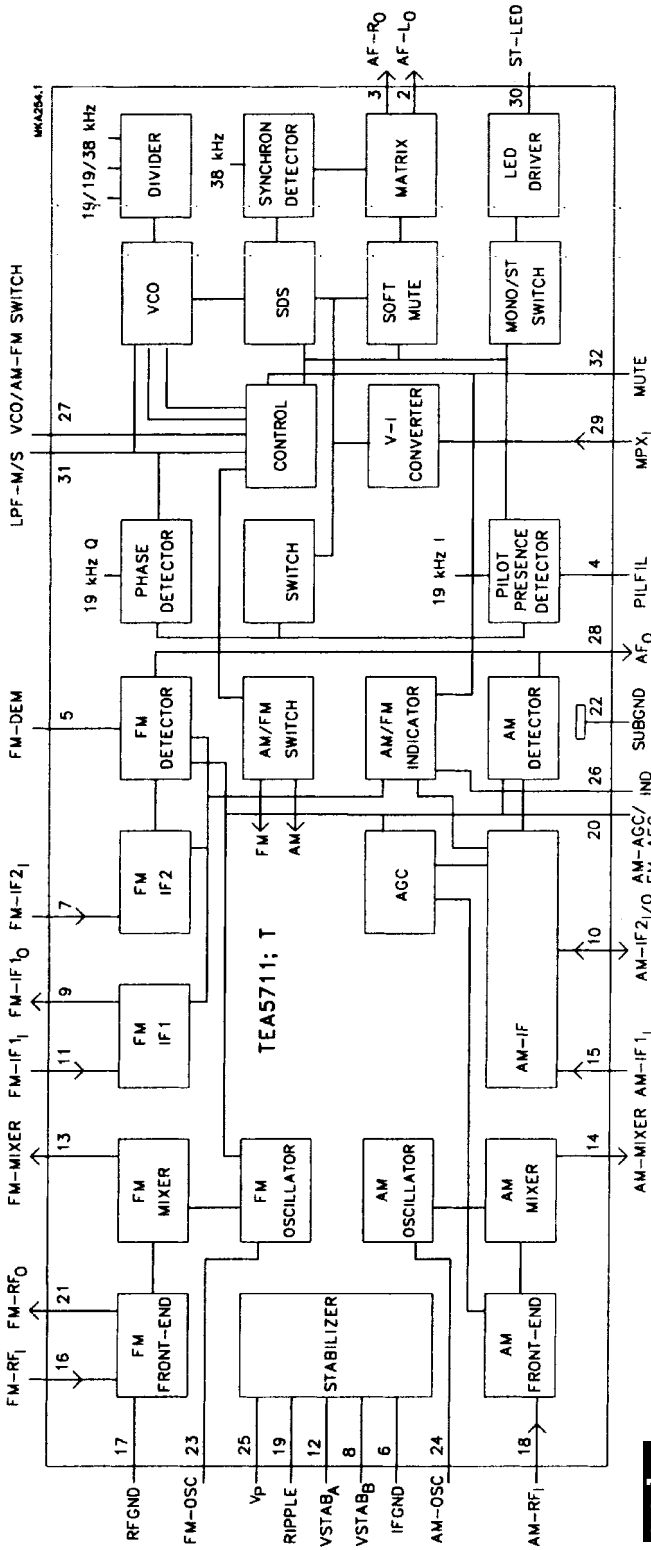
Микросхема TEA5711 используют в радиоприемниках АМ-ЧМ. Она включает в себя все функции приемника от входных цепей до детектора АМ и выходных стереокаскадов ЧМ включительно. Функциональная схема TEA5711 показана на **рис. 1**.

Особенности микросхемы:

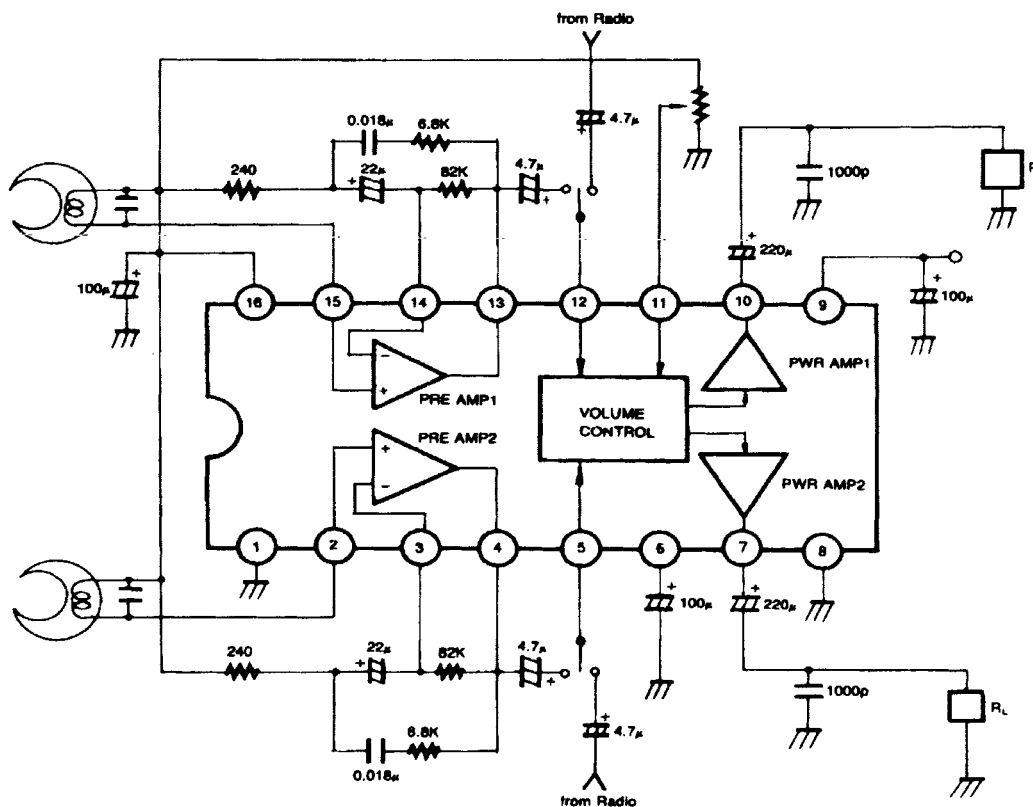
1. Широкий диапазон напряжений питания 1,8...12 В.
2. Малое потребление тока 15 мА на АМ, 16 мА на ЧМ.
3. Чувствительность 1,6 мВ/м на АМ, 2 мкВ на ЧМ при отношении сигнал/помеха 26 дБ.

**Таблица 1**

Вывод	Условное обозначение	Назначение
1	n.c.	Не используется
2	AF-L <sub>o</sub>	Аудиовыход левого канала (выходное сопротивление 4,3 кОм)
3	AF-R <sub>o</sub>	Аудиовыход правого канала (выходное сопротивление 4,3 кОм)
4	PILFIL	Вывод фильтра детектора пилот-сигнала
5	FM-DEM	Вывод керамического дискриминатора
6	IFGND	"Земля" каскадов промежуточной частоты и детектора
7	FM-IF <sub>2</sub> <sub>i</sub>	Второй вход ПЧ ЧМ (входное сопротивление 330 Ом)
8	VSTAB <sub>B</sub>	Стабилизированный внутренний источник питания В
9	FM-IF <sub>1</sub> <sub>o</sub>	Первый выход ПЧ ЧМ (выходное сопротивление 330 Ом)
10	FM-IF <sub>2</sub> <sub>o</sub>	Вход/выход трансформатора ПЧ
11	FM-IF <sub>1</sub> <sub>i</sub>	Первый вход ПЧ ЧМ (входное сопротивление 330 Ом)
12	VSTAB <sub>A</sub>	Стабилизированный внутренний источник питания А
13	FM-MIXER	Выход на керамический фильтр ПЧ (выходное сопротивление 330 Ом)
14	AM-MIXER	Выход с открытым коллектором на трансформатор ПЧ
15	AM-IF <sub>1</sub> <sub>i</sub>	Вход от трансформатора ПЧ или керамического фильтра (входное сопротивление 3 кОм)
16	FM-RF <sub>i</sub>	Вход от антенны ЧМ (входное сопротивление 50 Ом)
17	RFGND	"Земля" радиочастотной части ЧМ
18	AM-RF <sub>i</sub>	Вход настройки от антенны АМ (входная емкость 3 пФ)
19	RIPPLE	Вывод конденсатора фильтра пульсаций
20	AM-AGC/ FM-AFC	Вывод конденсатора АРУ/АРЧ
21	FM-RF <sub>o</sub>	Вход настройки от антенны ЧМ
22	SUBGND	"Земля" подложки и радиочастотной части
23	FM-OSC	Вывод настройки генератора ЧМ
24	AM-OSC	Вывод настройки генератора АМ
25	V <sub>p</sub>	Положительное напряжение питания
26	IND	Вывод уровня сигнала
27	VCO/AM-FM SWITCH	Вывод переключателя и ГУН (в режиме АМ свободный, в режиме ЧМ заземлен)
28	AF <sub>o</sub>	Вывод детекторов АМ-ЧМ (выходное сопротивление 5 кОм)
29	MPX <sub>i</sub>	Вход для стереодекодера (входное сопротивление 180 кОм)
30	ST-LED	Стереоиндикатор
31	LPF-M/S	Вывод для фильтра обратной связи и переключателя моно/стерео
32	MUTE	Вывод отключения звука



**рис. 1**



**рис. 2**

4. Малый уровень выходных искажений 0,8% на АМ, 0,3% на ЧМ.
5. Возможность работы с сильными сигналами вплоть до 10 В/м на АМ и 0,5 В на ЧМ.
6. Наличие драйвера светодиодов для стереоиндикации.

Микросхема рассчитана на работу в диапазоне температур – 15...+60°С. Выпускается в 32-выводных корпусах SDIP-32 и SO-32 (в

этом случае ее обозначение TEA5711Т).

Назначение выводов приведено в **табл. 1**.

Микросхема KA22134 представляет собой двухканальный усилитель звуковых частот с функцией внешнего управления громкостью. В состав ее (**рис.2**) входят два предварительных усилителя (pre amp1 и pre amp2), узел управления громкостью (volume control) и два выходных усилителя (power amp1 и power amp2) с выходной мощностью до 39 мВт, рассчитанных для работы на наушники.

Особенности микросхемы:

1. Широкий диапазон напряжений питания 1,8...6 В.
2. Рассеиваемая мощности до 750 мВт.
3. Ток потребления в состоянии покоя 9...11 мА.
4. Максимальное усиление при разомкнутой обратной связи 62 дБ.
5. Гармонические искажения при максимальном выходном уровне 0,5%.
6. Разбаланс стереоканалов не более ±1,5 дБ.

Микросхема рассчитана на работу в диапазоне температур –20...+75°С. Выпускается в корпусе DIP-16.

Назначение выводов приведено в **табл.2**.

**Таблица 2**

Вывод	Описание
1	"Земля" предварительных усилителей
2	Положительный вход 1-го предварительного усилителя
3	Отрицательный вход 1-го предварительного усилителя
4	Выход 1-го предварительного усилителя
5	Вход 1 усилителя мощности
6	Вывод конденсатора фильтрации пульсаций
7	Выход 1 усилителя мощности
8	"Земля" усилителя мощности
9	Положительное напряжение питания
10	Выход 2 усилителя мощности
11	Управление усилением
12	Вход 2 усилителя мощности
13	Выход 2-го предварительного усилителя
14	Отрицательный вход 2-го предварительного усилителя
15	Положительный вход 2-го предварительного усилителя
16	Источник опорного напряжения

## Возвращаясь к напечатанному

Наш автор В.С. Попич из г. Ривне прислал уточнения к своей статье "Радиоприемник с питанием от фотоэлементов малой мощности" (РА 5/2002).

1. Емкость конденсатора С6 должна быть 2200 пФ, а не 220 пФ, как обозначено на схеме радиоприемника (рис.1).

2. Сопrotивление высокоомных телефонов ТОН-2 составляет 3,2 кОм, а не 1,2 кОм, как говорится в тексте.

В РА 11/2002 (с.2-5) бала опубликована статья Матяш А. "FM-радиоприемник для персонального компьютера". Автор сообщает, что программу управления приемником с компьютера (основной и тестовый варианты) можно получить по электронной почте, обратившись по адресу kharkovmobile@narod.ru. Он также обещал выложить ее на сайт www.kharkovmobile.narod.ru. Консультацию можно получить у автора, обратившись по адресу amatyash@ukr.net.



## К Вашему сведению

Я радиоинженер, инвалид II группы. Занимался ремонтом телевизионной техники. Однако в 1998 г. вышел Закон «Про внесення змін до Закону України "Про патентування деяких видів підприємницької діяльності"», который установил, что на ремонт радиоэлектронной аппаратуры (РЭА) нужно покупать патент. Местный горисполком установил размер патента в 60 грн. Так как в месяц у меня выходило столько же, а иногда и меньше, то с тех пор ремонтом я не занимаюсь. Прошу разъяснить, могут ли инвалиды II группы заниматься ремонтом РЭА, не покупая патента, и относятся ли они к категории работающих лиц?

**М. Ткачев**, г. Красный Луч, Луганская обл.

*Наш внештатный корреспондент Н.П. Власюк встретился с начальником управления общественных связей и массово-разъяснительной работы Государственной налоговой инспекции Шевченковского района г. Киева В.Р. Бокеевым и сотрудниками его управления. Приводим их комментарии.*

Если Вы решили заняться ремонтом телевизионной техники, то согласно Закону Украины "Про патентування деяких видів підприємницької діяльності" №102/98-ВР от 10.02.98 г. должны приобрести торговый патент на предоставление бытовых услуг - государственное свидетельство, которое предоставляет право субъекту предпринимательской деятельности или его структурному (отдельному) подразделению заниматься указанными в Законе видами предпринимательской деятельности, связанными с предоставлением платных услуг для удовлетворения личных потребностей заказчика - за деньги и с использованием других форм расчетов, включая кредитные карточки.

Перечень услуг, которые относятся к бытовым и подлежат патентованию, утвержден постановлением Кабинета Министров Украины №576 от 27.04.98 г., был опубликован в газете "Все о бухгалтерском учете" 9 мая 1998 г. №40(222). К таким услугам относятся:

- пошив тентов, чехлов, штор, драпировок;
- ремонт радиотелевизионной, аудио- и видеоаппаратуры (кроме структурных подразделений, расположенных в сельской местности);
- замена элементов питания;
- ремонт и изготовление ювелирных изделий;
- ремонт и изготовление металлоизделий;
- ремонт и техническое обслуживание транспортных средств, принадлежащих гражданам;
- ремонт и строительство индивидуального жилья (квартир), садовых домиков, гаражей;
- парикмахерские услуги (только на территории городов Киева и Севостополя, областных центров);
- прокат аудио-, видеокассет, CD-дисков;

- прокат автотранспортных средств;
- прокат свадебного наряда и одежды для торжественных случаев;
- услуги ломбардов;
- фотоуслуги и услуги фотокинолабораторий;
- услуги аудио-, видеозаписи.

Как видно, "Ремонт радиотелевизионной, аудио- и видеоаппаратуры (кроме структурных подразделений, размещенных в сельской местности)" отнесен к бытовым услугам и на него необходим торговый патент. Стоимость патента устанавливают органы местного самоуправления в зависимости от местонахождения объекта и вида бытовых услуг. В Киеве, например, за патент на ремонт РЭА нужно заплатить 60-80 грн. в зависимости от района города.

*На вопрос "Могут ли инвалиды 2-й группы заниматься ремонтом РЭА, не покупая патента, и относятся ли они к категории работающих лиц?" в налоговой инспекции разъяснили следующее.*

В Статье 9 вышеупомянутого Закона сказано, что субъекты предпринимательской деятельности по предоставлению бытовых услуг, подлежащих патентованию, которые не оформили соответствующих торговых патентов, платят штраф в двойном размере стоимости торгового патента за полный срок деятельности с указанным нарушением. Льгот для инвалидов по приобретению патентов для всех трех групп Закон не предусматривает, так же, как участникам войны и "чернобыльцам", - все они должны приобретать патент на общих основаниях.

Если вы занимаетесь ремонтом РЭА и взяли патент, то вы имеете статус предпринимателя, при этом если у вас работают нанятые люди, то они считаются работающими.

Конечно, Законы могут быть не совершенными, но налоговая инспекция только разъясняет действующее законодательство по налогам.

*В редакцию приходят письма, авторы которых пишут, что ремонт РЭА дело малоприбыльное, часть из них опубликована. Мы живем во время, которое требует от людей нового мышления и часто - смены специальности, что всегда болезненно для людей. Инвалидам и пожилым людям еще сложнее, но, проанализировав все вышеизложенное, можно найти варианты.*

1. Осуществлять ремонт РЭА в сельской местности, где не нужно приобретать патент.

2. Пойти на работу на предприятие или к частному предпринимателю. Иногда им требуются ремонтники РЭА или специалисты, близкие к этой специальности.

3. Заняться видом бытовых услуг, который не указан в "Перечне...", например, ремонтом обуви, пошивом и ремонтом одежды, сменив профессию, если это возможно.

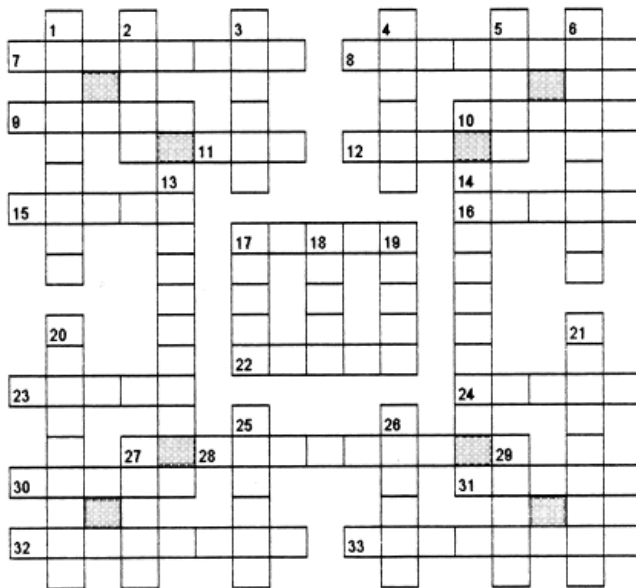
## На госузе

### Кроссворд

Предлагаем Вашему вниманию кроссворд, который прислал в редакцию **С.А. Юдко**, Ривненская обл. Это модифицированный (обновлен почти на половину) кроссворд, опубликованный в журнале "Радио" (№8, 1966 г.)

*По горизонтали:* 7. Потребитель энергии, находящийся в цепи электрического тока. 8. Совокупность операций, производимых в определенном порядке, нужных для решения задач. 9. Название телевизора. 10. Квант электромагнитной энергии. 11. Автоматическая регулировка усиления. 12. Что формирует электронный прожектор. 15. Остановка без выключения механизма. 16. Химический элемент. 17. Часть света, где "хорошо" передаются радиоволны. 22. Двигатель. 23. Название реки в Украине. 24. Название реки в Беларуси. 28. Морское животное, обладающее эхолокационным аппаратом. 30. Растение, которое может служить заземлением. 31. Способ передачи электрических сигналов на расстояние без проводов. 32. Устройство для преобразования звуковой энергии в электрическую. 33. Раздел физики, посвященный изучению звука.

*По вертикали:* 1. Электроизоляционный материал. 2. Название телевизора. 3. Высшее качество. 4. Модель Земли. 5. Трехэлектродная лампа. 6. Среда распространения радиоволн. 13. Комплекс числовых показателей, характеризующих свойства технических устройств. 14. Телецентр пылал, но не упал. 17. Система цветного телевидения. 18. Единица электрического потенциала. 19. Вращающаяся часть двигателя. 20. Одно из первоначальных названий пятисеточной электронной лампы. 21. Диск со звуковой записью, выполненной механическим способом. 25. Пятиэлектродная электронная лампа. 26. Основной раздел знаний, посвященный изучению свойств вещества, полей и законов их движения. 27. Кристалл, обладающий пьезоэлектрическими свойствами. 29. Комплекс строк, огибаемых электронным лучом на экране телевизора.





## Новости Клуба читателей

В 2002 г. членами Клуба стали 130 человек, и на 20.12.02 в Клубе зарегистрировано 434 члена. До заветного числа **500** осталось немного! Напоминаем, что юбилейная акция к 10-летию РА - "500х500" приближается к концу! Когда в Клубе станет 500 членов, мы разыграем среди них 500 грн. (3000 руб.). Используйте свой шанс, ведь Вы ничего не теряете, и прав **А. Чуб** из Луганской области, ставший 430-м членом Клуба, который написал: "Если мне не повезет выиграть, я ничего не потеряю, а, наоборот, приобрету массу полезных знаний!".  
\*\*\*

Подведены результаты работы по письмам читателей в 2002 г. Вот они:

**консультации** (в том числе по порядку приобретения комплектующих, литературы и компакт-дисков с электронными версиями журналов, вступления и членства в КЧР, правил оформления статей и порядку приобретения их ксерокопий, по вопросам радиолюбительской деятельности и правилам подписки) - **108**;

**адреса** авторов публикаций, предприятий и фирм - **39**;

**справочные данные** (в основном по микросхемам) - **16**;

**бесплатные копии** статей, схем и рисунков печатных плат - **57**;

**платные копии** статей и схем - **24**.

Как видно, по сравнению с 2001 г. выросло количество консультаций (108 против 85). Члены Клуба составили примерно 40% от общего числа обратившихся в редакцию с какими-либо вопросами. Редакцией отправлено около 250 писем-ответов. В этих данных не учтены большинство ответов по электронной почте, копий статей и схем, высланных отделом реализации читателям, обратившимся по системе "Книга-почтой".

Среди постоянных консультантов следует отметить авторов и руководителей секций КЧР: "Видеотехника" - **А. Саулова**; "Высококачественное звуковоспроизведение" - **П. Борща**; "Любительское конструирование" - **А. Кульско**; "Ремонт бытовой электроники и офисной техники" - **А. Белуху**; наших постоянных авторов: **С. Рюмика**; **Н. Власюка**; **И. Безверхнего**; **А. Кравченко**.

## Список новых членов Клуба читателей

Тирнак М.П.	Чуб А.А.
Денисенко С.И.	Яценюк Л.В.
Писанко В.В.	Богданов А.С.
Матвеев В.И.	Липовый О.М.
Марчук С.О.	Травников А.А.
Горошенко А.Ю.	Сегада П.Г.
Романец С.Н.	

Благодарим всех, кто прислал нам новогодние поздравления. Желаем Вам и Вашим близким здоровья, счастья, успехов в делах и исполнения желаний в наступившем году!



## Ваше мнение

У Вас классный журнал. Он мне очень помог. Большое Вам спасибо за то, что этот журнал существует.

**Я. Ингульский** (по электронной почте).  
\*\*\*

Вот уже 10 лет я являюсь искренним почитателем и читателем журнала "Радиоаматор", а с недавнего времени и журналов "Конструктор", "Электрик" Вашего издательства. Журнал просто поражает своей многогранностью, многообразием рубрик и простотой содержания. Я считаю его просто изумрудом среди журналов по радиоэлектронике не только стран СНГ, но и Европы. Сам я занимаюсь конструированием и ремонтом радиоаппаратуры уже 5 лет и довольно успешно. Предпочитаю составлять схемы на ИС.

**Ю.В. Збыраник**, Полтавская обл.  
\*\*\*

РА - интересный журнал, который я читаю от корки до корки. Больше всего меня интересуют электротехника, особенно материалы по аппаратуре магнитной записи.

**С.В. Скачко**, Харьковская обл.  
\*\*\*

Спасибо за информацию и существенную психологическую поддержку, которые я получаю, читая Ваш журнал. Знания, полученные благодаря РА, помогли мне собрать своими руками трехполосный усилитель, тюнер, АС и вообще поддерживают во мне дух творчества и трудолюбия.

**В. Товпик**, г. Кривой Рог

## Требуется помощь

Работал в шумных условиях и полностью потерял слух. Сейчас работаю телемастером (имею патент), а как общаться с клиентами, которые звонят по телефону? Может быть кто-то подскажет, как на экране телевизора получить "титры" синхронно с речью или с некоторой задержкой? Если устройство будет способно из десяти слов распознать два-три - уже хорошо. Наверное, оно должно быть выполнено в виде приставки к телевизору, реализовано через компьютер или по принципу телефона с АОН. Слуховой аппарат в данном случае не поможет. В Украине зарегистрировано 53 тыс. глухих, и они очень нуждаются в таком устройстве.

**А.Р. Зайцев**, г. Чернигов, ул. Доценко, 13, кв. 5, 14032.

## Консультация

Я читаю в Вашем журнале рубрику "Аудио-Видео". Меня интересует практическая схема многополосного УНЧ (трехполосного) средней мощности (15...25 Вт по каналу НЧ). Главное, чтобы каналы СЧ и ВЧ были с высоким выходным сопротивлением.

**А.А. Сидоренко**, г. Евпатория

Конструкция трехполосного усилителя описана в РА 11/2000 в статье А.Г. Зысюка "Трехполосный УМЗЧ". Можно также использовать схему трехполосного стереофонического усилителя, описанную в журнале "Радио" 5-6/81 (с.39) в статье А. Чантурия "Трехполосный усилитель".  
\*\*\*

В РА 11/2002 была приведена схема FM-радиоприемника для ПК. Я студентка и пишу по этой схеме курсовую работу. Где найти данные по микросхемам TEA5711 и TA8119P и каковы их отечественные аналоги?

**Оля Ф.**, г. Киев

Отечественных аналогов этих микросхем нет. МС TA8119P фирмы "Toshiba" уже не выпускается, и данных по ней найти не удалось. Аналогом этой микросхемы является KA22134 фирмы "Samsung". Сведения о микросхемах TEA5711 и KA22134 приведены на с.14, 15. На с.15 (см. "Возвращаясь к напечатанному") также указано, как получить программу управления радиоприемником с компьютера.  
\*\*\*

Дополнительно к сведениям о наших консультантах, опубликованным в РА 12/2002 (с.17), сообщаем, что консультации готов давать действительный член КЧР **И.И. Данилов**. Его адрес: ул. Гоголя 22, с. Дудчаны, Нововоронцовский р-н, Херсонская обл., 74233.

Иван Иванович просит сообщить, что может проконсультировать по характеристикам отечественных и импортных операционных усилителей; биполярных транзисторов серий П7, КТ7, КТ8, П2, П6; СВЧ-транзисторов серий КТ6, КТ9, А6-А8; радиоламп серии 6 и некоторых широко применяемых генераторных ламп; по взаимозаменяемости отечественных и импортных диодов, тиристоров и транзисторов (кроме старых типов). Напоминаем, обратившись за консультацией, не забудьте вложить в письмо конверт с маркой и обратным адресом.  
\*\*\*

Как отмечено, количество наших консультаций читателям растет, а значит, растут затраты времени на эту работу у сотрудников редакции и наших авторов. Об этом нужно помнить, обращаясь в редакцию с вопросами. И вряд ли стоить отнимать время у занятых людей, присылая им для размышления такие, например, вопросы: "Как правильно расположить элементы в схеме последовательного колебательного контура: сначала конденсатор, а потом катушку индуктивности, или наоборот? Я пробовал оба варианта - никакой разницы. А как все-таки должно быть в теории?". Вопрос, "интересующий всех радиолюбителей нашего региона", прислал **Виктор К.** из Донецкой области.

Авторы подобных писем, пытаясь таким простым способом удовлетворить свое любопытство, не отдают себе отчета в том, что, отвлекая других людей от действительно важных и полезных дел, они все равно достигают лишь сиюминутного результата. Недостатки образования можно ликвидировать лишь собственным нелегким трудом, а никак не чужими, пусть даже и квалифицированными консультациями.

Правда, это не только наша проблема. Автор одного из наиболее посещаемых англоязычных Интернет-сайтов любителей практической радиоэлектроники <http://www.aaroncake.net> продолжительное время в одиночку поддерживал этот увлекательный сайт, содержащий массу практических радиоэлектронных схем, а также давал бесплатные консультации всем желающим. Объясняя причины, по которым он был вынужден отказаться от добровольно взятых на себя обязанностей "мальчика-помогайчика", он приводит такие аргументы:

"Некоторые люди демонстрируют потрясающую склонность к лени. Они просят выполнить за них работу, часто даже не затрудняя себя необходимостью четко изложить суть своей просьбы. Особенно удручает, когда усилие, потраченное на то, чтобы исчерпывающе ответить на интересующий их вопрос, оказываются напрасными лишь потому, что наслех составленное послание неправильно истолковано. По всей вероятности, для них проще написать письмо с просьбой о помощи, чем взять на себя труд внимательно ознакомиться с содержанием моего сайта. Иначе чем объяснить, то, что мне приходится много раз отвечать на одни и те же вопросы, хотя ответы на них уже давно выложены на сайте."

Материалы подготовил **Н. Васильев**



**СЭА****электронные компоненты  
измерительные приборы  
паяльное оборудование****УКРАИНА**

03110, Киев,  
ул. Соломенская, 3  
(044) 490-51-07, 490-51-08, 490-51-09  
E-mail: info@sea.com.ua  
http://www.sea.com.ua

**РОССИЯ**

117279, Москва,  
ул. Профсоюзная, 83, корп. 3, оф. 408  
(095) 334-71-36, 785-94-75  
E-mail: info@searu.com  
http://www.searu.com

Фирма "СЭА", основанная в 1990 году, занимается поставкой на Украину электронных компонентов, измерительных приборов, паяльного оборудования. Наши дочерние предприятия "Издательство Радиоаматор" и "СЭА Аудио-Видео" успешно работают в соответствующих сегментах рынка.

В программу поставок "СЭА" входит:

- **Активные компоненты:** аналоговые и цифровые микросхемы, контроллеры, источники питания, транзисторы, диоды, светодиоды, ЖКИ, СВЧ компоненты, датчики таких фирм, как **Clare, Traco, Zarlink, Agilent Technologies, Kingbright, Wintek, Winstar, National Semiconductor, Raychem, ON Semiconductor, Motorola, Vishay, Raychem, Texas Instruments, Philips, Atmel, Amic, ST Microelectronics, International Rectifier, Intel, AMD, Mini-Circuits, Analog Devices, Cypress, Lite-On, Fairchild, Samsung, Fujitsu, Toshiba, Intersil, Xilinx, Altera, Maxim, Exar, Zilog, Utron Technologies, Ramtron, Sharp, Isocom, Linear Technologies, Easymeter, Cotco, Amic, Eupec, Microchip, Power Integration, IXYS, Figaro, Sames**
- **Пассивные компоненты:** конденсаторы, индуктивности, ферриты, трансформаторы, резисторы, разъемы всех типов, кварцевые резонаторы и генераторы, предохранители, клеммники, кнопки, переключатели, конструктивы, шкафы таких фирм, как **Samsung, Hitano, Uni-Ohm, BC Components, Nic, Conis, Hitachi, Molex, Murata, Epcos, CQ, Caliber, Filtran, Raychem, Vishay, Ferroxcube, AMP(Tyco), Marquardt, ECE, Oupiin, Shhroff, Rittal, FCI**
- **Измерительные приборы:** осциллографы, генераторы, спектроанализаторы, источники питания, калибраторы, мультиметры, приборы для телекоммуникаций и телевидения таких фирм, как **Tektronix, Hameg, ВЕНА, Velleman, Fluke, Black Box**
- **Паяльное оборудование:** паяльные и ремонтные станции таких фирм, как **Weller, Xelite, Erem, Wire-Wrap, Velleman, Interflux, Harotec, Tyco, Essentec**
- **Волоконно-оптические компоненты:** коннекторы, соединительные шнуры, адаптеры, активное оборудование таких фирм, как **Molex, Agilent, AMP(Tyco)**
- Мы являемся официальными дистрибьюторами в Украине следующих компаний: **BC Components, Molex, Tektronix, Cooper Tools, Interflux, Clare, Tyco, Traco, Velleman, Hitano, Beha, Hameg**

"СЭА" состоит в партнерских отношениях с **Raychem, National Semiconductor, Zarlink, Intel, Agilent Technologies, Vishay, International Rectifier, Epcos, Cypress, Wintek, Winstar, Hitachi, Filtran, Kingbright, Amic, Figaro, Level One, Mini-Circuits, IXYS, Sames**

Мы постоянно расширяем программу поставок новыми производителями согласно потребностям наших клиентов.

Имеем большую библиотеку по всему спектру поставляемой продукции.

Осуществляем продажу со склада и под заказ. Сопровождаем заказы квалифицированной технической поддержкой.

Консультируем по выбору и применению компонентов, приборов и оборудования.



# Ремонтный комплекс WQB 2000

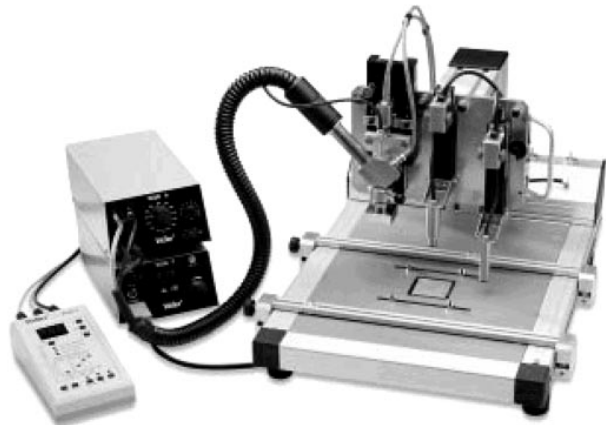


Weller WQB 2000 позволяет решить все задачи, связанные с монтажом и демонтажом BGA-корпусов: демонтаж элемента, восстановление контактов, позиционирование и пайка. Данная установка позволяет одинаково успешно работать как с BGA-корпусами, так и с многовыводными планарными с малым шагом (fine-pitch). Тепловая энергия, необходимая для пайки, подается к компонентам в виде точно направленной струи горячего воздуха, температура которого контролируется в зоне пайки интегрированным термодатчиком. Для более точного контроля температурный датчик интегрирован в каждую насадку. Обратная сторона печатной платы нагревается инфракрасным нагревателем с отдельной системой контроля температуры.

Это обеспечивает абсолютную надежность пайки. Рабочие параметры процесса пайки могут быть сохранены, после чего раз установленный температурный профиль будет точно воспроизведен при следующей пайке.

## Технические характеристики

Наличие установщика компонентов	..... +
Наличие трафаретного приспособления	..... +
Размер платы макс.	..... 320x400 мм
Габариты	..... 400x550x460 мм
Масса	..... 20,5 кг



# Ремонтный комплекс WQB 3000

WQB 3000 - это самая современная разработка Weller в области SMD-ремонта. Хорошо продуманная концепция проекта объединяет надежность и простоту управления с высокими техническими характеристиками. Цифровой блок управления позволяет изменять сохраненную информацию и, если необходимо, защищать от несанкционированного использования. Наличие специальных функций и комплексное задание технологических параметров позволяет адаптировать систему к решению очень сложных ремонтных работ. При этом наиболее важные технологические параметры отображаются на жидкокристаллическом дисплее.

Так же, как и все профессиональные ремонтные комплексы, WQB 3000 использует метод активной конвекции с помощью блока управления.

Для каждой из трех независимых зон термопрофиля устанавливаются параметры:

- Температура верхнего нагревателя.
- Температура нижнего нагревателя.
- Время.
- Скорость воздушного потока.
- Дополнительно (для зоны охлаждения):
- Время охлаждения.
- Размер платы (большой/малый).

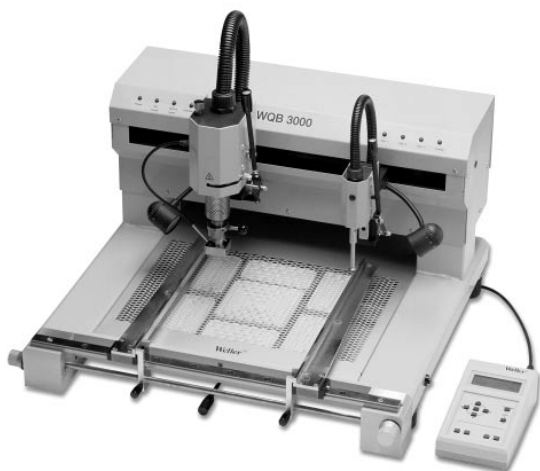
## Специальные функции:

- Регулируемая скорость охлаждения.
- Выбор температуры "standby-offset" для верхнего и нижнего нагревателей.
- Переключатель между индикацией °C и °F.
- Диалоговый режим задания термопрофиля.
- Все насадки полностью совместимы с более ранними ремонтными станциями и содержат интегрированный термосенсор для более точного контроля температуры.

## Перечень поставки:

- Базовый блок с нижним нагревателем.
- Блок установки.
- Устройство контроля.
- Держатель платы.
- Держатель для насадок.
- Блок управления и сопряжения с компьютером через RS-232.
- Блок пайки.
- Установщик.
- Подсветка для монтажа и пайки.
- Соединительная труба.

В базовую поставку входит прецизионный держатель плат с точностью регулирования  $\pm 0,05$  мм при диапазоне регулирования  $\pm 10$  мм.



## Технические характеристики

Питание	..... 230 В/50 Гц
Мощность	..... 7700 Вт
Давление воздуха	..... 400...600 кПа (48-87 psi)
Диапазон времени (для каждой зоны)	..... 0...999 с
Кол-во программно изменяемых термопрофилей	..... 30
Температурный диапазон, точность	..... 50...400°C, $\pm 15^\circ\text{C}$
Контроль расхода воздуха	..... 5...50 литр/мин
Температурный диапазон (подогрев платы), точность	..... 50...400°C, $\pm 10^\circ\text{C}$
Потребляемая мощность (подогрев платы), макс.	..... 1600 Вт
Граничные габариты платы:	
ширина максимальная, минимальная	..... 450 мм, 30 мм
длина	..... неограничена
Габариты (WxDxH)	..... 650x600x500 мм
Масса	..... 40 кг



# Хлебопекарная мини-печь "Бокс-600"

С.М. Усенко, с. Иваница, Черниговская обл.

Внимание читателей предлагаются схемы линии мини-печи "Бокс-600" и тестомесильной машины, которая работает совместно с печью. К сожалению, завод-изготовитель не прилагает в комплекте документации схем электронных блоков. Однако автор надеется, что приведенная ниже информация будет полезна для специалистов, занимающихся эксплуатацией и техобслуживанием этого оборудования.

Печь хлебопекарная ротационная для выпекания хлебобулочных и кондитерских изделий

Выбор типа печи зависит от вида используемого топлива.

Бокс-600 - работает на всех видах топлива (газ или жидкое топливо, электроэнергия). Бокс-600-1 - на газе или жидком топливе. Бокс-600-2 - на электроэнергии.

## Технические характеристики

Производительность за один полуоборот (одну выпечку):

формового хлеба (до 1 кг) . . . . . 168/240 кг/шт.

подового хлеба (до 1 кг) . . . . . 104/120 кг/шт.

батончиков (до 0,5 кг) . . . . . 97/195 кг/шт.

Время выпечки:

формового хлеба . . . . . до 40 мин

подового хлеба . . . . . до 30 мин

батончиков . . . . . до 20 мин

Температура в камере выпечки . . . 190...300°C

Диапазон регулировки

температуры . . . . . 20...300°C

Время разгона (разогрева до

рабочей температуры) . . . . . 30...50 мин

Установленная мощность:

электродвигателей . . . . . 5,39 кВт

ТЭНов . . . . . 54 кВт

Расход энергоносителей

(номинальный на одну выпечку):

дизельного топлива . . . . . 12,3±1,3/4,5 кг/ч

природного газа . . . . . 14,4±0,7/5,6 м<sup>3</sup>/год

электроэнергии . . . . . 59,4/30...45 кВт/ч

Принципиальная схема системы управления печью "Бокс-600" (блок горелочный) приведена на **рис.1**; для печи "Бокс-600-02" на **рис.2** представлена схема системы управления, на **рис.3** - шкаф управления, на **рис.4** - блок ТЭНов, на **рис.5** - панель управления.

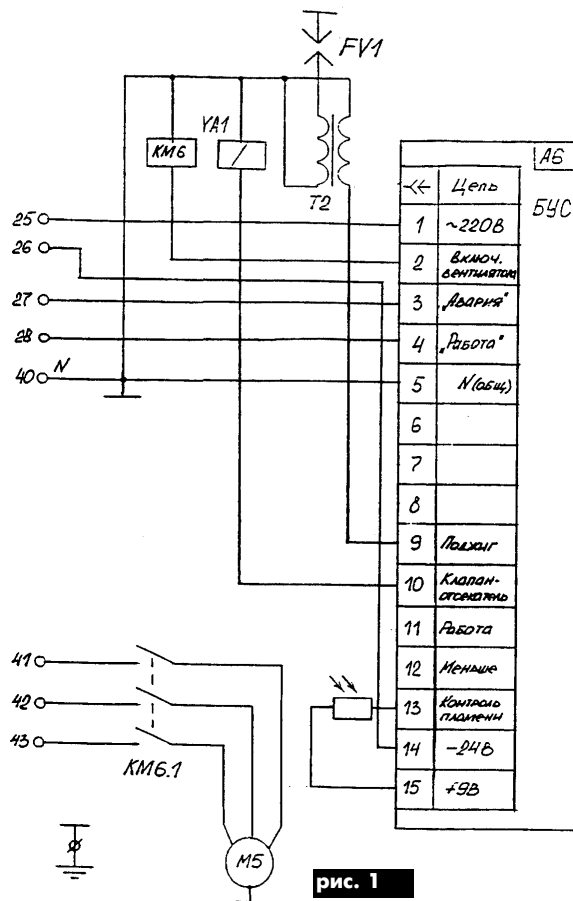


рис. 1

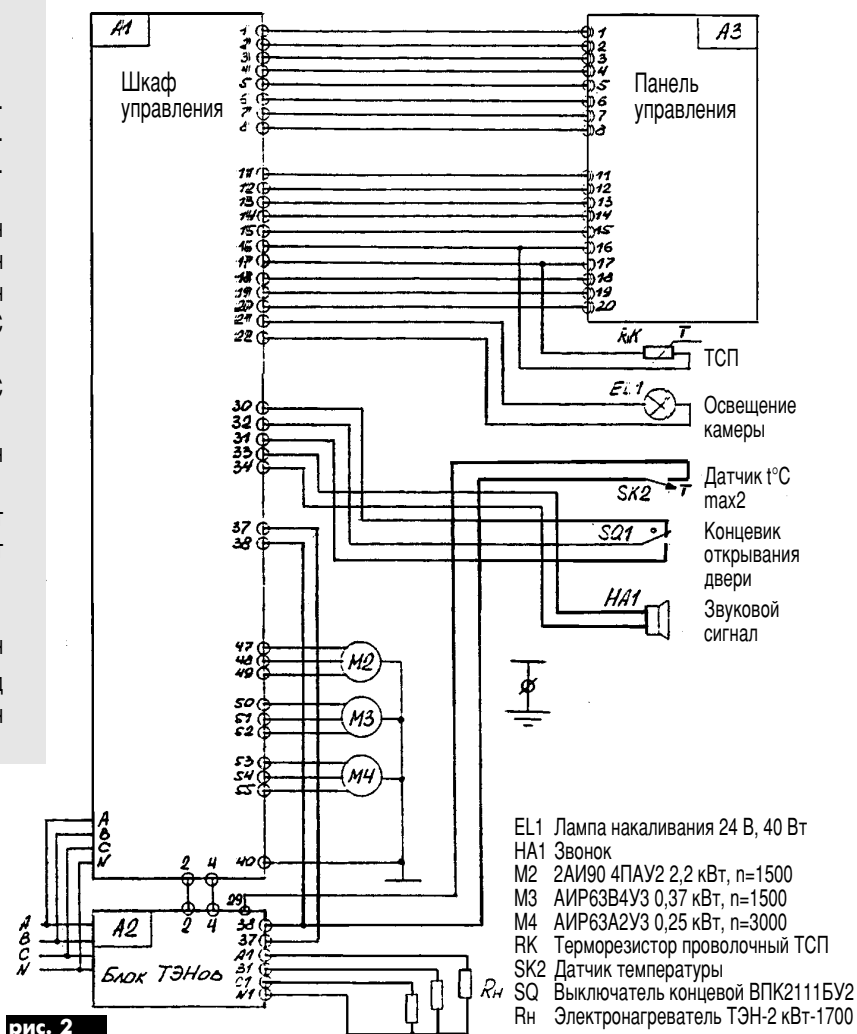


рис. 2

- EL1 Лампа накаливания 24 В, 40 Вт
- HA1 Звонок
- M2 2АИ90 4ПАУ2 2,2 кВт, n=1500
- M3 АИР63В4У3 0,37 кВт, n=1500
- M4 АИР63А2У3 0,25 кВт, n=3000
- RK Терморезистор проволочный ТСП
- SK2 Датчик температуры
- SQ1 Выключатель концевой ВПК2111БУ2
- RH Электронагреватель ТЭН-2 кВт-1700

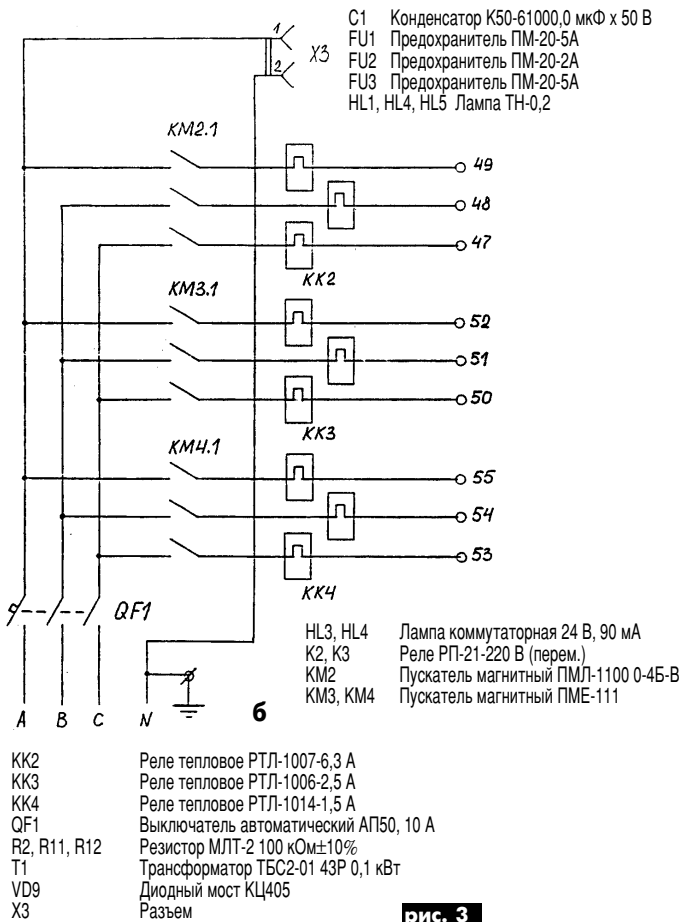
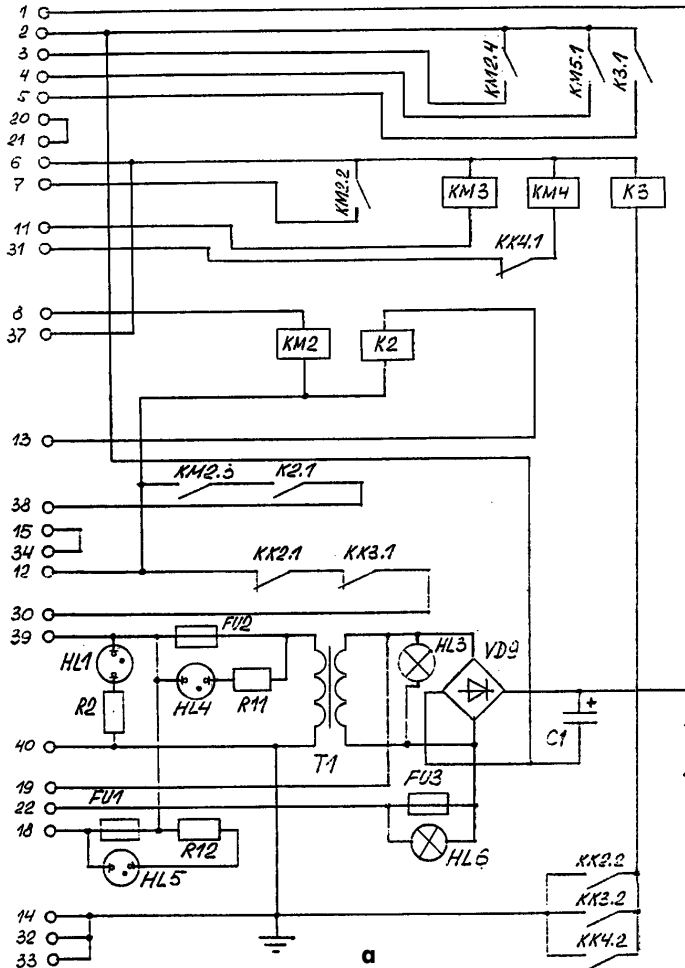
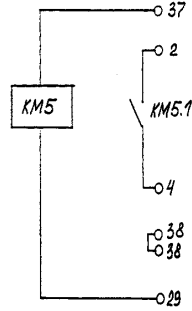
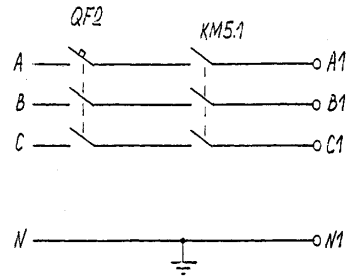


рис. 3

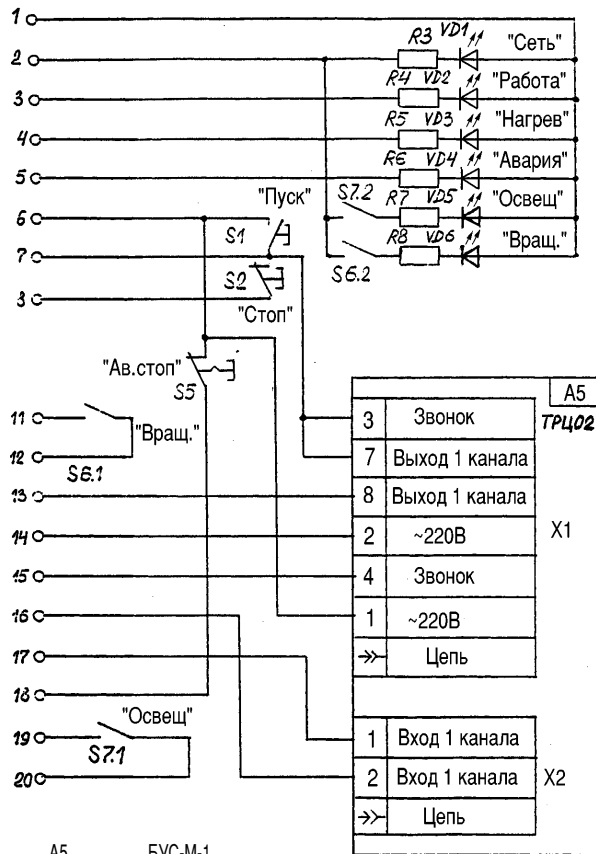
- KK2 Реле тепловое РТЛ-1007-6,3 А
- KK3 Реле тепловое РТЛ-1006-2,5 А
- KK4 Реле тепловое РТЛ-1014-1,5 А
- QF1 Выключатель автоматический АП50, 10 А
- R2, R11, R12 Резистор МЛТ-2 100 кОм±10%
- T1 Трансформатор ТБС2-01 43Р 0,1 кВт
- VD9 Диодный мост КЦ405
- X3 Разъем

- HL3, HL4 Лампа коммутаторная 24 В, 90 мА
- K2, K3 Реле РП-21-220 В (перем.)
- KM2 Пускатель магнитный ПМЛ-1100 0-4Б-В
- KM3, KM4 Пускатель магнитный ПМЕ-111



- KM5 Пускатель магнитный ПМА-6102М УХЛЧБ
- QF2 Выключатель автоматический ВА51-35-340010-20, 160 А

рис. 4



- A5 БУС-М-1
- R3-R10 Резистор МЛТ-0,5-2,4 кОм±10%
- S1 Кнопка КМЕ-4211 черная
- S2 Кнопка КМЕ-4211 красная
- S6, S7 Тумблер SC727
- S5 Кнопка КЕ-14182 с фиксации
- VD1 Светодиод импортный Ø8 мм желтого свечения
- VD2 Светодиод импортный Ø8 мм зеленого свечения
- VD3 Светодиод импортный Ø5 мм красного свечения (АЛ307А)
- VD4 Светодиод импортный Ø10 мм красного свечения
- VD5, VD6 Светодиод импортный Ø5 мм желтого свечения (АЛ307Д)
- X1 Разъем РП15-15ГФ
- X2 Разъем 9-контактный импортный

рис. 5

(Окончание следует)

# Принципы зарядки аккумуляторов

А.В. Милицук, Красногвардейский р-н, Крым

**Основная задача этой статьи - разобраться, почему плохо работают автомобильные аккумуляторы и каким должен быть выпрямитель.**

Уже более двадцати лет работаю аккумуляторщиком и автоэлектриком. В последнее время замечал, что резко сократился срок службы аккумуляторов. Если он постоянно эксплуатируется на автомашине, то срок его работы зависит от качества изготовления (до 75%), а остальное - от водителя: неправильно установленное напряжение зарядки; качество электролита; температурный режим эксплуатации.

При работе аккумуляторов в домашних условиях (по сравнению с автомашиной) срок службы сокращался в 1,5-2 раза, хотя нет вибраций, оптимальный температурный режим, а выходит - наоборот!

Теперь обратимся к устройству аккумулятора: активные вещества положительных пластин -  $PbO_2$  (двуокись свинца), отрицательных пластин -  $Pb_2$  (губчатый свинец) плюс раствор электролита ( $H_2SO_4 + H_2O$ ) плотностью 1,25...1,27 (это для Украины). В процессе разряда активные массы (подчеркиваю!) положительных и отрицательных пластин преобразуются в сульфат свинца  $PbSO_4$ , плотность электролита падает. При зарядке аккумулятора материалы электродов восстанавливаются и плотность электролита повышается.

Принято считать, что зарядка происходит постоянным током и от формы зарядного тока зависит в основном срок службы аккумулятора. И как ни парадоксально, но на срок службы аккумулятора, эксплуатирующегося в домашних условиях, резко отрицательно (75...84%) влияют выпрямители, вернее форма тока зарядки. На **рис.1** приведены диаграммы зарядного тока, а на **рис.2** - схемы выпрямителей.

Идеальная форма тока зарядки представлена на **рис.1,а**. В реакциях участвует вся масса пластин (положительных и отрицательных). Срок службы аккумулятора максимальный.

Форма тока трехфазного генератора автомашины (**рис.1,б**) ближе всех подходит к нормальному. Если между положительным выво-

дом генератора и "массой" подключить емкость (10...20 мкФх50 В), то получим самый оптимальный вариант. Почему на 50 В? В процессе работы генератора могут возникнуть аварийные ситуации, а напряжение, вырабатываемое нерегулируемым генератором, достигает 35...40 В! Если аккумулятор отключится, то вся электроника мгновенно перегорит.

Зарядное устройство на одном диоде (**рис.1,в, 2,а**) - самая "убойная" для аккумулятора схема. Срок службы - минимальный.

Существуют множество различных вариантов мостовой схемы выпрямителей (**рис.1,г**): на **рис.2,б** приведена общая схема; на **рис.2,в** - регулировка  $U_{зар}$  в I обмотке; на **рис.2,г** - регулировка  $U_{зар}$  во II обмотке; на **рис.2,д** - регулировка  $U_{зар}$  при помощи гасящих конденсаторов в I обмотке и т.д.

Форма тока зарядки в схеме на транзисторах (0...100%  $I_{зар}$ ) представлена на **рис.1,д**, где А -  $I_{зар}=0$ ; Б -  $I_{зар}=25\%$ ; В -  $I_{зар}=50\%$ ; Г -  $I_{зар}=75\%$ ; Д -  $I_{зар}=100\%$ . Видно, что при  $I_{зар}<50\%$  ток становится импульсным, что резко негативно влияет на химические реакции внутри пластин.

Форма тока зарядки тиристорных выпрямителей (**рис.1,е**) при 50%  $I_{зар}$ : **рис.2,е** - регулировка  $I_{зар}$  во вторичной цепи трансформатора; регулировка  $I_{зар}$  в первичной цепи - **рис.2,ж**; регулировка  $I_{зар}$  во вторичной цепи в схеме без диодов - **рис.2,з**. Это самая плохая схема тиристорных выпрямителей. На **рис.1,ж** один полупериод тока идет через диод, второй - через регулируемый тиристор.

**Рис.2,к** - форма тока зависит от  $I_{зар}$  через тиристор. **Рис.1,з, 2,л** - самая интересная и самая старая схема выпрямителей (8 А) с десульфатацией. Она наиболее подходит для зарядки и тренировки аккумуляторов. Идея, заложенная в схеме отличная, однако при частоте сети 50 Гц невозможно заряжать и разряжать аккумулятор. Весь процесс идет на поверхности пластин, а основная, внутренняя,

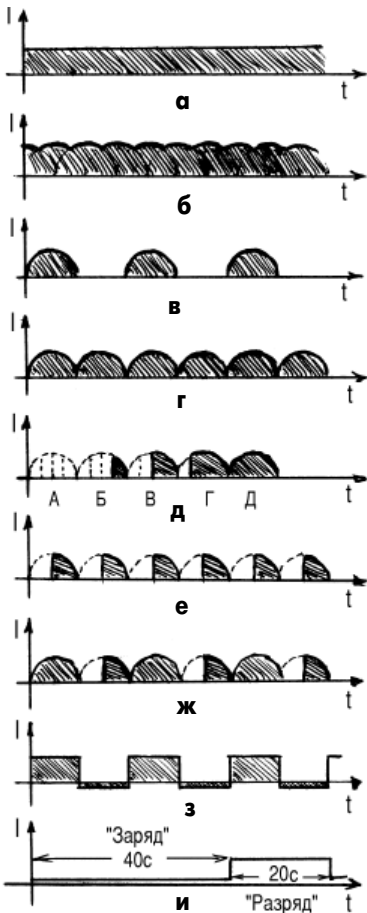


рис. 1

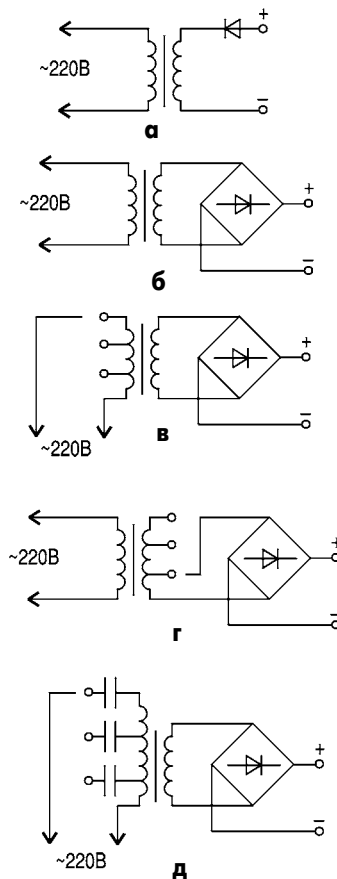
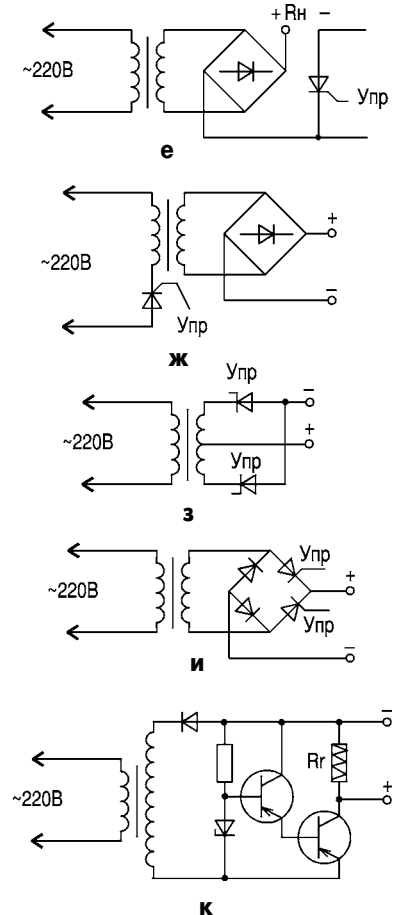


рис. 2



к

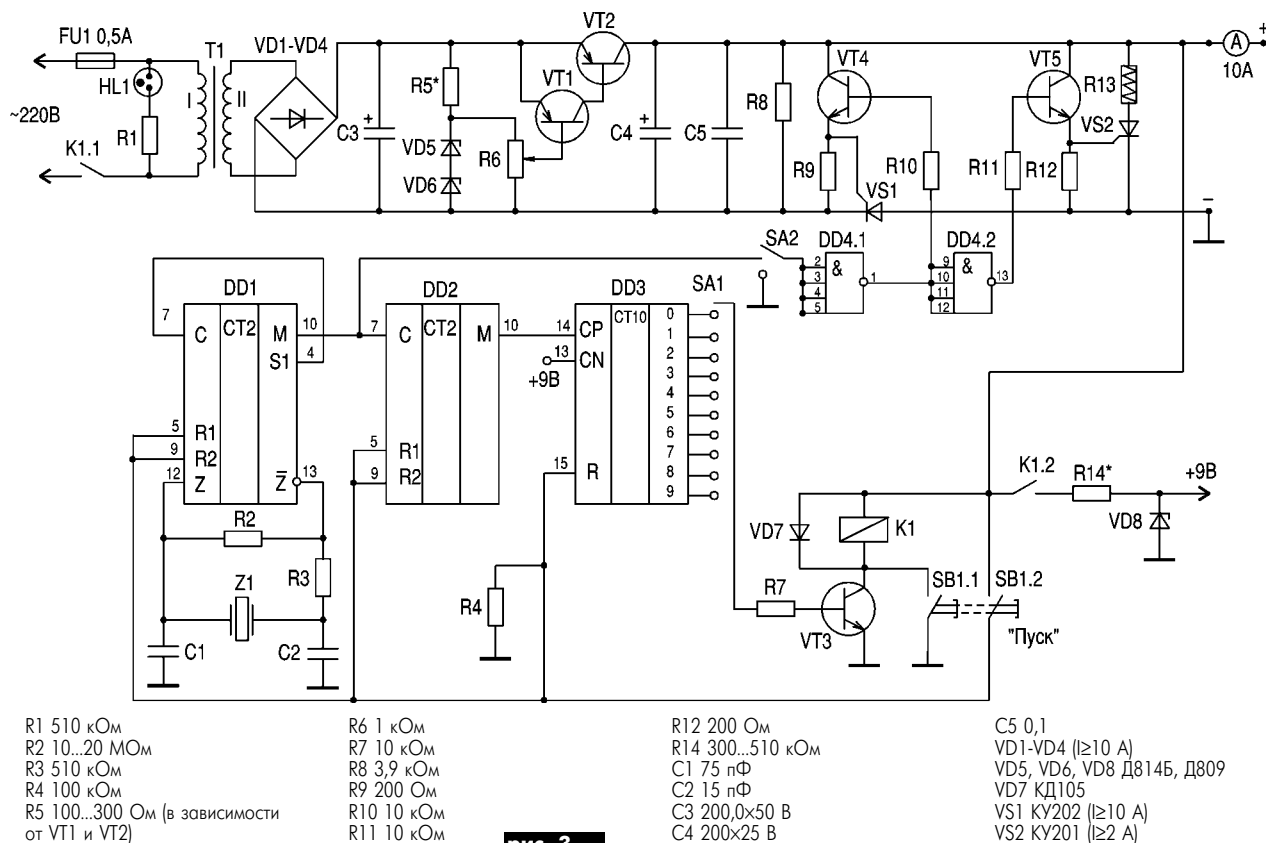


рис. 3

масса в этом процессе не участвует, так как происходит резкое отслоение и осыпание поверхностного слоя пластин и их замыкание, даже если они "упакованы" в так называемые "конверты". В последнее время, чтобы уменьшить замыкание пластин через осадок, на отрицательные пластины надевают запаиваемые с трех сторон сепараторы. Но и положительные пластины осыпаются очень быстро и уже после полугодовой работы образующегося осадка хватает для замыкания между положительными пластинами. И вообще, никакая электрохимическая реакция не происходит на переменном или импульсном токе - только на постоянном. Вот и используем старую схему, немного дорабатываем, дополняем и получаем новый выпрямитель. Процесс заряд/разряд идет в течение одной минуты. На протяжении 40 с происходит заряд током, равным  $Q/10$  ( $Q$  - емкость аккумулятора, А/час) и на протяжении 20 с - при  $I=Q/100$ . Здесь транзисторы работают в облегченном режиме и не перегреваются.

Полная схема выпрямителя с десульфатацией приведена на рис.3, диаграмма токов - на рис.1,и. Например, при использовании аккумулятора типа 6СТ55  $I_{зар}=5...5,5$  А,  $I_{разр}=0,5...0,55$  А.

На ИМС DD1 (рис.3) собран генератор минутных импульсов. На выходе DD1 формируются импульсы (диаграмма на рис.1,и), поступающие на вход DD4.1, затем на вход DD4.2. С выхода DD2 импульсы поступают на счетчик DD3, которым устанавливается время срабатывания. ИМС DD4.1 управляет работой тиристора VS1, который, в открытом состоянии пропускает ток в течение 40 с, а DD4.2 включает нагрузку R13 (для десульфатации). В верхнем положении SA2 выпрямитель работает в режиме тренировки аккумулятора, в нижнем - только "зарядка". Если не нужна тренировка (десульфатация), то можно убрать из схемы ИМС DD4.2 и управляемые ею элементы: VT5, VS2 и резисторы.

Схема очень проста в эксплуатации. Для ее включения необходимо:

1. Подключить аккумулятор к выходным клеммам выпрямителя (при отсутствии аккумулятора схема не работает, так как питание на микросхемы поступает от аккумулятора).
2. Установить переключателем время заряда аккумулятора (в часах).
3. Установить режим работы прибора "Заряд-тренировка".
4. Нажать кнопку "Пуск" и держать, пока не загорится индикатор включения прибора.
5. Установить значение  $U_{зар}$  по амперметру.

По окончании времени зарядки на выходе DD3 появится "минус",

реле обесточится, прибор отключится от сети и от аккумулятора. При повторном включении все повторить.

Диоды и транзисторы желательно брать германиевые, так как у них минимальное падение напряжения, а значит, малый нагрев при прохождении тока заряда (см. таблицу).

Эти данные взяты из справочников и проверены, значит, при расчете вторичной обмотки силовых трансформаторов нужно рассчитывать падение напряжения на диодах и транзисторном фильтре. Общие потери выпрямителей на германиевых диодах и транзисторах составляют 2...2,5 В (нужны радиаторы меньших размеров), а на кремниевых - 2,5...4 В. Величина напряжения II обмотки трансформатора для "германиевых" выпрямителей составляет  $15+2,5...3=18$  В, для "кремниевых" выпрямителей она составляет соответственно  $15+4...4,5=19...20$  В

**Детали.** Все детали схем не критичны к выбору. Транзисторы: VT1 типа П25, П26, П201-П203; VT2 - П210, ПТ806, ПТ813 и т.д. ( $U_{к} > 10$  А); VT3 - КТ972, КТ801, КТ815, КТ817 и т.д.; VT4, VT5 - КТ972. Микросхемы: DD1, DD2 типа 176ИЕ12; DD3 - 176(561)ИЕ8; DD4 - 176(561)ЛА8, 176(561)ЛЕ6. Кварц Z1 - часовой, индикатор HL1 типа МН-03

Реле на  $U_{раб}=6...9$  В, ток срабатывания 30...40 мА. Ток через катушку реле зависит от типа транзистора, который желательно выбирать с запасом мощности и тока. Ток через контакты составляет 0,5 А. Резистор R13 - 24 Ом, 10 Вт (или автомобильная лампа 12 В/0,5 А). Кнопка SB1 с независимым включением на две пары нефиксированных контактов, переключатель SA2 на 10 положений. Трансформатор Т1 мощностью 80...100 Вт с напряжением на первичной обмотке не менее 100 В, на вторичной обмотке не менее 19...20 В.

Все остальное зависит от возможностей и фантазии радиолюбителя.

**От редакции.** Поскольку в схемах использованы устаревшие типы элементов, рекомендуем воспользоваться современной элементной базой. Например, импортными аналогами ИМС: DD1, DD2 - MM5368, DD3 - CD4017[E], DD4 - CD4012E, CD4002.

Элемент	U, В
Германиевые диоды	0,3...0,5
Германиевые транзисторы	0,7...1,0
Кремниевые диоды	0,7...1,0
Кремниевые транзисторы	0,7...1,3

# Цифровой измеритель промышленной частоты

В.Ю. Демонтович, г. Киев

**Цифровой измеритель промышленной частоты 50 Гц предназначен для контроля величины частоты сети с точностью не ниже 0,1% при минимальных аппаратных затратах с целью оценки ее состояния.**

Одним из параметров оценки качества электроэнергии является величина частоты синусоидального напряжения сети равная  $50 \pm 1$  Гц. Измерение столь низких частот с достаточно высокой точностью является сложной задачей.

Условие измерения частоты в узком диапазоне 48...52 Гц, что заведомо перекрывает диапазон изменения промышленной частоты, позволило разработать достаточно простую схему цифрового измерителя частоты при высокой степени точности измерения в этом диапазоне.

Принцип работы прибора заключается в измерении числа импульсов стабилизированной частоты за промежуток времени равный периоду измеряемой частоты. Цифровой измеритель частоты (рис. 1) состоит из пяти функциональных блоков: формирователя импульсов, формирователя сигналов управления, генератора импульсов, реверсивного двоично-десятичного счетчика и индикаторного устройства.

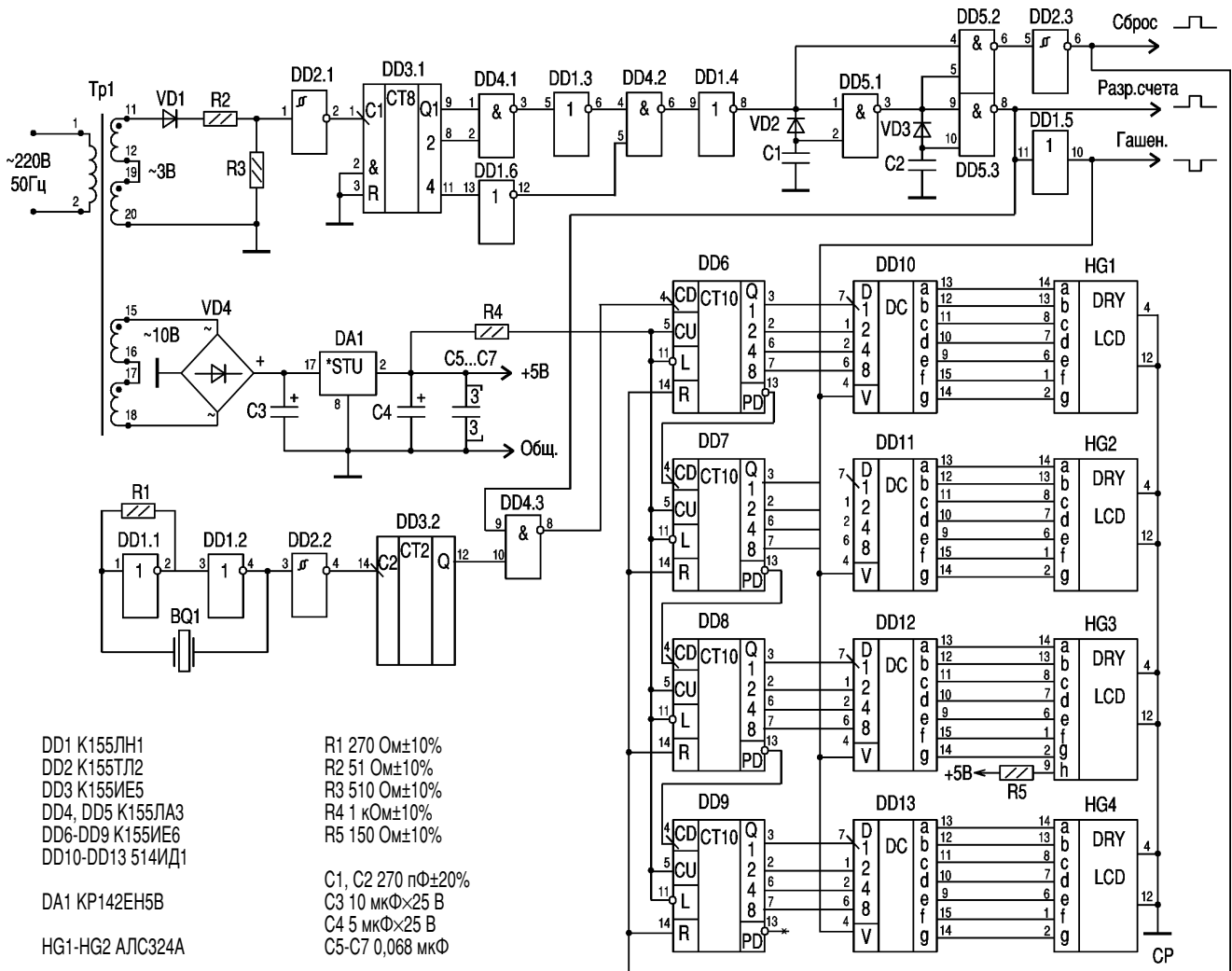
Формирователь импульсов предназначен для формирования из синусоидального напряжения промышленной сети прямо-

угольных импульсов, нормализованных по амплитуде и форме. Он состоит из трансформатора Тр1, диода VD1, делителя напряжения R2, R3 и триггера DD2.1. На выходе триггера DD2.1 получаем импульсы с амплитудой ТТЛ-уровня с частотой измеряемого сигнала.

Для обеспечения работы устройства необходимо сформировать сигналы управления: сброс счетчика, гашение индикации в момент измерения и разрешение счета. Временные соотношения между этими сигналами (рис. 2, где \* – длительность сигнала при  $f_{\text{сети}} = 50$  Гц;  $U_{\text{П1}}$ ,  $U_{\text{П2}}$  – пороговое напряжение триггера) позволяют избежать мигания индикаторов в процессе измерения и отсчета показаний.

Формирователь сигналов управления выполнен на двоичном счетчике DD3.1 с коэффициентом счета 8, логических элементах DD1.3, DD1.4, DD1.6, DD4.1, DD4.2 и элементах задержки VD2, C1, DD5.1, VD3, C2, DD5.3. Элементы задержки позволяют повысить точность измерения на 1 значение младшего разряда.

Импульсы частоты заполнения измеряемого интервала времени формируются генератором на логических элементах DD1.1, DD1.2, резистором R1, кварцевым резонатором BQ1 и делителем на 2 (DD3.2). Частота импульсов генератора выбирается из соотношения: интервал времени измерения при частоте 50 Гц,



DD1 K155ЛН1  
DD2 K155ТЛ2  
DD3 K155ИЕ5  
DD4, DD5 K155ЛА3  
DD6-DD9 K155ИЕ6  
DD10-DD13 514ИД1

DA1 KP142ЕН5В

HG1-HG2 АЛС324А

VD1-VD3 Д223

VD4 КЦ402 (4 шт. КД102Б)

R1 270 Ом±10%

R2 51 Ом±10%

R3 510 Ом±10%

R4 1 кОм±10%

R5 150 Ом±10%

C1, C2 270 пФ±20%

C3 10 мкФ×25 В

C4 5 мкФ×25 В

C5-C7 0,068 мкФ

Тр1 ТПП250

BQ1 PK168 500 кГц

Подключить выв. 14 ИС DD1, DD2, DD4, DD5; выв. 5 DD3; выв. 16 DD6-DD13 к цепи +5 В.

Подключить выв. 7 ИС DD1, DD2, DD4, DD5; выв. 10 DD3; выв. 8 DD6-DD13 к цепи общему проводу.

рис. 1



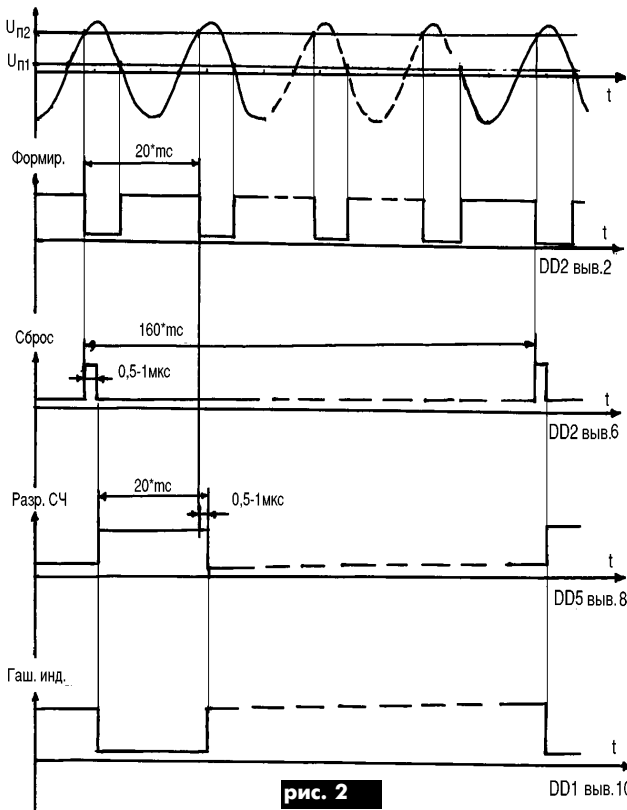


рис. 2

равный 20 мс, должен быть заполнен 5000 импульсами генератора, что дает расчетную величину частоты генератора 250 кГц.

Для нормализации импульсов генератора по скважности ( $Q=2$ ) применяется делитель на 2 (DD3.2). Отсюда следует, что частота кварца должна быть 500 кГц.

Импульсы заполнения с элемента DD3.2 поступают на схему совпадения (DD4.3), которая строится по разрешению разрешения счета (DD5.3). Длительность импульса разрешения счета зависит от величины частоты сети. Импульсы со схемы совпадения поступают на вычитающий вход реверсивного двоично-десятичного счетчика на элементах DD6-DD9, что и позволяет измерять частоту промышленной сети с заданной точностью в узком диапазоне изменения измеряемой частоты 50 Гц.

Выходы реверсивного двоично-десятичного счетчика подключены к индикаторному устройству, выполненному на дешифраторах семисегментного кода DD10-DD13 и индикаторах HG1-HG4.

Блок питания выполнен на базе интегрального стабилизатора напряжения КР142ЕН5В.

**Наладка.** Правильно собранная схема из работоспособных элементов наладки не требует.

**Детали.** Все резисторы типа МЛТ-0,125 (МТ, С2-29).

Конденсаторы С1, С2, С5-С7 типа К10-17-1; конденсаторы С3, С4 электролитические с рабочим напряжением 25 В (К50-6, К50-16). Интегральные микросхемы серии К155 (555, 1533), 514.

Индикаторы типа АЛС324А. Трансформатор Тр1 унифицированный типа ТПП (ТПП254, ТПП250).

Плата с элементами смонтирована на монтажной плате "Слепыш" методом объемного монтажа. Изготовленный образец удовлетворительно работает в одном из отделов госадминистрации района.

## К НОВОМУ ГОДУ

# ВОСКРЕСИМ "УБИТУЮ" ЛДС

Д. Александров, г. Киев

Новогодние праздники невозможно представить себе без различных "мигалок" - всевозможных устройств для создания световых эффектов. На страницах журналов публиковалось множество различных схем устройств для создания световых эффектов с разными вариантами выхода: на лампах накаливания, на светодиодах, на неоновых лампах.

Предлагаю вниманию читателей еще один вариант "мигалки" на лампах дневного света, да еще с перегоревшими нитями накала.

Для питания ЛДС с перегоревшими нитями применяют традиционную схему выпрямителя с увеличением напряжения в 4 раза на выходе (порядка 1120 В), что вполне достаточно для запуска самой "убитой" ЛДС [1, 2]. Коммутируя выпрямитель по входу симистором VS1 с применением специализированной оптопары для управления симистором, получим динамическое управление ЛДС (см. рисунок).

Симисторная оптопара имеет схему ZCC (включение симистора в момент перехода сетевого напряжения через ноль), что упрощает коммутацию реактивной нагрузки. Схема может быть подключена к любому автомату све-

товых эффектов с ТТЛ или КМОП-выходом. При этом необходимо подобрать величину резистора R1 по входному току оптопары.

**Детали.** Тип и номиналы деталей выпрямителя для различной мощности ЛДС приведены в табл.3 [2]. Симистор выбирают, исходя из мощности ЛДС (в авторском варианте ЛД-20), типа ВТ-137-800, ВТ-138-800, ВТ-139-800 [3]. В зависимости от мощности лампы может понадобиться установить симистор на радиатор. В качестве оптопары подойдут: МОС3061, МОС3062, МОС3063 (отличаются током управления).

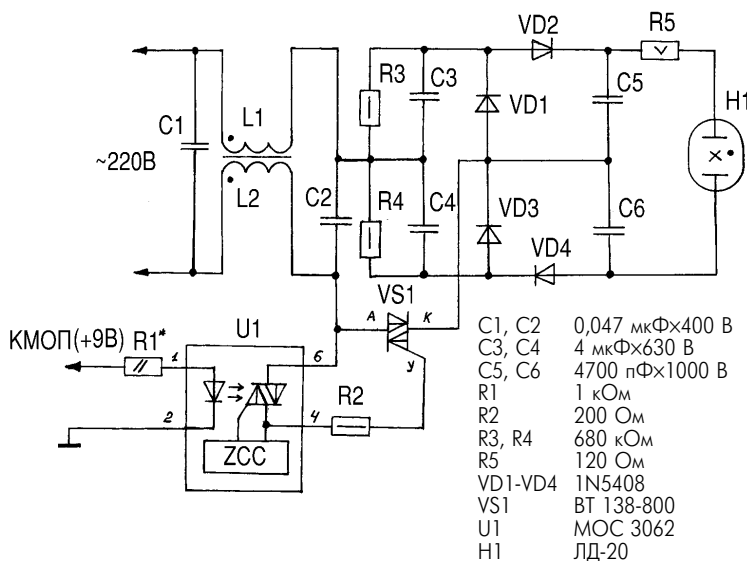
Питать схему лучше через фильтр радиопомех [4], при этом L1, L2 содержит по 25-30 витков (до заполнения) провода ПЭВ-2 Ø0,8 мм на кольце типа К20х12х5, феррит 2000НМ (не критично).

**Наладка.** Правильно собранная схема начинает работать сразу. При необходимости подбором величины резистора R3 устанавливают входной ток оптопары (максимальные его значения 15, 10, 5 мА соответственно для вышеперечисленных типов оптопар). Схема имеет ограничение по частоте не выше 8...10 Гц.

Не все лампы одинаково хорошо запускаются, поэтому через некоторое время работы полярность лампы нужно поменять. Если лампа плохо зажигается, то ее полярность также можно попробовать поменять.

### Литература

- Халатян А. Питание ламп дневного света // В помощь радиолюбителю. - Вып.67.
- Банников В. Лампы дневного света горят долго // Радиолюбитель. - 2000. - N5.
- Тули М. Карманный справочник по электронике. - М.: Энергоатомиздат, 1993.
- Семенов Б. Силовая электроника. - М.: Солон, 2001.



# ЭЛЕКТРОПРИВОД ДЛЯ МИКРОДРЕЛИ

В. Самелюк, г. Киев

**Микродрель является одним из необходимых инструментов в арсенале радиолюбителя. Без нее не обойтись при сверлении отверстий в печатных платах, если нет возможности воспользоваться настольным сверлильным станком. Оставим в стороне вопросы конструктивного выполнения микродрели и обратим внимание на электропривод. Какой же двигатель применить для микродрели?**

К сожалению, выбор чаще всего бывает невелик и приходится применять то, что попадет под руку. В магнитофонах имеется минимум один электродвигатель. Электродвигатели постоянного тока серий ДПМ и ДПР выпускались для авиационной техники, на них был дефицит и требовалось согласование по применению даже для спецаппаратуры.

Поскольку значительно лучшим отношением мощность/масса и КПД обладают коллекторные электродвигатели постоянного тока, то о двигателях переменного тока вспоминать не будем. Реально приходится выбирать (если есть из чего) между электродвигателями последовательного возбуждения (универсальными, или серийными) и двигателями с возбуждением от постоянных магнитов. К последним относятся вышеупомянутые двигатели серий ДПМ и ДПР, которые часто встречаются на рынках столицы.

Для микродрели лучше всего подходит серийный электродвигатель мощностью 10...30 Вт, потому что никакой схемы регулирования для него не требуется. Достаточно иметь регулируемый блок питания постоянного напряжения. Только не пытайтесь менять направление вращения вала такого двигателя изменением полярности подводимого напряжения - все равно ничего не получится. Лучше сделать так, как показано на **рис. 1**.

Дрель является как раз той нагрузкой для двигателя, где ярко выражен большой диапазон изменения момента механической нагрузки на вал двигателя. Давайте сравним механические характеристики серийных двигателей и коллекторных двигателей с возбуждением от постоянных магнитов. Механическая характеристика электродвигателя - это зависимость частоты  $n$  вращения вала от момента  $M$  механической нагрузки на валу (**рис. 2**). Механическая характеристика серийного двигателя изображается кривой, близкой к гиперболе, для двигателя с постоянными магнитами - прямой линией. Из **рис. 2** видно, что при изменении момента нагрузки от  $M_1$  до  $M_2$  у двигателя с постоянными магнитами изменение скорости  $\Delta n_2$  намного больше, чем у серийных двигателей ( $\Delta n_1$ ). Следовательно, двигателю с постоянными магнитами требуется регулятор, который компенсировал бы увеличение (уменьшение) момента нагрузки на вал увеличением (уменьшением) тока через двигатель.

Пример схемы регулятора частоты вращения вала для электродвигателя РК 6-25/3 болгарского производства приведен на **рис. 3**. Этот регулятор частоты вращения вала относится к параметрическим регу-

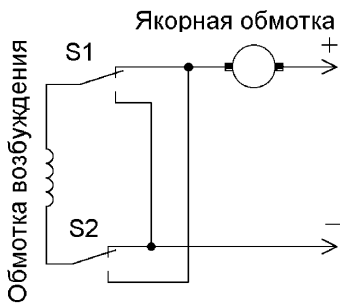


рис. 1

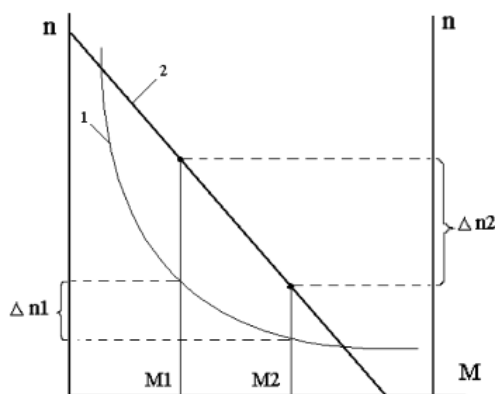


рис. 2

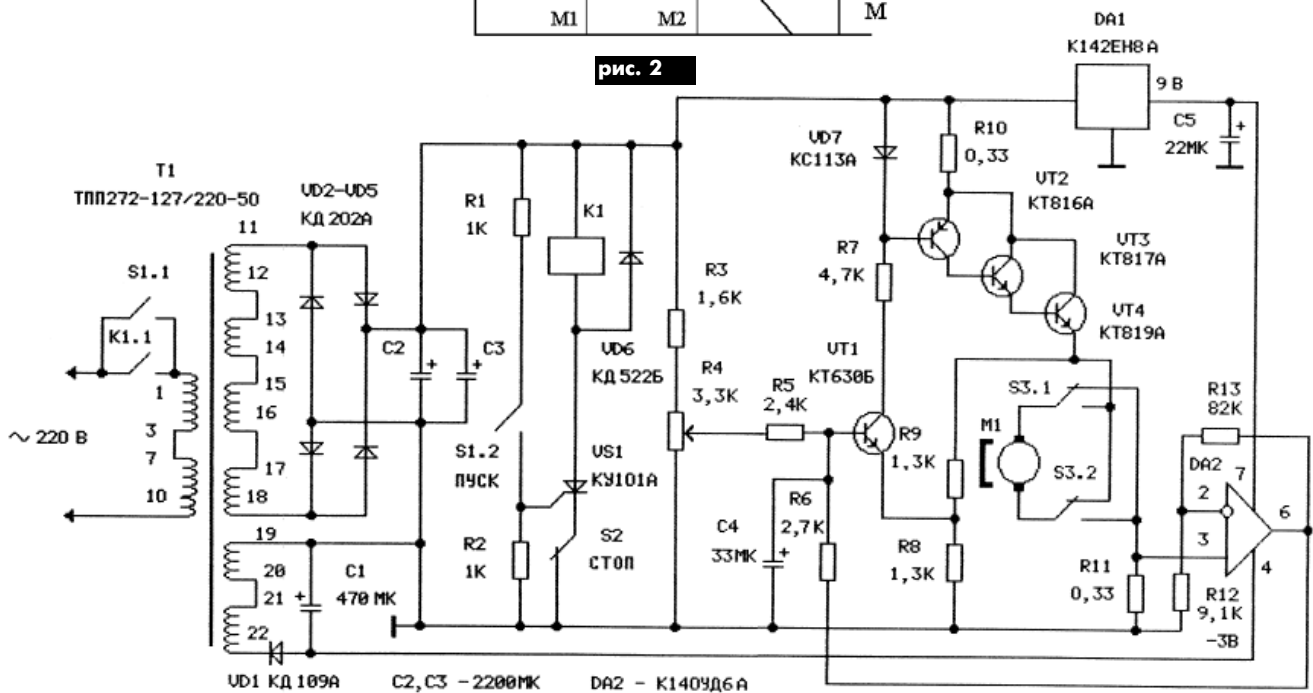


рис. 3

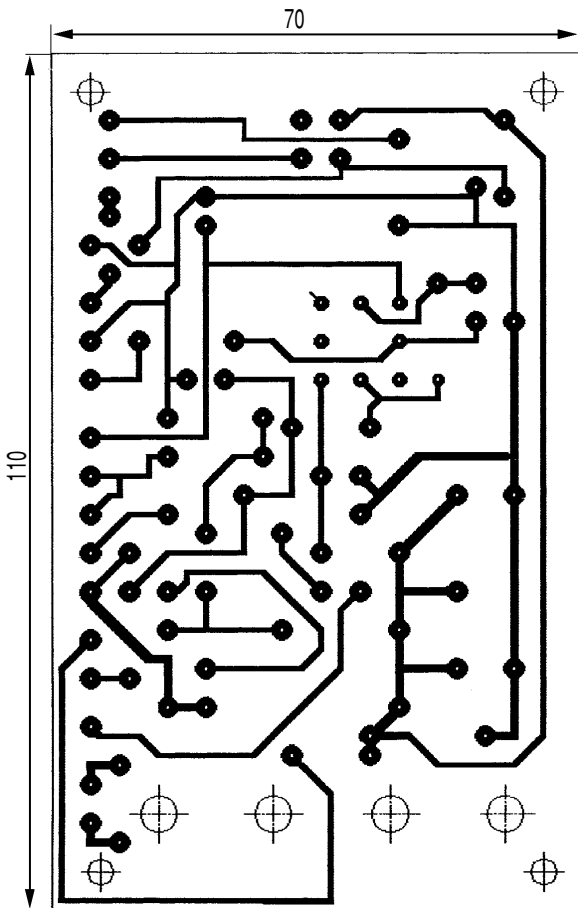


рис. 4

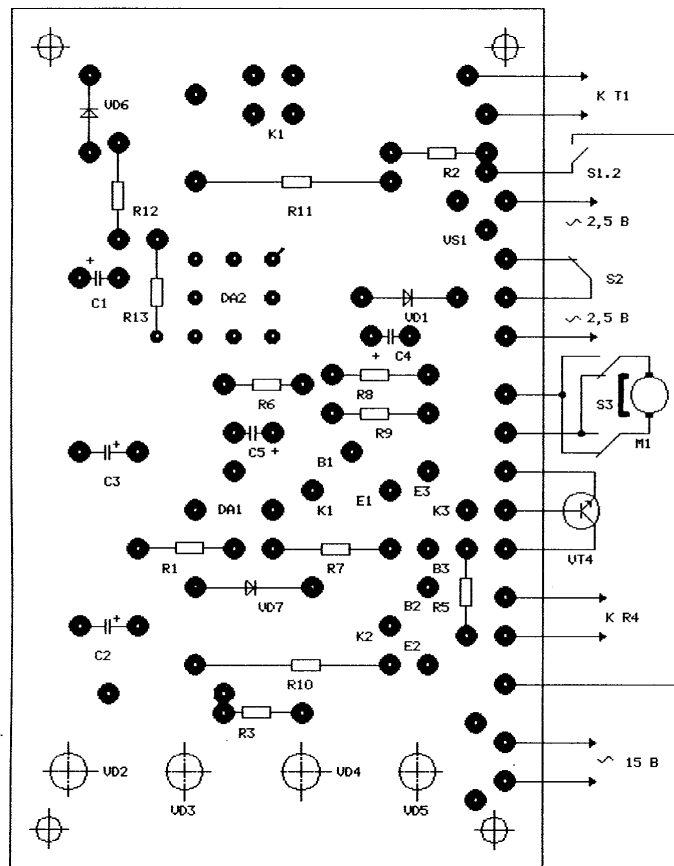


рис. 5

ляторам. В качестве параметра для регулирования частоты вращения выбрано напряжение на двигателе, а для компенсации нагрузочного момента измеряется падение напряжения на резисторе R11, которое пропорционально току двигателя, а следовательно, и нагрузочному моменту. Особенностью схемы регулятора является именно эффективная обратная связь по току двигателя.

Патрон для сверл закрепляют без проблем непосредственно на вал двигателя с  $\varnothing 8$  мм. Электродвигатель ПИК 6-25/3 имеет сопротивление якорной обмотки двигателя примерно 6 Ом, рассчитан на максимальное напряжение питания 30 В, при этом обеспечивает момент нагрузки на валу 0,11 Нм (1,1 кг·см). Такой момент для сверления печатных плат избыточен, поэтому в авторском варианте напряжение питания уменьшено примерно вдвое, что способствует увеличению долговечности коллектора и щеток двигателя.

Регулятор позволяет регулировать частоту вращения вала двигателя в диапазоне 50...1500 об/мин и поддерживать установленную частоту вращения при изменении механической нагрузки на вал в широких пределах. Регулятор ограничивает ток через двигатель на уровне 2 А, поэтому не боится короткого замыкания цепи якоря, а также полной остановки вала двигателя из-за перегрузки. Напряжение с двигателя через делитель R8, R9 подается на эмиттер транзистора VT1. Напряжение с датчика тока R11 усиливается операционным усилителем DA1 и с его выхода поступает на базу VT1.

Включение двигателя осуществляется нажатием кнопки S1 "Пуск". При этом включаются тиристор VS1 и реле K1, которое своими контактами K1.1 подключает силовой трансформатор T1 к сети. Для остановки двигателя следует нажать кнопку S2. В результате реле обесточивается и отключает трансформатор. Установка частоты вращения производит-

ся ручкой потенциометра R4. Изменение направления вращения вала двигателя осуществляют тумблером T3 (S3).

Для регулятора частоты вращения вала применен готовый силовой понижающий трансформатор типа ТПП. Переменное напряжение, поступающее с выводов 11 и 18 трансформатора на диодный мост, равно 15 В, а с выводов 19 и 22 равно 2,5 В.

Печатная плата регулятора частоты вращения вала, на которой размещено большинство радиоэлементов, приведена на рис.4, размещение радиоэлементов на ней изображено на рис.5. Диодный мост выпрямителя распаивают навесным монтажом. Транзисторы схемы работают в линейном режиме. Для транзистора T4 необходим радиатор площадью примерно 1000 см<sup>2</sup>.

**Детали.** В конструкции применены электролитические конденсаторы типа К50-35, резистор R4 типа ППЗ-43, реле K1 типа РЭС34, S3 - тумблер ТЗ. Реле K1, некорректно включенное с точки зрения коэффициентов нагрузки, работает давно и надежно.

Без каких-либо изменений в схеме регулятор частоты вращения можно применить для управления электродвигателями типа ДПР-72 и ДПР-62. Но следует иметь в виду, что максимально допустимые токи этих двигателей меньше 2 А.

**Наладка.** Регулятор частоты вращения настройки практически не требует, кроме проверки монтажа на соответствие принципиальной схеме. Проверка схемы ограничения тока через двигатель осуществляется следующим образом. Коллектор транзистора VT1 закорачивают на общий провод, к эмиттеру транзистора VT4 подключают амперметр постоянного тока на пределе измерения 5 А. Второй конец амперметра подсоединяют к общему проводу и включают кнопку "Пуск". Необходимый максимальный ток можно отрегулировать подбором сопротивления резистора R10.

# РЕМОНТ ЭЛЕКТРОННО-МЕХАНИЧЕСКИХ ЧАСОВ

В. Василенко, г. Свердловск, Луганская обл.

**В настоящее время выпускается множество моделей настенных электронно-механических кварцевых часов с шаговым двигателем. В них, как правило, используется бескорпусная интегральная микросхема - генератор/делитель с внешним кварцевым резонатором, залитая черным компаундом. Однажды она вышла из строя, другой такой найти не удалось, поэтому пришлось собирать ее аналог из дискретных компонентов.**

Чтобы понять принцип действия таких часов, рассмотрим их структурную схему (рис. 1). Задающий генератор генерирует частоту 32768 Гц, определяемую внешним кварцевым резонатором ВQ1. Обычно генератор содержит подстроечный элемент (конденсатор), посредством которого осуществляется точная настройка частоты. Точность хода часов определяется в конечном итоге погрешностью установки этой частоты. К примеру, абсолютная погрешность 0,1 Гц обеспечивает точность хода около 0,25 с в сутки. Сиг-

нал с выхода генератора подается на делитель частоты с коэффициентом деления  $2^{16}$ , поэтому на его выходе имеется сигнал с частотой 0,5 Гц. Сигнал с выхода делителя поступает на выходной каскад, который управляет исполнительным устройством (шаговым двигателем). Выходной каскад представляет собой мостовую схему из четырех ключей, посредством которой периодически изменяется направление протекания тока через обмотку шагового двигателя. Чтобы передвинуть вал шагового двигателя, двигающего секундную стрелку, на одну позицию, необходимо подать в его обмотку импульс одной полярности, затем - другой, т.е. чтобы по обмотке протекал ток сначала от начала к концу обмотки, а потом - от конца к началу. Направление магнитного потока в магнитопроводе двигателя меняется на противоположное, и этот перепад, взаимодействуя с магнитным полем постоянного магнита ротора, передвигает последний на одну позицию. Далее процесс периодически повторяется.

Задающий генератор и делитель можно выполнить различными способами. Принципиальная схема электронных часов с генератором и делителем на микросхемах серии 564 изображена на рис. 2. Задающий генератор собран на элементах DD1.1, R1, R2, C1, C2, ВQ1 по традиционной схеме на основе КМОП-инвертора, охваченного обратной связью. Кварцевый резонатор ВQ1 имеет частоту 32768 Гц. Через буферный элемент DD1.2 опорный сигнал поступает на тактовый вход счетчика DD2 (ИМС типа 564IE10, содержащая два четырехразрядных счетчика). На схеме счетчики включены каскадно, т.е. сигнал с выхода первого счетчика поступает на вход второго и т.д., следовательно, общий коэффициент деления составляет величину  $2^{16}$ . Прямой и инверсный сигналы с выхода инвертора DD1.3 через токоограничительные резисторы R3, R4 поступают на выходной каскад, собранный на транзисторах VT1-VT4.

Пусть в определенный момент времени в точке А схемы присутствует уровень лог."1", а в точке В - лог."0". При этом открыты транзисторы VT1, VT2, и ток протекает от левого (по схеме) к правому концу обмотки L1 шагового двигателя. В следующий момент в точке А присутствует уровень лог."0", в точке В - лог."1". При этом открыты транзисторы VT3, VT4, и направление тока меняется на противоположное. Резистор R5 ограничивает ток через обмотку, уменьшая ЭДС самоиндукции, конденсатор C3 - блокировочный.

Для питания часов используется сетевой источник напряжения +5 В (на схеме не показан). Можно использовать любой другой источник с напряжением 5...15 В, однако при повышенном напряжении питания возрастает ЭДС самоиндукции, наводимая в обмотке шагового двигателя, поэтому в этом случае необходимо параллельно ей включить двуханодный стабилитрон КС162, ограничивающий выбросы.

Генератор с делителем можно выполнить и на специализированных часовых микро-

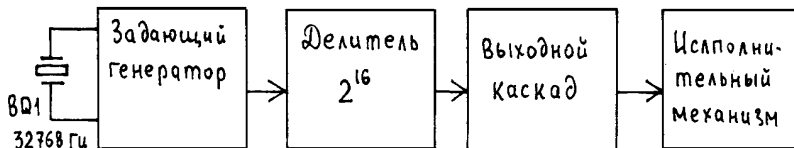


рис. 1

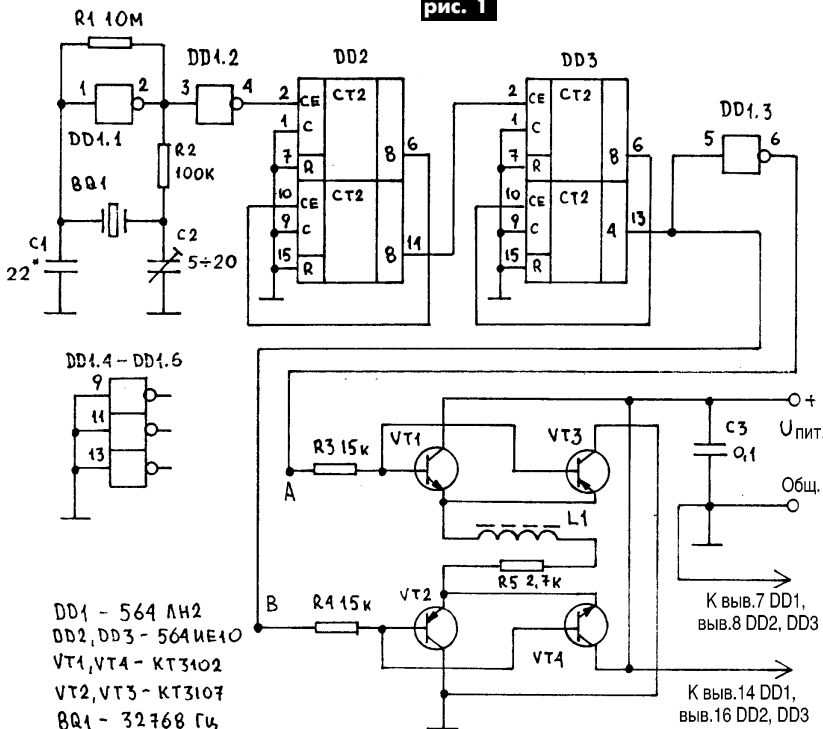


рис. 2

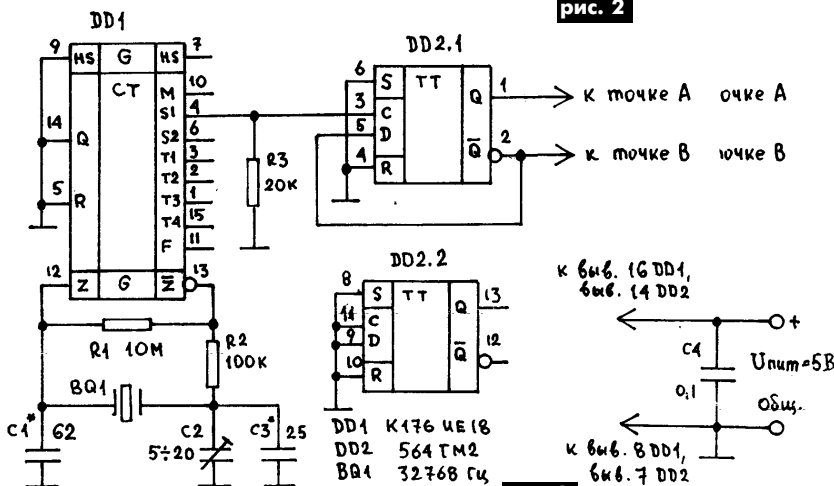
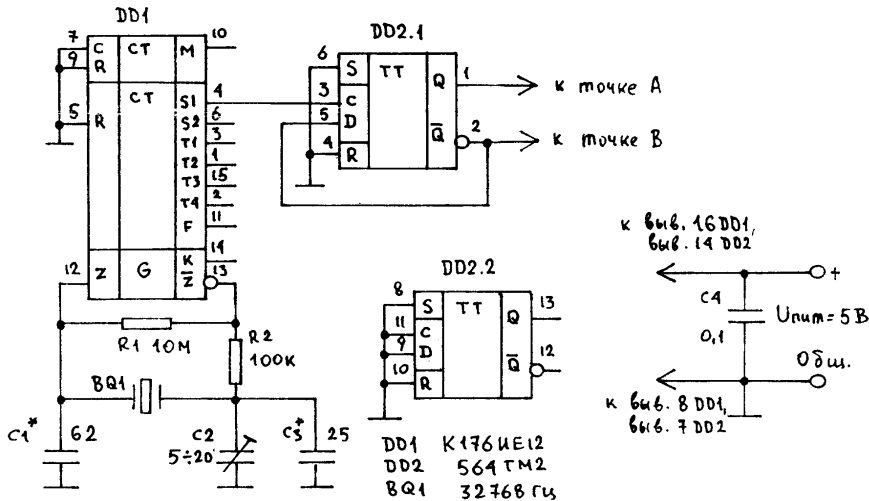


рис. 3



схемах типа K176IE12 и K176IE18 (см. рис.3 и 4). Эти микросхемы содержат генератор (выводы 12 и 13), который охвачен обратной связью с помощью резистора R1 и содержит элементы C1, C2, C3, R2, BQ1. Подстройка частоты осуществляется с помощью конденсатора C2. Выход генератора соединен внутри со входом делителя частоты. В микросхеме K176IE12 имеются два делителя частоты: первый имеет коэффициент деления 32768 (для получения, в частности, секундных импульсов), второй - коэффициент деления 60 (для получения минутных импульсов). В микросхеме K176IE18 оба делителя соединены каскадно (более подробно эти микросхемы описаны в [1]). На выходах S1

(вывод 4 обеих микросхем) присутствует сигнал с частотой 1 Гц, который подается на счетный вход триггера DD2.1, делящий частоту на два, следовательно, на его прямом и инверсном выходах присутствуют противофазные сигналы с частотой 0,5 Гц. Эти сигналы подаются на вход выходного каскада (точки А и В на рис.2).

В отличие от K176IE12 некоторые выводы K176IE18 (в том числе выход S1) выполнены по схеме с открытым стоком и предназначены для непосредственного управления сетками люминесцентных индикаторов. Поэтому в схеме на рис.3 выход S1 микросхемы K176IE18 соединен с общим проводом через резистор R3. Можно использовать часо-

вую микросхему K176IE5, которая в отличие от K176IE12 и K176IE18 содержит только делитель на 32768 [1].

Следует отметить, что генераторы в микросхемах серии 176 (в отличие от ИМС серии 564) ведут себя несколько "нервно": при малых значениях емкостей в цепях генератора он может возбудиться на более высокой (в несколько раз) частоте. При изменении питания, например, от 5 до 12 В иногда приходится заново подбирать емкости так же, как и при изменении типа кварцевого резонатора.

**Детали.** В устройстве использованы интегральные микросхемы серии 176, которые можно заменить ИМС серии 176 или серии K561 (однако при этом увеличатся габариты печатной платы). Транзисторы КТ3102 (VT1, VT4), КТ3107 (VT2, VT3) с любым буквенным индексом можно заменить КТ315 и КТ361 соответственно. Блокировочные конденсаторы типа КМ-5, КМ-6; резисторы типа С2-22-0,125 или аналогичные; кварцевый резонатор с частотой 32768 Гц. Резонатор с такой частотой используется, в частности, в некоторых моделях кнопочных манипуляторов "мышь".

Процедуру установки опорной частоты, по возможности, следует выполнить с помощью электронно-счетного частотомера.

#### Литература

1. Бирюков С.А. Применение цифровых микросхем серий ТТЛ и КМОП. - М.: ДМК, 1999.

<http://www.symmetron.com.ua>

> On-line & OFF-line заказ продукции со скидкой

> техническая документация

> форум

Вся информация, помещенная на сайте собрана с заботой о Вас, Вашем времени и Вашем удобстве.

Надеемся, что в этом Новом году, Вы оцените удобство On-line и OFF-line заказа и продукции, ведь только с Вашей помощью и для Вас эти проекты получат свое дальнейшее развитие!

Нам приятно слышать Ваши отзывы, общаться с Вами, так пусть наше сотрудничество будет еще более приятным!

электронные компоненты  
**Симметрон-Украина**

# Оптоприаки

Оптоэлектронные приборы состоят из светоизлучателя и фотоприемника и служат для гальванической развязки между входом и выходом, обеспечивая бесконтактное управление нагрузкой. Парамет-

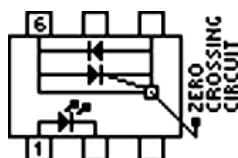


рис. 1

Тип	$I_{\text{вх max}}$ запуска при $V_D=3$ В, мА	Напряжение изоляции, кВ	$I_{\text{max}}$ постоянный, мА	$I_{\text{вых max}}$ пиковый, мА	$U_{\text{min}}$ пиковое запирания, В
H11J1	10	7,3	60	100	250
H11J2	15	7,3	60	100	250
H11J3	10	7,3	60	100	250
H11J4	15	7,3	60	100	250
H11J5	25	7,3	60	100	250
IS3020	30	7,3	60	100	400
IS3021	15	7,3	60	100	400
IS6003	3	7,3	60	100	600
IS6005	5	7,3	60	100	600
IS6010	10	7,3	60	100	600
IS6015	15	7,3	60	100	600
IS6030	30	7,3	60	100	600
MOC3009	30	7,3	60	100	250
MOC3010	15	7,3	60	100	250
MOC3011	10	7,3	60	100	250
MOC3012	5	7,3	60	100	250
MOC3020	30	7,3	60	100	400
MOC3021	15	7,3	60	100	400
MOC3022	10	7,3	60	100	400
MOC3023	5	7,3	60	100	400
MOC3061	15	7,5	-	-	400
MOC3062	10	7,5	-	-	400
MOC3063	5	7,5	-	-	400
IS607	10	7,3	60	100	450
IS608	7	7,3	60	100	450

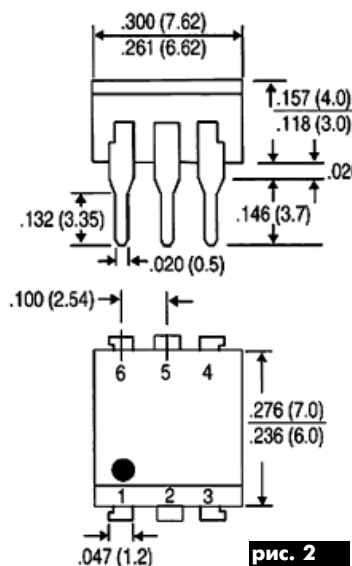


рис. 2

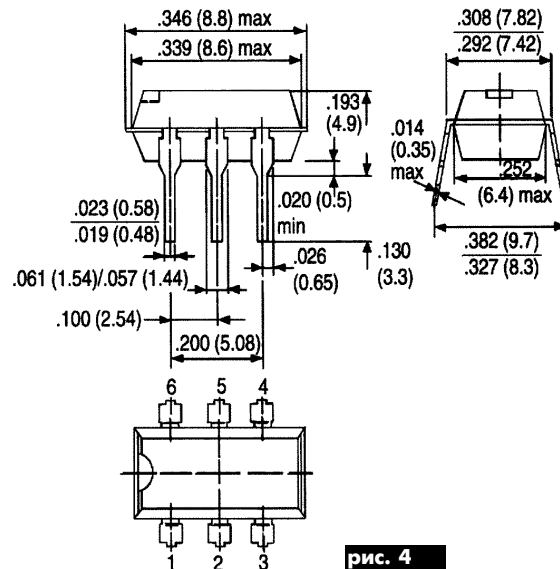
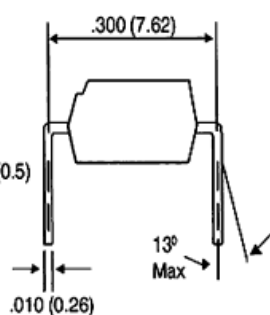


рис. 4

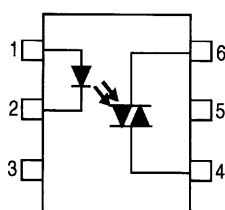


рис. 3

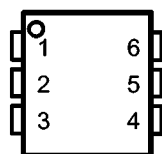


рис. 5

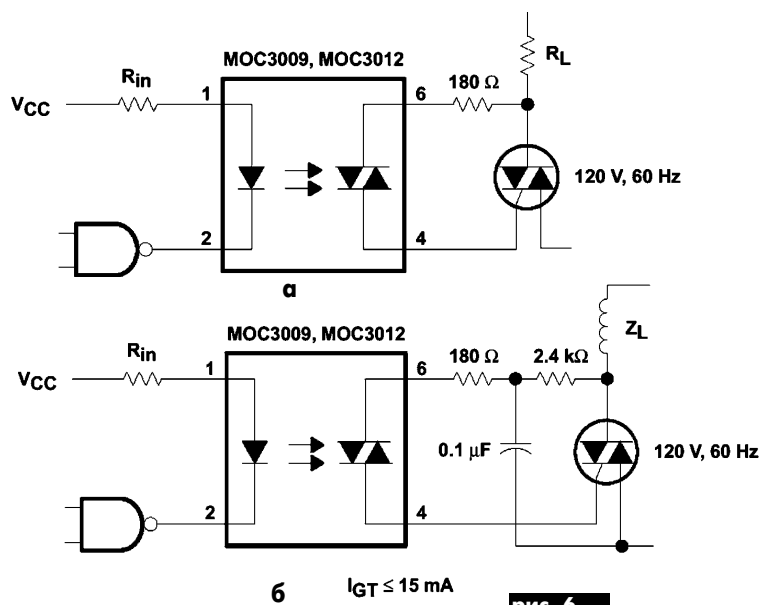
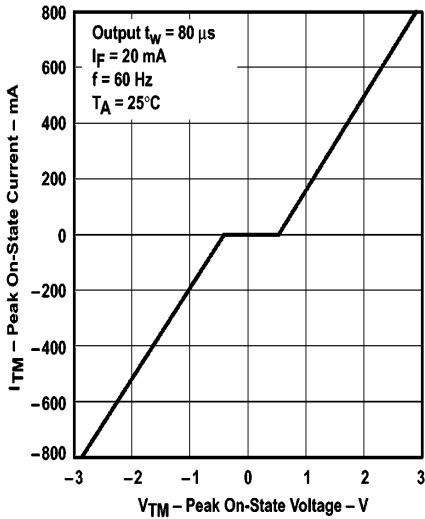
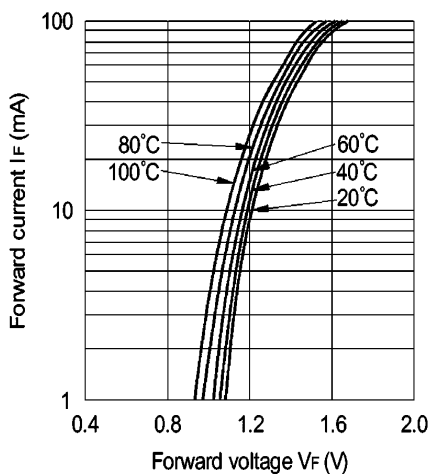


рис. 6

# Транзисторы, применяемые в строчной развертке видеомониторов



а



б

рис. 7

ры симисторных оптронов (оптотриакков) приведены в **таблице**. Симисторные оптопары типа МОС3061-МОС3063 работают в режиме ZSC (включение симистора в момент перехода сетевого напряжения через ноль).

Устройства оформлены в пластмассовых корпусах типа DIP-6: на **рис. 1** представлена внутренняя структура оптотриакков типа МОС3061-МОС3063, на **рис. 2** - внешний вид их корпусов. Остальные типы оптопар (см. таблицу) представлены на **рис. 3, 4**, цоколевка выводов - на **рис. 5**.

Схемы включения триакков с резистивной и индуктивной нагрузкой приведены соответственно на **рис. 6, а, б**. На **рис. 7, а** приведены ВАХ для оптопар типа МОС3009-МОС3012, на **рис. 7, б** - для МОС3061-МОС3063.

Тип транзистора	Укб/Укэ, В	Ik, А	P, Вт	Возможные замены
2SC1875	1400/500	3,5	50	BU208, BU209, BU508A, 2SD819, 2SD850
2SC1891	1200/400	1,5	50	BU204, BU205, BU206, BU705, 2SC1922, 2SD818
2SC1892	1500/500	2,5	50	BU205, BU206, BU705, 2SC1922, 2SD818
2SC1893	1500/500	3,5	50	BU208, BU209, BU508A, 2SD819, 2SD850
2SC1894	1500/600	5,0	50	BU208A, BU508A, 2SC2928, 2SD820
2SC1895	1500/600	6,0	50	BU908, BU508, 2SD649, 2SD821
2SC1896	1500/600	7,0	50	BU508, BU908, 2SD822, 2SD1016
2SC1922	1500/800	2,5	50	BU205, BU206, BU705, 2SD575, 2SD818
2SC1942	1500/800	3,0	50	BU208, BU209, BU705(A), 2SD819, 2SD850
2SC2123	1000/400	12	50	(BU626, 2SD1094, 2SD1279)
2SC2124	2200/800	2,0	-	BU225, BU209A, BU508A, 2SD850
2SC2125	2200/800	5,0	-	-
2SC3023	1500	3,0	50	BU208, BU209A, BU508A, 2SD850
2SC3024	1700	3,0	50	BU209, 2SD784, 2SSD785
2SC3025	1500	6,0	50	BU208(A), BU508(A), 2SD649, 2SD821
2SC3026	1700	6,0	50	-
2SC3027	1500	8,0	50	BU508, BU908
2SC3028	1700	8,0	50	-
2SC3479	1500	2,5	80	BU508D, 2SD1290, 2SD1291
2SC3480	1500	3,5	-	BU508D, BU706D
2SC3481	1500	5,0	120	2SC3681, 2SC4291, 2SC4292
2SC3482	1500	6,0	120	2SC3681, 2SC4292
2SC3483	1500	2,5	80	BU508A, BU705, 2SD1493, 2SD1494*
2SC3484	1500	5,0	80	(BU508A, BU706, 2SC3484, 2SD495)
2SC3485	1500/800	5,0	120	2SC3685 (BU508(A), 2SD1496, 2SD1497)
2SC3486	1500/800	6,0	120	2SC3685, 2SC3686, BU508, 2SD1496, 2SD1497
2SC3642	1200/800	6,0	100	-
2SC3643	1200/800	8,0	140	-
2SC3644	1200/800	12,0	150	-
2SC3683	1500/800	8,0	150	-
2SC3684	1500/800	10,0	150	-
2SC3684	1500/800	6,0	120	2SC3486 (BU508A, BU706, BU908)
2SC3686	1500/800	7,0	120	BU508, BU908
2SC3687	1500/800	8,0	150	-
2SC3688	1500/800	10,0	150	-
2SC3715	1500/600	4,0	50	BU508DF, 2SC4293, 2SC4294, 2SD1555, 2SD1556*
2SC3716	1500/600	5,0	50	BU508AF, 2SD1545, 2SD1546, 2SSD1655, 2SD1656*
2SC3719	1200/800	5,0	150	-
2SC3720	1200/800	10	200	-
2SC3883	1500/800	5,0	50	BU508D, BU706D, 2SC3481, 2SC4291*
2SC3884	1400/600	6,0	50	2SC3894 (BU508AF, 2SD1546, 2SD1656)
2SC3885	1400/600	7,0	50	2SC3895 (BU508AF, 2SD1547)
2SC3886	1400/600	8,0	50	2SC3896 (BU508AF)
2SC3888	1400/600	7,0	80	2SC3886 (BU508A, BU908, 2SD1498)
2SC3889	1400/600	7,0	80	2SC3687 (BU508, BU908, 2SD1498)
2SC3891 = 2SC3884 диод к-э 2SC4122, 2SC4294 (BU508DF)				
2SC3892 = 2SC3885 диод к-э 2SC4123 (BU508DF)				
2SC3893 = 2SC3886 диод к-э 2SC4124 (BU508DF)				
2SC3894	1500/800	6,0	60	(BU508AF)
2SC3895	1500/800	7,0	60	(BU508AF)
2SC3896	1500/800	8,0	70	(BU508AF)
2SC3897	1500/800	10,0	70	-
2SC3995	1500/800	12,0	180	-
2SC3996	1500/800	15,0	180	-
2SC3997	1500/800	20,0	250	-
2SC3998	1500/800	25,0	250	-
2SC4122	1500/800	6,0	60	2SC4294 (BU508DF, 2SD1556, 2SD1652)
2SC4123	1500/800	7,0	60	(BU508DF)
2SC4124	1500/800	8,0	70	(BU508DF)
2SC4126	1500/800	10,0	70	(2SC3684)
2SC4142	1500/800	5,0	50	BU508AF, 2SD1545, 2SD1546, 2SD1655, 2SD1656*
2SC4143	1500/800	5,0	50	BU508AF, 2SD1545, 2SD1546, 2SD1655, 2SD1656*
2SC4144	1300/500	8,0	50	BU508AF, BU908F, 2SD1548
2SC4435	1500/800	5,0	100	2SC3485, 2SC3486, 2SC3685 (BU508A)
2SC4436	1500/800	6,0	100	2SC3486, 2SC3685, 2SC3686 (BU508A)
2SC4437 = 2SC4435 50W 2SC3894 (BU508AR, 2SD1655, 2SD1656)				
2SC4438 = 2SC4435 50W 2SC3894 (BU508AF, 2SC4143, 2SD1656)				

Примечание: в скобках указаны нежелательные замены, а \* отмечены наиболее приемлемые.

Имеется более простое решение, не уступающее по качеству японскому, но содержащее значительно меньшее количество элементов. Буферную микросхему можно заменить "антизвонными" резисторами R1, R2 (рис.16). Номиналы резисторов 100...390 Ом. Переключатель SA1 позволяет менять режимы: "Т" (телевизор) или "М" (монитор). В первом случае активен разъем CN602a, во втором - XS2. Клипкерный соединитель XS1 служит для подключения активных внешних колонок, усилителя или стереонаушников (правда, звук в них не очень громкий).

Конструктивно на задней панели корпуса DC устанавливаются три новых элемента (см. фото в заголовке): гнездо XS1 под штекер диаметром 3,5 мм, розетка XS2 DHS-15F для подключения кабеля от VGA-монитора и переключатель режимов SA1. Все элементы крепятся к корпусу винтами и гайками. Монтаж ведется тонким проводом МГТФ-0,12 прямо на контактные площадки процессорной платы, соединенные с выводами разъема "AV OUT". Для переброса жгута проводов с нижней части процессорной платы на верхнюю используется одно из крепежных отверстий в экране. Установка дополнительных печатных плат не требуется.

В качестве переключателя SA1 красиво смотрится зарубежный микротумблер серии SS-309 с красной пластиковой насадкой на ручке. Тумблеры больших размеров физически не помещаются внутри корпуса. Розетка XS2 должна быть рассчитана на пайку под кабель. Допускается ее замена розеткой DHR-15F от видеокарт IBM PC с угловыми контактами, но тогда придется укоротить длину пластмассового корпуса на 5 мм.

Перед первым включением следует внимательно проверить монтаж, особенно правильность распайки розетки XS2. Нумерация ее контактов обычно выгравирована мелким шрифтом, как с лицевой, так и с тыльной стороны разъема.

Золотое правило осторожности учит не расстыковывать кабель, соединяющий DC и монитор или компьютер и монитор, при поданном напряжении питания. В девяти случаях из десяти ничего страшного не произойдет, но... Если неприятность все же случилась, то не следует сразу опускать руки, вероятнее всего вышли из строя защитные диоды внутри монитора (рис.15) или

стабилитроны внутри DC (рис.2).

**Порядок работы.** В нижнем (разомкнутом) положении переключателя SA1 на контактах 6 и 7 разъема CN602a присутствуют высокие логические уровни, DC работает в штатном режиме и к ней можно подключать телевизор по обычным схемам.

В верхнем (замкнутом) положении переключателя SA1 происходит переход в режим VGA, причем это можно делать без выключения питания DC. Последнее обстоятельство весьма важно для работы с нестандартными дисками. Оказывается, не все игры нормально запускаются в режиме VGA. Определить их легко по характерной надписи, появляющейся на экране монитора в самом начале загрузки: "This game doesn't support the AV-cable, that is currently connected to the main console", что означает факт обнаружения нестандартно включенного AV-кабеля (контакты 6, 7 разъема "AV OUT" соединены с общим проводом).

Однако существует несложный обходной маневр, который позволяет запускать эти диски в режиме VGA-монитора.

**Последовательность действий.** Выключить питание DC, перевести переключатель SA1 в положение "Телевизор", отстыковать от разъема "AV OUT" кабель ВЧ-модулятора, пристыковать к розетке XS2 "VGA" кабель от монитора, включить монитор.

Вставить в гнездо XS1 "STEREO" штекер от наушников или активных колонок,

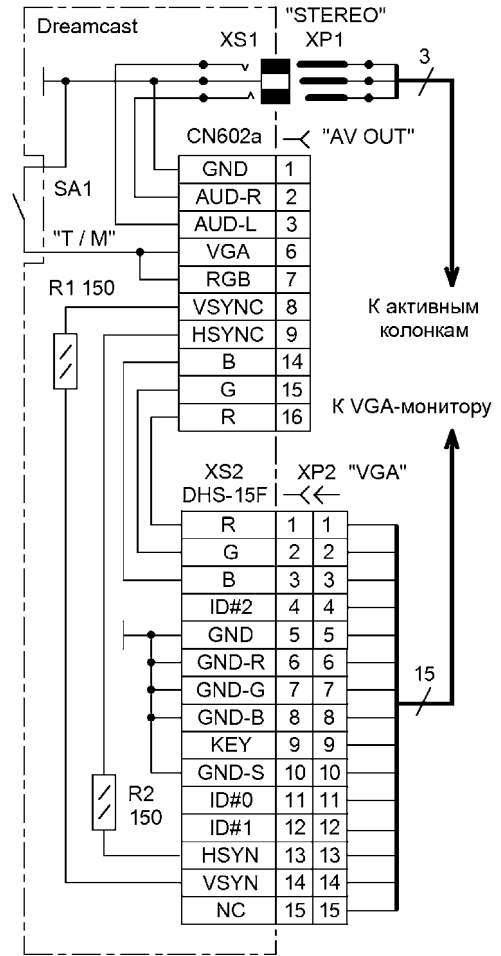
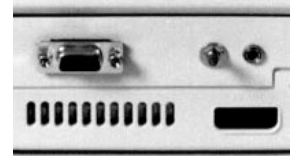


рис. 16



рис. 17

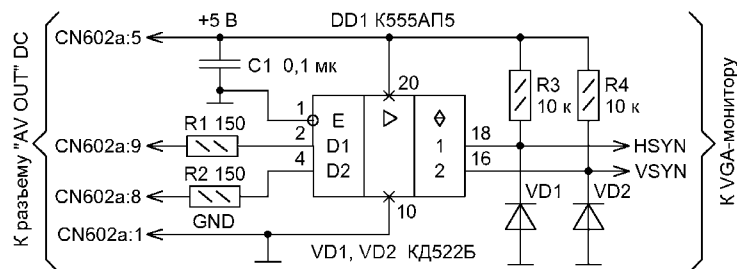


рис. 18



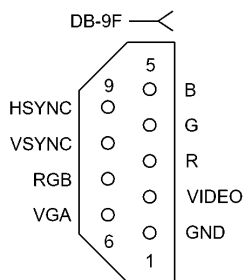


рис. 19

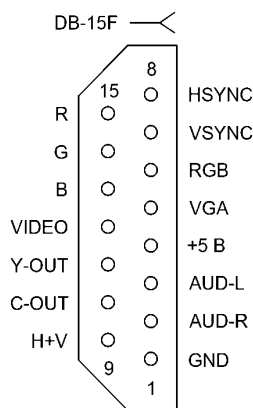


рис. 20

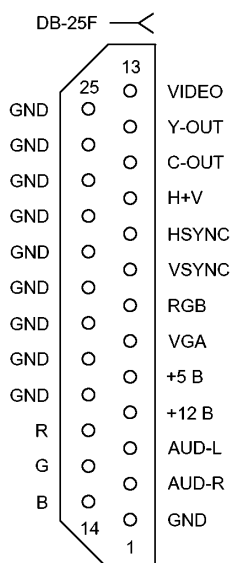


рис. 21

включить последние. Открыть крышку доступа к диску, вставить диск с "не идущей" игрой, закрыть крышку, включить питание DC. Прислушаться вступительный музыкальный сэмпл фирменной заставки DC (в это время экран монитора будет темным). По окончании последнего звука сэмпла сразу же перевести переключатель SA1 в положение "Монитор". Далее произойдет обычная загрузка игры с диска, а экран монитора засветится через время, необходимое для разогрева накала его кинескопа.

Желательно придерживаться именно такой последовательности действий. Например, если сначала подать питание на DC, а затем закрыть крышку доступа к диску, то начальная музыкальная заставка не прозвучит, и пользователю не по чем будет ориентироваться во времени когда переключать SA1.

В предлагаемых действиях нет никакого шаманства. Физически происходит следующее. После включения питания игровой приставки активизируется программа инициализации, зашитая во внутреннем ПЗУ DC (по аналогии с BIOS в IBM PC). Программа опрашивает порт, на который поступают сигналы с контактов 6 и 7 разъема "AV OUT". В зависимости от их состояния устанавливается тот или иной режим работы видеопроцессора DC.

Далее происходит загрузка начального блока игровой программы с диска и на нее передается управление. Игровая программа вторично опрашивает порт и выносит окончательное решение: продолжать загрузку дальше или вывести на экран сообщение об ошибке.

Поскольку опрос порта происходит не постоянно, а только в отдельно взятые моменты времени, то появляется возможность "перехитрить" программу, подставляя ей необходимые данные переключателем SA1.

Чем вызвано наличие нестандартных игр? Однозначного ответа нет. Возможно, из-за искажения некоторых видеоэффектов на экране монитора, из-за изменения геометрических пропорций, из-за нестандартных приемов программирования, из-за желания авторов игры получить финансовую поддержку на модернизацию... Тем не менее, все протестированные нестандартные игры нормально работают с монитором, на глаз заметных искажений не видно.

## Альтернативные способы подключения DC к монитору.

Если у пользователя имеется конвертор формата NTSC/PAL-VGA ("Convertor NTSC/PAL to VGA"), то легко осуществить его подключение к DC и монитору без каких-либо конструктивных доработок. Схема самодельного конвертора приведена в [5], фирменные имеются в продаже и подходят они не только к DC, но и к другим игровым приставкам - "PlayStation", "Sega Mega Drive" и даже "Dendy". Многоступенчатое преобразование форматов приводит к отрицательным последствиям, а именно: качество изображения на экране монитора будет все-таки "телевизионным", хотя и чуть улучшенным.

Имеется способ исправить положение, применяя фирменный преобразователь "VGA-Vox" производства SEGA. Он входит в состав официального перечня аксессуаров DC. Аналогичные устройства выпускают многие фирмы Юго-Восточной Азии (рис.17), наиболее известные из них "Madness", "Interact", "Performance". Отличаются они между собой большей или меньшей степенью сервиса и, разумеется, ценой. Например, VGA-Vox от "Performance" чуть дороже. Он имеет возможность коммутации сигналов монитора к игровой приставке и к персональному компьютеру без физической расстыковки разъемов.

Эксплуатационные возможности VGA-Vox соответствуют схеме, изображенной на рис.16, правда, по стоимости превосходя последнюю на \$20-50. Что полезного можно заимствовать из схемотехники VGA-адаптеров, так это буферные формирователи синхросигналов (рис.18), которые могут пригодиться при нестандартной схеме входной части монитора. Вместо мощных драйверов микросхемы DD1 хорошо работают самые простые логические элементы K155ЛИ1, K555ЛИ1.

И в завершение хотелось бы остановиться на вопросе об унификации. Хорошо бы иметь единый стандарт подключения DC к монитору с использованием популярных и доступных типов разъемов. В качестве образца на рис.19-21 показаны предлагаемые варианты распиайки унифицированных розеток серии DB, которые широко применяются в IBM PC.

### Литература

1. Рюмик С. Подключение VGA-монитора к PLAYSTATION//Радиоаматор. -2002. - №5. - С.35-37.

## Возвращаясь к напечатанному

1. В статье А.Ф. Бубнова "Источники тока - что это?" (РА 2/2002, с.36) автор недостаточно четко обосновал необходимость выбора сопротивления нагрузки по величине, значительно большей, чем внутреннее сопротивление источника. Автор уточняет: поскольку внутреннее сопротивление источника образует вместе с сопротивлением нагрузки делитель напряжения, то, во избежание потери напряжения внутри источника, необходи-

мо выбирать  $R_n$  значительно больше, чем  $R$  (общепринято внутреннее сопротивление источника обозначать как  $r_0$ ). Так как  $U_n = E - U_r$ , где  $U_n$  - падение напряжения на нагрузке;  $E$  - электродвижущая сила источника;  $r$  - внутреннее сопротивление источника;  $U_r$  - падение напряжения внутри источника, то необходимо выбирать  $R_n \gg r$ . Далее по тексту, где  $r$  обозначено как  $R$  (см. рис.1 в статье).

2. Автор статьи "Измерение величины электроемкости конденсаторов значительной величины с оксидным диэлектриком" Мирошниченко В.Т. (РА 10/2002, с.38) уточняет: в средней колонке в строках 3 и 9 снизу должно быть  $\exp(-t/\tau)$ .

# Sprint-Layout 3.0R - простая программа для разводки печатных плат

И.Б. Безверхний, г. Киев

(Окончание. Начало см. РА 12/2002)

После всех предыдущих манипуляций внизу под рабочим полем в строке **Активн.\*** выделены черным **P1** и красным **M1**, остальные символы в этой строке слабоконтрастные, что говорит о том, что слои **P2** и **M2** не активны. Это значит, что на рабочем поле черным изображен именно слой **P1** (печатные проводники), а красным - **M1** (корпуса и обозначения элементов). В строке **Показ\*** точка стоит под **M1**, что говорит о том, что этот слой активен и рисование и другие операции мы производим именно в этом слое. А теперь немного поэкспериментируем. Если щелкнуть мышью по **P1** в строке **Активн.\*** или нажать на клавиатуре **F5**, слой **P1** выключится, печатные проводники исчезнут. На рабочем поле останутся только элементы слоя **M1**. Для полностью разработанной печатной платы это будет расположение деталей. Для того чтобы увидеть только печатные проводники, необходимо последовательно нажать клавиши **F1** и **F6** или щелкнуть левой кнопкой мыши сначала по первому кружку строки **Показ**, а затем щелкнуть по **M1** в строке **Активн.** Чтобы увидеть опять оба слоя, повторно щелкнем по

\* - в русской версии программы перепутаны названия строк **Показ** и **Активн.** (рис.4). Верхняя строка должна называться **Показ** (**sichtbar** в немецкой версии программы, **visible** в английской версии), а нижняя строка **Активн.** (**aktiv** в немецкой версии программы и **active** в английской версии).

**M1** или нажмем **F6**. Теперь точка стоит в строке **Показ** под **P1**. Это значит, что активен слой **P1**. Точно так было в самом начале нашей работы (по умолчанию). Для получения успешного результата при освоении программы предлагаю совместно разработать простенькую печатную плату, например, адаптера программатора PonyProg 2000 для программирования микросхем памяти 25-й серии (рис.7).

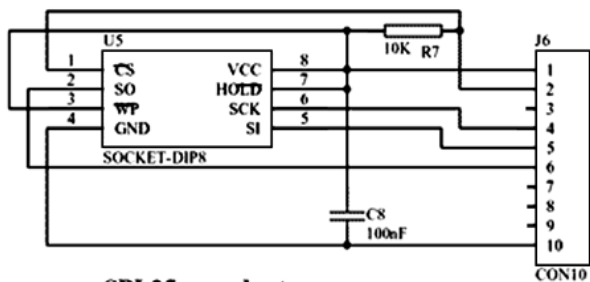
Для удобства установим сторону ячейки сетки рабочего поля равной 0,635 мм. Перетащим на рабочее поле чертежи всех необходимых деталей схемы: резистор длиной (вместе с выводами) 7,5 мм; конденсатор с расстоянием между выводами 5 мм; микросхему в корпусе DIP8 (точнее панельку под микросхему). Соответствующие линейные размеры деталей закодированы в названии файла (макроса). Например, R\_3.lmk обозначает, что это макрос резистора с расстоянием между выводами (длиной) в 3 клетки координатной сетки по умолчанию, т.е.  $3 \times 2,54 = 7,62$  мм. Поэтому необходимо поочередно найти, выделить и перетащить на рабочее поле следующие макросы: R\_3.lmk, C\_2.lmk и IC\_8.lmk. При необходимости чертеж любого элемента можно повернуть на угол, кратный 90°. Для этого нужно выделить этот элемент, щелкнув по нему левой кнопкой мыши, и восполь-

зоваться одним из трех способов: щелкнуть левой кнопкой мыши по кнопке (15) на **Панели стандартных инструментов**, выбрать команду **Поворот на 90 градусов** в меню **Правка чертежа** или нажать на клавиатуре комбинацию клавиш **Ctrl+R**.

Кроме того, нам необходимо создать установочное место для 10-контактного штыревого разъема, с помощью которого адаптер соединяется с базовой платой программатора. Проще всего это сделать, расставив 10 круглых "пятачков", как это делалось ранее (рис.6). Пользуясь принципиальной схемой, предыдущим опытом разработки печатных плат и изложенным выше, расставим детали. При этом на плате кроме деталей будет установлена одна перемычка.

Было бы очень удобно промаркировать детали в соответствии со схемой и на плате написать ее название и назначение. Рассмотрим, как это сделать.

**Надписи. Автономумерация**  
В **Наборе специальных инструментов** имеются два инструмента с одинаковым названием **Надпись**. Верхний из них позволяет использовать стандартный шрифт Windows, установленный по умолчанию и имеющий как ла-



SPI 25xxx adapter

рис. 7

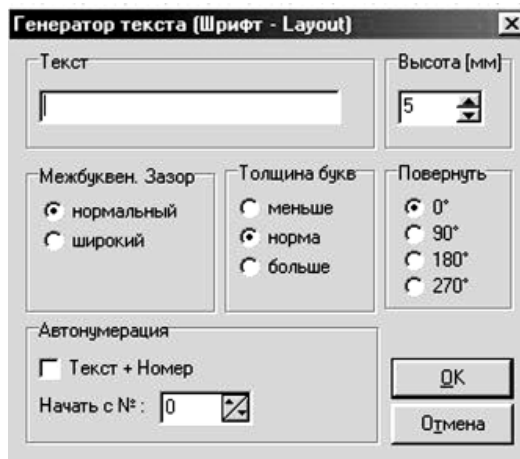


рис. 8

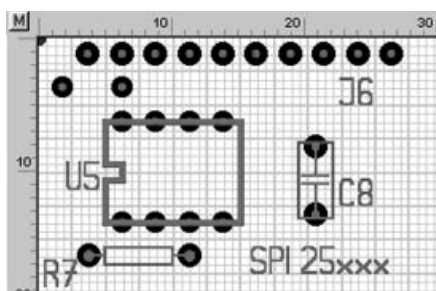


рис. 9

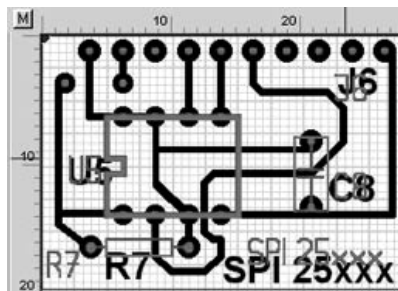


рис. 10

тинский, так и русский алфавит. Нижний использует шрифт, который генерируется программой Sprint-Layout. Этот шрифт имеет только латинский алфавит и выглядит несколько грубее, но имеет одно неоспоримое достоинство: его можно зеркально отображать, как любой иной элемент чертежа, но об этом позже. Подпишем на

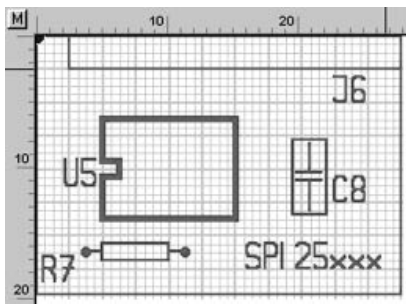


рис. 11

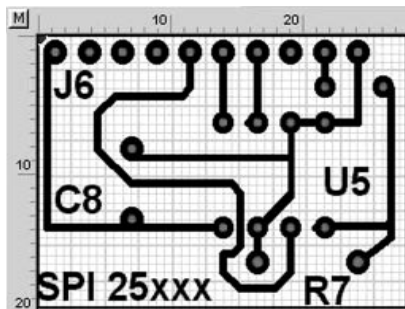


рис. 12

чертеже позиционные номера деталей схемы, используя собственный шрифт программы Sprint-Layout. Чтобы надписи не мешали разводить печатные проводники, сделаем это в слое **M1**, предварительно активизировав его нажатием клавиши **F2**. Выберем в **Наборе специальных инструментов** нижний инструмент **Надпись**. Откроется диалоговое окно **рис.8**. В окошке **Высота** выставим 2,2 мм (на мой взгляд, наиболее удобная высота шрифта). В окошке **Текст** наберем U5. Щелкнув мышью по кнопке ОК диалогового окна, войдем в режим установки надписей. Диалоговое окно закроется, и возле курсора мыши появится красная надпись "U5", перемещающаяся за курсором как привязанная. Подведем ее к соответствующему элементу и щелкнем левой кнопкой мыши. Надпись установится в выбранном месте, и вновь откроется диалоговое окно (рис.8). Ана-

логично подпишем остальные детали R7, C8, J6 и название платы SPI 25xxx. В результате получим промежуточный чертеж (**рис.9**), где расположение деталей показано со стороны этих самых проводников, а не со стороны печатных проводников. На первый взгляд это может показаться не совсем удобным, но далее мы увидим, что это не так.

Теперь, учитывая все вышеизложенное, можно приступать непосредственно к рисованию проводников печатной платы. Но предварительно хочу рассказать о такой полезной возможности, как автонумерация, которой удобно пользоваться, проставляя позиционные номера деталей, идущие по порядку (хотя в нашей схеме нет в этом никакой необходимости). Например, резисторы R1-R7. Для этого необходимо выбрать инструмент **Надпись** и в окошке **Текст** открывшегося диалогового окна (**рис.8**) набрать **R**. В квадратике

**Текст+Номер** поставим галочку, а в окошке **Начать с №:** вместо 0 (ноля) по умолчанию установим 1. Щелкнув мышью по кнопке ОК, войдем в режим установки позиционных номеров деталей с автонумерацией. Диалоговое окно закроется, и возле курсора мыши появится красная надпись "R1", перемещающаяся за курсором. Подведем ее к соответствующему месту и щелкнем левой кнопкой мыши. Позиционный номер R1 останется возле выбранного места, а за курсором будет "волочиться" надпись "R2". После ее установки можно проставить номера остальных резисторов. Для выхода из этого режима достаточно щелкнуть правой кнопкой мыши. Установка позиционных номеров других деталей производится аналогично и может быть начата с любого номера элемента.

**Разводка печатных проводников.** Клавишей **F1** активизируем слой **P1**. Выбираем инструмент **Проводник** из **Набора специальных инструментов** и в третьем снизу окошке устанавливаем толщину линий 0,6 мм. Подводим курсор мыши к левой верхней контактной площадке разъема J6 и щелкаем левой кнопкой мыши. При дальнейшем перемещении мыши за курсором будет тянуться черная линия-проводник от этой площадки по линиям сетки или по диагонали. Если проводник в какой-либо точке должен повернуть, то, доведя его до этой точки, надо щелкнуть левой кнопкой мыши и далее продолжить вести его до следующего поворота или контактной площадки. Если необходимо закончить вычерчивание проводника, то после щелчка левой кнопкой необходимо произвести щелчок правой кнопкой мыши. Аналогично вычерчиваются и остальные проводники платы. Если какой-то проводник проведен неверно, то его можно удалить тем же способом, каким удаляются любые иные элементы чертежа (см. выше).

Очень удобно, когда вместе с проводниками на плате вытравливаются позиционные номера деталей и другие вспомогательные надписи. Для этого необходимо сделать эти надписи в слое **P1**. Выберем в **Наборе специальных инструментов** верхний инструмент **Надпись**, использующий шрифт Windows. В открывшемся диалоговом окне сделаем те же установки, что и при изготовлении надписей в слое **M1** (см. выше). При выборе места для надписей в этом случае надо следить, чтобы они не закорачивали проводники. Совсем не обязательно чтобы надписи в слоях **P1** и **M1** совпадали по месту. Более того, при этой операции слой **M1** можно отключить, чтобы не мешал.

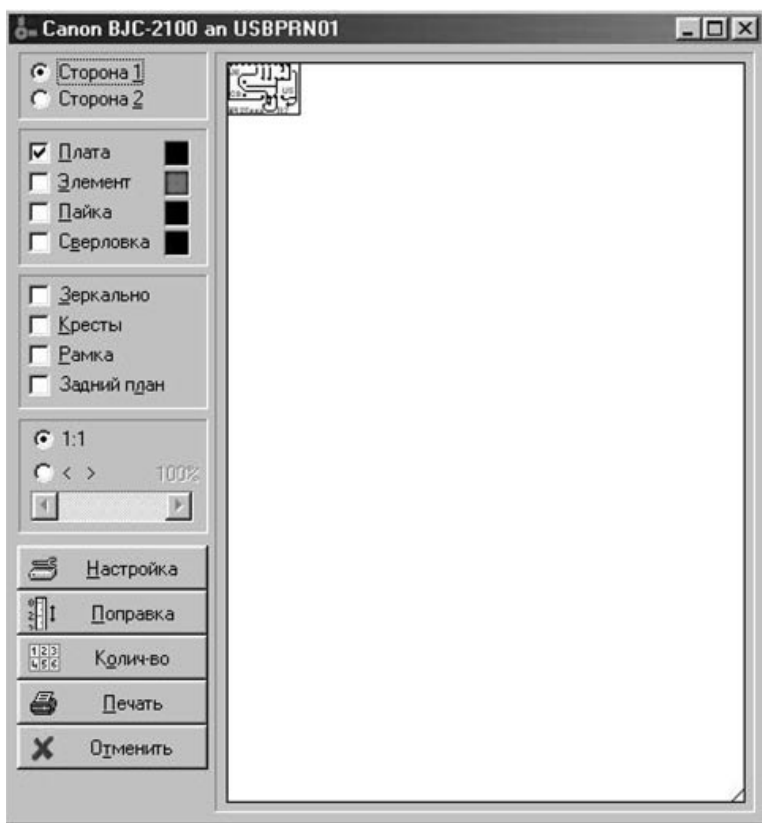


рис. 13



## Установка размеров платы

Все детали устройства уместились на плате размером 28x20 мм (рис.9). Выставим эти размеры на чертеже платы. Для этого щелкнем по кнопке-индикатору **Размер платы 160x100 мм** в **Информационной строке** или выберем строку **Установка размера** меню **Чертеж платы**. В открывшемся диалоговом окне установим необходимую ширину и высоту, а при желании поменяем название (закладку) чертежа платы и щелкнем в этом окне на кнопке **ОК**, чтобы закрыть его. На этом дальнейшую разработку платы можно закончить. Хотя, для того чтобы на рисунках для журнала были видны контуры платы, я обвел ее по периметру тонкой линией как в слое **P1**, так и в слое **M1**. Чертеж платы примет окончательный вид (рис.10). Этот чертеж необходимо сохранить, присвоив ему произвольное имя (способ сохранения стандартный). Если выбрать для показа в этом рисунке только слой M1, то получим чертеж расположения деталей (рис.11), а если выбрать слой P1, то получим чертеж печатных проводников в зеркальном отображении (рис.12). Чтобы получить этот чертеж в обычном виде, нужно выделить все элементы чертежа, набрав на клавиатуре **Ctrl+A**,

или выбрать строку **Выделить все** в меню **Действия**. Затем отобразим весь чертеж зеркально по горизонтали одним из трех способов: щелкнуть мышью по значку (14) на **Панели стандартных инструментов**; набрать на клавиатуре **Ctrl+N**; выбрать строку **Отобразить по горизонтали** в меню **Правка чертежа**.

Хочу обратить внимание читателя на то, что надписи, выполненные шрифтом Windows, зеркально не отображаются (рис.12), что, как видите, очень удобно. Хотя в некоторых случаях в результате зеркального преобразования (отображения) отдельные надписи могут заколотить дорожки. Каждую такую надпись необходимо выделить и немного сместить, устранив к.з.

**Печать чертежей.** А теперь вернемся к сохраненному чертежу рис.10. Для вхождения в режим печати и вывода на принтер чертежа необходимо щелкнуть левой кнопкой мыши по значку принтера на **Панели стандартных инструментов** или выбрать в меню **Файл** строку **Печать**. При этом откроется окно рис.13, где две верхние строчки позволяют выбрать одну из двух сторон печатной платы для последующего вывода на печать: если галочку установить только в квадратике **Плата**, то на печать будут выводиться печатные проводники и надписи, выполненные в слое этих проводников. Если галочку установить только в квадратике **Элемент**, то

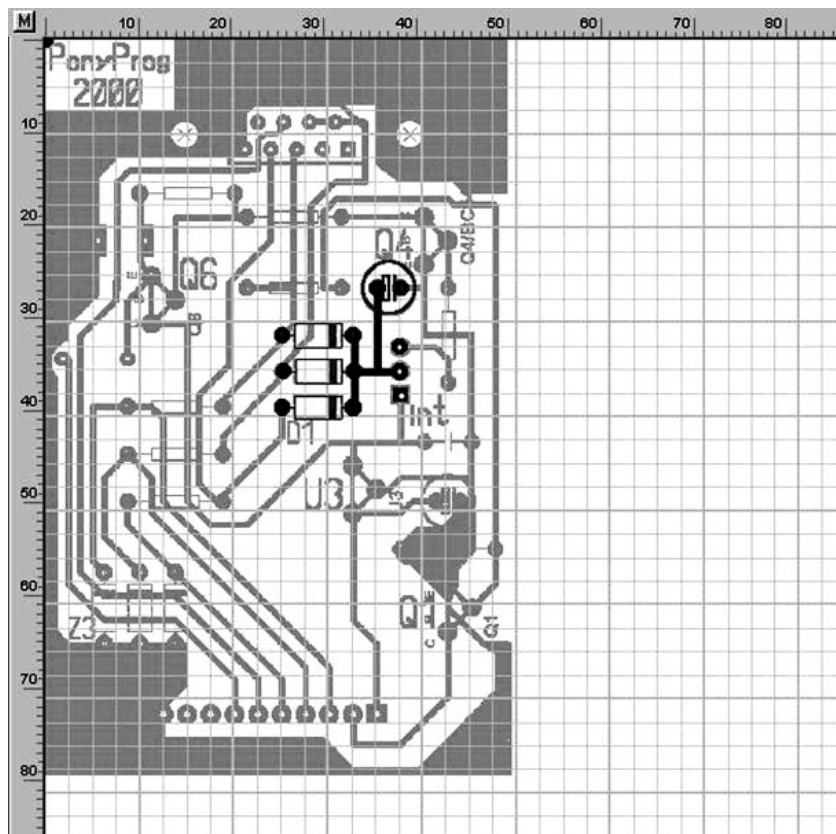


рис. 14

на печать будет выводиться расположение деталей. Активация строк **Пайка** и **Сверловка** необходима для распечатки чертежей соответствующих шаблонов. Галочка в квадратике **Зеркально** обеспечит при печати зеркальное преобразование чертежа. При установке галочки в квадрат **Кресты** в углах чертежа платы будут печататься реперные кресты. При установке галочки в квадрат **Рамка** по периметру чертежа платы будет печататься рамка. Щелчок мышью по кнопке **Настройка** вызовет стандартное окно настройки принтера.

А теперь сделаем пробный отпечаток чертежа печатной платы или расположения деталей. Для этого щелкнем мышью по кнопке **Печать**. После чего измерим размеры платы на полученном отпечатке. Если они совпадают с расчетными, то дополнительной настройки не требуется. Если размеры платы на отпечатке не совпадают с расчетными, то необходимо рассчитать и ввести коэффициент масштабирования в %:

$$n = (l_{\text{отп}} / l) 100\%$$

где  $n$  - коэффициент масштабирования;  $l_{\text{отп}}$  - длина платы на отпечатке, мм;  $l$  - расчетная длина платы, мм.

Далее с помощью мыши необходимо установить точку в кружке, обозначенном как  $<$ , и с помощью линейки прокрутки выставить расчетное значение коэффициента масштабирования. После этого нужно повторно выполнить пе-

чать и измерив длину платы на нем убедиться в правильности расчетов. С помощью масштабирования, выставив нужный коэффициент, при печати можно получить увеличенные или уменьшенные чертежи.

Некоторые принтеры могут исказить вертикальные и горизонтальные размеры отпечатка не одинаково. Для их коррекции используется окно, которое открывается щелчком мыши на кнопке **Поправка**, где устанавливаются значения горизонтальной и вертикальной поправки. Они рассчитываются приблизительно также, как и расчет коэффициента масштабирования. Если платы небольшие и на одном листе необходимо напечатать несколько чертежей, то нужно щелкнуть мышью по кнопке **Количество** и в открывшемся окне выставить количество чертежей (страниц) по горизонтали и вертикали, а также величину зазора между ними. После этого можно произвести печать.

## Некоторые дополнительные возможности программы

Весьма полезны инструменты **Закраска** и **Мн.Гранник** (надо полагать - многогранник) из **Набора специальных инструментов**. Активируются эти инструменты, как и остальные, щелчком мыши по соответствующей кнопке **Набора**. Внешне **Закраска** работает так же, как **Проводник**, но после того как вычерчена замкнутая линия, после щелчка правой или левой кнопкой

мыши, внутренняя часть рабочего поля, ограниченная этой замкнутой линией, окрасится в черный цвет на слоях **P1**, **P2** и в красный цвет на слоях **M1** и **M2**.

При активации инструмента **Мн.Гранник** открывается меню **Генератор Многогранников**, в котором необходимо выставить параметры (количество углов, радиус, толщина линии и смещение). Если многогранник внутри должен быть закраснен, то необходимо установить галочку в квадратик **Закрасить**. После щелчка мышью на кнопку **ОК**, установка многогранников ничем не отличается от установки патчков.

Инструмент **Перемычки** из того же **Набора** позволяет устанавливать на чертеже навесные перемычки (цвет перемычек - синий). Раздел **Помощь** программы предлагает перед разводкой печатных проводников соединить элементы перемычками, а затем, начертив печатные проводники, щелкнуть мышью по значку **11** на **Панели стандартных инструментов** или выбрать в меню **Правка чертежа** строку **Удаление ненужных перемычек**. При этом удалятся перемычки, которые дублированы печатными проводниками и останутся перемычки между теми деталями, печатные соединения между которыми мы не смогли или забыли провести. Очень удобное напоминание.

#### Файлы других форматов

Если необходимо использовать чертежи, выполненные в программе Sprint-Layout 3.0 для отчетов или как рисунки для статьи, то программа позволяет экспортировать их в графический формат **\*.bmp**. Для этого в меню **Файл** необходимо выбрать подменю (строку) **Экспорт файла**, а в нем строку **Экс-**

**порт файла в формате \*.BMP**. Что делать дальше подскажет открывшееся диалоговое окно. Кстати, экспорт файла возможен в форматы **Gerber** и **Excellon** (Сверловка), используемые профессиональными производителями печатных плат.

#### Хитрые возможности программы Sprint-Layout

В годы студенческой юности автору этих строк приходилось передергать (копировать) чертежи на просвет, используя толстое стекло и настольную лампу, а также вносить определенные изменения в эти чертежи. Этот процесс чем-то напоминает еще одну оригинальную возможность программы Sprint-Layout 3.0.

Если необходимо на базе чертежа печатной платы из журнала или Интернета создать новый, но несколько измененный, необходимо перевести файл чертежа этой печатной платы в формат **\*.bmp** (при необходимости предварительно отсканировав чертеж), а затем поместить его как фон на рабочем поле программы Sprint-Layout (рис.14). Для этого, после открытия окна программы с чистым рабочим полем, необходимо щелкнуть левой кнопкой мыши по значку **4** на **Панели стандартных инструментов** или выбрать строку **Задний план (Фон)** в меню **Опции**. При этом откроется двухстороннее окно, которое называется в программе **Окном Диалога заднего плана (фона)** (рис.15).

Каждой странице этого окна соответствует одна сторона печатной платы. Это значит, что для каждой стороны платы можно создать свой фон. Чтобы выбрать bmp-файл для фона, необходимо щелкнуть мышью по кнопке **Открыть Файл** и в открывшемся окне выбрать файл обычным для Windows способом. После этого в **Окне Диалога заднего плана (фона)** под кнопкой **Открыть Файл** появится название выбранного файла, а в квадратике **Показать (Вкл/Выкл)** самоустановится галочка. При этом фон может пока не измениться. Для того чтобы установить фоновый рисунок и выставить его оптимальный размер, необходимо изменить разрешение этого рисунка кнопками прокрутки в окошке **Разрешен** (рис.15). Кнопками прокрутки в окошках **Сдвиг-Х** и **Сдвиг-У** можно сместить рисунок в нужное место рабочего поля, а щелкнув мышью по квадратику **Цвет**, откроем окно с палитрой для изменения цвета фоновый рисунок (по умолчанию - зеленый). После установки параметров в **Окне Диалога заднего плана (фона)** необходимо щелкнуть мышью по кнопке **ОК**.

По контурам фоновый рисунок, используя инструменты программы, легко скопировать всю плату или ее отдель-

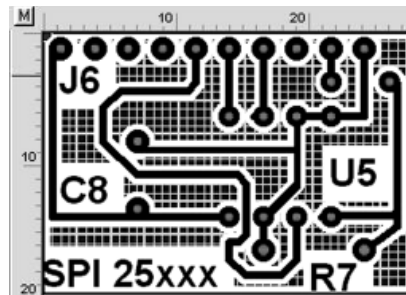


рис. 16

ные фрагменты, а также внести в ее чертеж необходимые изменения. На рис.14 процесс копирования уже начал.

При изготовлении плат для высокочастотных устройств или просто для экономии раствора при травлении плат в чертеже можно автоматически закрасить области платы, которые не будут вытравливаться и могут использоваться как экран (рис.16). Это осуществляется щелчком мыши по соответствующему значку внизу окна программы или выбором строки **Общая шина (масса)** в меню **Опции**.

#### Клавиатурные комбинации программы Sprint-Layout 3.0

Клавиатурные комбинации (см. таблицу) опытные пользователи ПК ис-

Клавиши	Команда
Alt+BkSp	Отменить последнюю команду
Ctrl+A	Выделить все
Ctrl+C	Копировать
Ctrl+D	Дубликат
Ctrl+G	Сгруппировать
Ctrl+H	Отобразить по горизонтали
Ctrl+R	Повернуть на 90 градусов
Ctrl+T	Отобразить по вертикали
Ctrl+V	Вставить
Ctrl+U	Разгруппировать
Ctrl+X	Вырезать
Del	Удалить
F1	Активация слоя P1
F2	Активация слоя M1
F3	Активация слоя P2
F4	Активация слоя M2
F5	Показ слоя P1
F6	Показ слоя M1
F7	Показ слоя P2
F8	Показ слоя M2

пользуют для быстрого выполнения той или иной команды. Выполняются они одинаково как при английской, так и при русской раскладке клавиатуры.

#### Литература

1. <http://ra3ggi.qrz.ru>
2. Безверхний И. Как разработать печатную плату? Теперь это очень просто // Радиолюбитель. - 2002. - №4. - С.47-52.

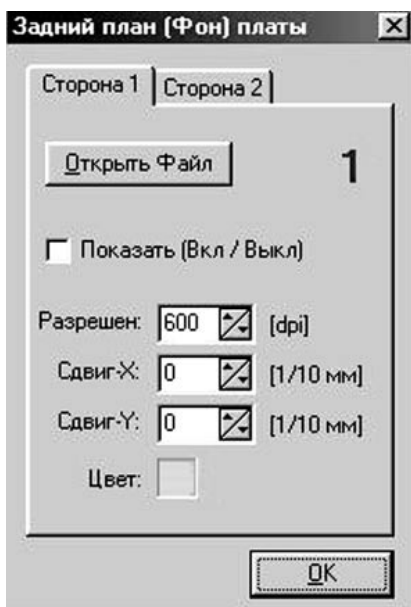


рис. 15

# Диодный колебательный контур

О.Л. Архипов, г. Чернигов

**В статье рассматриваются новая схема колебательного контура с применением двух катушек индуктивности, включенных через диоды, и анализ физических процессов в этом устройстве.**

В радиотехнике и электронике применяются несколько типов колебательных контуров: параллельный, последовательный, контур с нелинейной емкостью - параметрический, спиральный резонатор и т.д. Наиболее часто применяются параллельный и последовательный (рис.1) колебательные контуры. Характеристики таких колебательных контуров известны многим, поэтому приведем только основные соотношения, так как они понадобятся для пояснения сути процессов.

Важнейшими параметрами являются

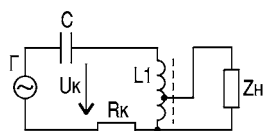


рис. 1

резонансная частота ( $f_0$ ) и добротность контура ( $Q$ ), которые рассчитываются по формулам:

$$f_0 = 1/2\pi(LC)^{1/2}, \quad (1)$$

$$Q = (LC)^{1/2}/r_k. \quad (2)$$

Для многих применений колебательно-контур важно получить большое значение  $Q$  и в ряде случаев "нагруженной добротности", когда с контура снимается сигнал на некоторую нагрузку. И если от контура отбирается заметная мощность, например, в антенну или технологическую установку, то получение большой  $Q$  становится проблематично, так как увеличение нагрузки ее снижает.

Казалось бы, процессы в колебательном контуре хорошо изучены, и здесь нет никаких неожиданностей, но это только на первый взгляд. А что физически заставляет расти напряжение на контуре? Подумав, приходим к ответу, что за рост напряжения на контуре "ответственна" индуктивность ( $L$ ). Увеличение амплитуды колебаний объясняется свойством индуктивности развивать ЭДС самоиндукции ( $E_c$ ), которая может быть намного больше, чем исходное напряжение, поданное на катушку. Это выражается формулой:

$$E_c = -L(di/dt), \quad (3)$$

где  $i$  - ток через катушку.

Рост напряжения пропорционален величине индуктивности и производной тока от времени. Поэтому в формуле (2) индуктивность находится в числителе выражения,

так как ее свойства определяют увеличение добротности и напряжения на контуре. Поясним физическую связь параметров контура, перейдем к описанию сути одного эффекта.

В 1996 г. при работе с электротехнологическими ВЧ-установками нужно было получить большую  $Q$ , но она не получалась, так как была слишком велика мощность нагрузки, поэтому автором была опробована схема контура, показанная на рис.2. Цель работы заключалась в увеличении емкости контура при той же частоте. Первоначально контур состоял из тех же элементов ( $L_1$  и  $C$ ), что и на рис.1. Питание контура осуществлялось высокочастотным прямоугольным напряжением от транзисторного генератора. Затем соединили параллельно две

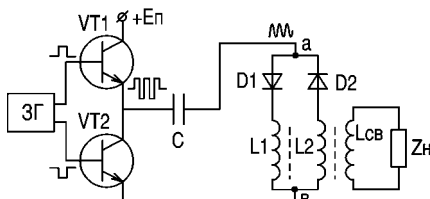


рис. 2

одинаковые катушки  $L_1$  и  $L_2$  с ферритовыми сердечниками через диоды  $D_1$  и  $D_2$  и увеличили емкость  $C$  для сохранения исходной частоты колебаний. Измеренное напряжение на контуре в точках а, б составило 340 В по сравнению с прежним (150 В) с тем же сопротивлением нагрузки  $Z$ . Напряжение генератора не изменялось. Это означало, что добротность возросла примерно вдвое, хотя уменьшилось характеристическое сопротивление контура. Индуктивность уменьшилась вдвое, а емкость увеличилась, т.е. по формуле (2)  $Q$  должна была уменьшиться, а она объективно увеличилась.

Анализируя полученные результаты, автор пришел к выводу, что физическая суть этого эффекта в импульсных процессах и в соотношениях постоянных времени. В схеме "диодного контура" (рис.2) мы как бы поочередно пропускаем через катушки схемы импульсы (рис.3), или полупериоды тока с выбросом ( $E_c$ ) и скоростью нарастания напряжения, определяемой постоянной времени:

$$\tau_L = L/r_L,$$

хотя осциллограммы напряжения на контуре и катушках синусоидальные.

В случае обычного контура мы имеем чисто синусоидальное питание контура и постоянную времени контура:

$$\tau_k = 2L/r_k.$$

На рис.4 показаны напряжения на катушке с диодом и на контуре с теми

же элементами, и видна разница процессов в схемах.

Возьмем отношение постоянных времени, считая, что  $L=L_1$ , а  $r_k=r_L/2$ , и после элементарных сокращений получим:

$$\tau_k/\tau_L = 4. \quad (4)$$

Полученное соотношение показывает, что для импульсного питания катушки напряжение ЭДС самоиндукции на ней нарастает в 4 раза быстрее, чем на контуре с этой же катушкой, также, в соответствии с формулой (3), уровень напряжения будет больше за счет изменения времени. Колебательный контур "медленно раскачивается" по сравнению с катушкой и имеет меньшее напряжение по сравнению с  $E_c$  катушки.

Поэтому теоретически в диодном кон-

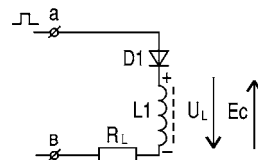


рис. 3

туре можно получить добротность почти в 4 раза выше, чем в обычном контуре. Реально получается меньше, так как есть сглаживающее влияние конденсатора, дополнительные потери в диодах (их прямое сопротивление входит в потери контура) и др.

Для практических расчетов можно считать, что добротность такого контура выражается формулой:

$$Q_D = 2(L/C)^{1/2}/r_k, \quad (5)$$

где  $L$  - индуктивность одной катушки контура, а резонансная частота ориентировочно рассчитывается по формуле (1), но индуктивность берется равной половине индуктивности одной катушки:

$$f_0 D = 1/2\pi((L/2)C)^{1/2}. \quad (6)$$

Такой выигрыш в добротности по срав-

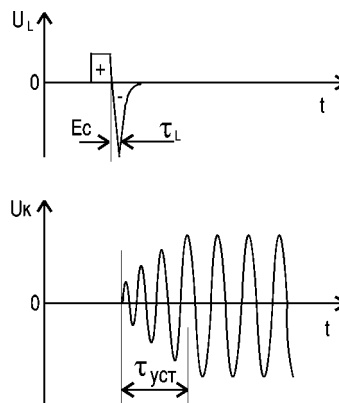


рис. 4

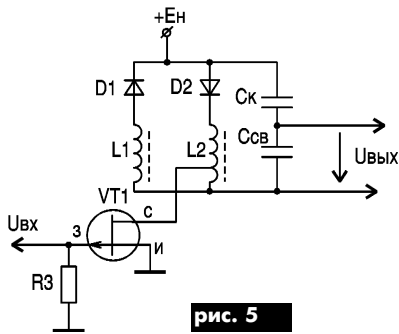


рис. 5

нению с обычными контурами технологически получить трудно, поэтому данная схема может пригодиться для мощных высоковольтных выходных каскадов, где напряжение на контуре намного больше, чем напряжение прямого падения на диодах, т.е. 0,7...1,5 В.

В качестве примера исполнения контура можно привести схему диодного параллельного колебательного контура (рис.5).

#### Литература

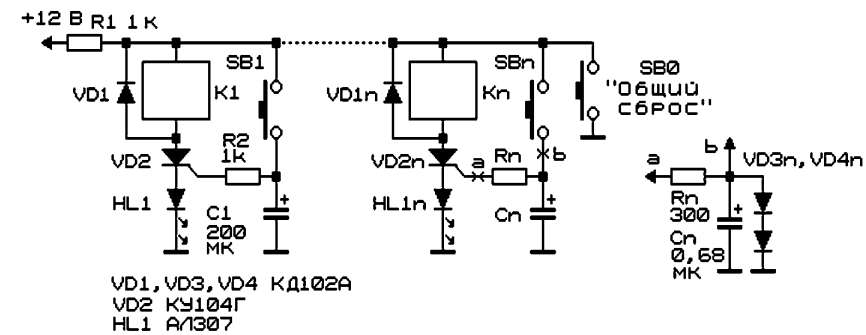
1. Изюмов Н.М., Линде Д.Л. Основы радиотехники. - Ленинград: Энергия, 1965.
2. Куликовский и др. Справочник по радиоэлектронике. - М.: Энергия, 1967. - Т.1
3. Кузьмичев В.Е. Законы и формулы физики: Справ. - К.: Наукова думка, 1989.

## Многопозиционный тиристорный переключатель

М.А. Шустов, г. Томск, Россия

**Тиристорное устройство, позволяющее создать аналог многокнопочного переключателя с зависимой фиксацией положения и использующее для управления кнопочные элементы, работающие без фиксации, показано на рисунке. В отличие от своего механического прототипа кнопки электронного коммутатора могут быть пространственно разнесены на значительное расстояние, причем количество кнопок (каналов коммутации) не ограничено.**

Тиристоры, как современные полупроводниковые коммутационные элементы, широко используют для включения и отключения нагрузки - узлов и блоков радиоэлектронной аппаратуры, электродвигателей, обмоток реле, ламп накаливания и т.п. Их особенность и основное отличие от транзисторов заключается в том, что тиристоры обладают двумя устойчивыми состояниями, исключая какие-либо промежуточные: "включено", когда сопротивление полупроводникового прибора минимально и "выключено", когда сопротивление тиристора максимально. В идеале эти сопротивления должны приближаться к нулю или бесконечности.



VD1, VD3, VD4 КД102А  
VD2 КУ104Г  
HL1 АЛ1307

Известно, что для включения тиристора на его вход достаточно хотя бы кратковременно подать управляющее напряжение. Отключить тиристор можно только кратковременным отключением его питания либо сменой полярности питающего напряжения. Обычно включают и отключают тиристорные коммутаторы двумя кнопками. Менее известны однокнопочные схемы управления тиристорами.

Принцип работы многопозиционного тиристорного коммутатора основан на динамических зарядно-разрядных процессах в цепях управления тиристорами. В схеме может быть использовано несколько тиристоров, однако для упрощения схемы на рисунке показано лишь два идентичных канала. Остальные каналы коммутации могут быть подключены аналогично предыдущим.

В исходном состоянии (см. рисунок) тиристоры в схеме отключены. При нажатии на кнопку управления, например, SB1, конденсатор C1 с относительно большой емкостью оказывается подключенным к источнику питания через общий токоограничивающий резистор R1. В результате заряда конденсатора возникает бросок тока, по последствиям равноценный кратковременному замыканию анодов всех тиристоров на

общую шину. Любой из тиристоров, если он был ранее включен, отключается. В то же время задействованный конденсатор накапливает энергию. После отпускания кнопки конденсатор разряжается на управляющий электрод тиристора, включая его. Для включения любого другого канала нажимают соответствующую данному каналу кнопку. Происходит сброс (отключение) ранее задействованной нагрузки и включение новой нагрузки. Кнопка SB0 предназначена для общего отключения нагрузок.

В схеме предусмотрена светодиодная индикация задействованного канала, поэтому максимальный ток нагрузки каждого из каналов ограничен значением 20 мА.

**Детали.** Вместо накопительных конденсаторов большой емкости могут быть использованы диодно-конденсаторные цепочки (см. рисунок). Это позволяет заметно снизить рабочее напряжение до 1,5...3 В и емкость конденсаторов C1-Cn.

В качестве нагрузки использованы низковольтные реле типа РМК-11105 на рабочее напряжение 5 В с сопротивлением обмотки 350 Ом. Резистор R1 ограничивает ток короткого замыкания и ток максимального потребления коммутатора на уровне 10...12 мА при напряжении питания 12 В.

Эта рубрика, которую мы только начинаем формировать, предназначена как для тех, кто делает первые шаги в радиоэлектронике, так и для их наставников. В редакцию поступило большое количество писем, в которых читатели просят публиковать такие материалы, как это раньше было в рубрике "Радиошкола".

Опыт работы "Радиошколы" показал, что журнал не может заменить школу или кружок, в которых есть возможность под руководством опытных руководителей получить систематические знания и практическую подготовку. Поэтому публиковать учебные материалы мы не будем, но постараемся организовать дело так, чтобы оказывать практическую помощь простыми схемами из доступных деталей с хорошим объяснением принципа работы, сборки и наладки.

Для ускорения решения этой задачи обращаемся в первую очередь к наставникам юных радиолюбителей: давайте делиться опытом друг с другом, ведь каждый из Вас нуждается в новых идеях, ре-

шениях и схемах, в то же время каждый из Вас несет в себе ценный опыт, накопленный за годы работы с детьми. Предложите в наш общий котел те схемы с подробным описанием, которые Вы уже используете в работе. Если из сотни наставников каждый пришлет только одну схему, то все будут иметь по 99 новых схем для дальнейшей работы. Те схемы, которые еще будут ждать своей очереди к опубликованию, мы сможем высылать по запросам руководителей кружков или выставить их на сайте издательства в Интернет для общего пользования.

Приглашаем также наших постоянных авторов к сотрудничеству по созданию добротных материалов для начинающих. Требования к материалам одно: все должно быть четко и ясно, а главное - просто для повторения. Со своей стороны редакция гарантирует особый подход к авторам, которые включатся в благородное дело воспитания новых радиолюбителей.

**“Простой фазоуказатель”** Н. Сафонкина (Радио, 9/2002, с.40) позволяет определить порядок следования фаз в трехфазных электросетях с нулевым проводом, с которым соединяют клемму ХТ3 прибора, а клеммы ХТ1 и ХТ2 подключают к двум из трех фазных проводов (рис.1). Если порядок следования фаз соответствует маркировке клемм, то лампа НЛ1 светиться в полный накал. Если фазные провода соединены с прибором в обратном порядке, то лампа светится очень слабо или не светится вообще.

**Детали.** В качестве VS1, кроме указанного на схеме, пригодны тиристоры Т112-10-5, КУ202Н. Диод КД105В можно заменить любым из серии КД209. НЛ1 - лампа накаливания на 26 В, 0,12 А, подойдет и другая с номинальным током не менее тока удержания тиристора. Необходимо лишь подобрать резистор R1 соответствующего номинала и мощности, а также соответственно номинальному линейному напряжению в сети.

Устройство смонтировано в корпусе из изоляционного материала подходящих размеров, на передней панели которого установлены клеммы ХТ1-ХТ3 и патрон с лампой НЛ1.

**“Регулятор тактов стеклоочистителя”** А. Куземы (<http://vksn.narod.ru/auto/vr193s.html>) позволяет получить регулируемый пульсирующий режим работы стеклоочистителя на автомобилях ранних выпусков, например “Москвич-2140”, и некоторых современных моделях. В отличие от ранее опубликованных устройств этот

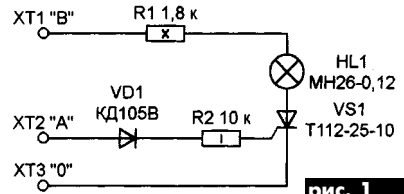


рис. 1

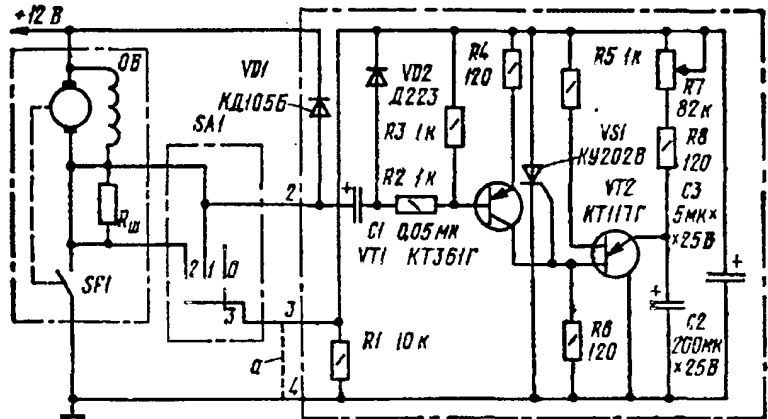


рис. 2

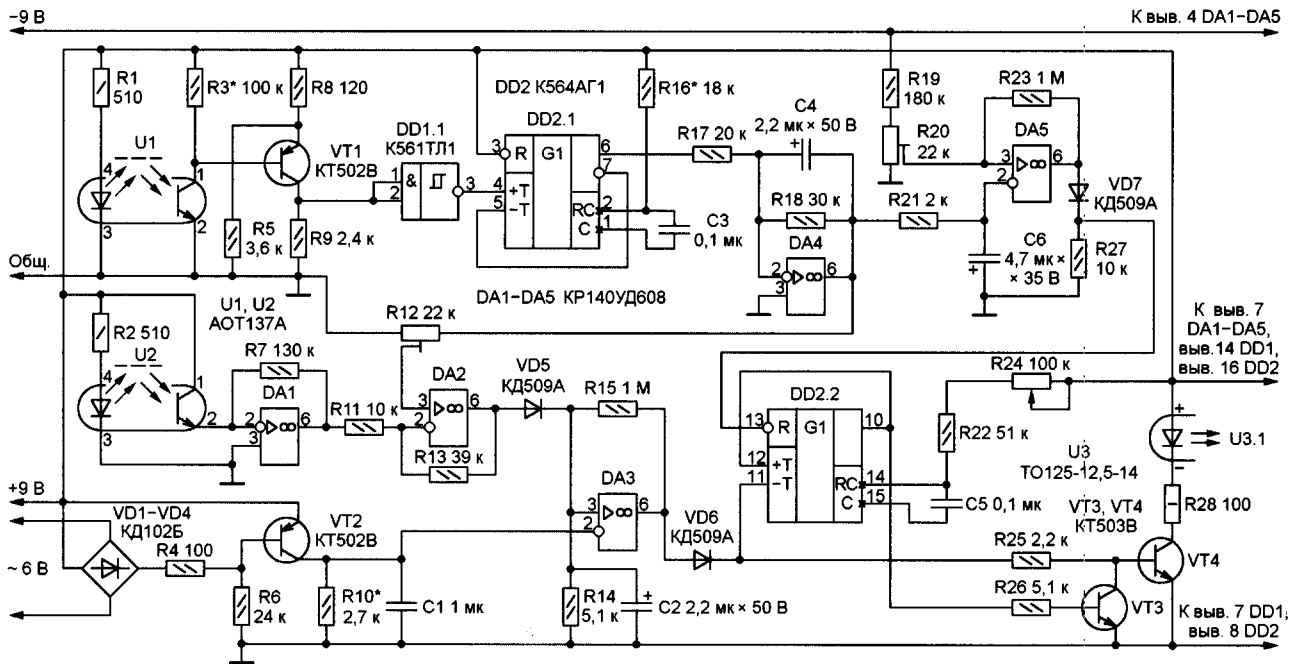


рис. 3

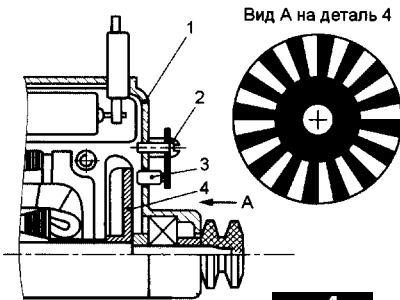


рис. 4

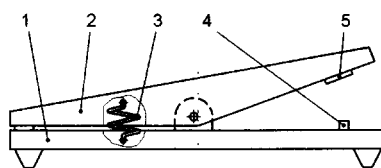


рис. 5

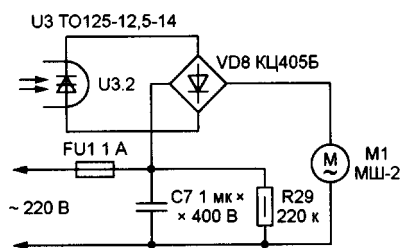


рис. 6



регулятор (рис.2) рассчитан на использование штатного переключателя режимов работы стеклоочистителя и является бесконтактным. Подключение схемы к переключателю не изменяет существующих режимов работы щеток (быстрый, медленный), а только задает паузу между тактами этих режимов. Пауза задается переменным резистором, ручка которого выведена на лицевую панель приборов.

Подключение схемы четырехпроводное: клеммы 3, 4 устройства подключают в разрыв общего провода (а) переключателя, клемма 2 (вывод конденсатора C1) - к контакту 1 переключателя "малая скорость электродвигателя", клемма 1 - к шине питания +12 В.

Все элементы размещены на печатной плате, помещенной в пластмассовый корпус, и закреплены на переменном резисторе R7, являющимся одновременно элементом крепления устройства на приборном щитке.

**Детали.** Резисторы типа МЛТ, переменный резистор типа СП-1, конденсаторы C2, C3 типа К50-6, C1 - МБМ, диоды VD1 - Д223, VD2 - КД105Б.

Установка тиристора на радиатор не обязательна. Устройство не критично к замене полупроводниковых элементов.

**"Блок управления электродвигателем швейной машины"** Н. Шуков (Радио, 9/2002, с.38). В предлагаемой конструкции применена самодельная педаль, снабженная оптическим датчиком положения (оптрон U1 с открытым оптическим каналом), причем резкое нажатие на нее вызывает форсированный разгон двигателя. Заданная педалью частота вращения не изменяется под характерной для швейных машин переменной

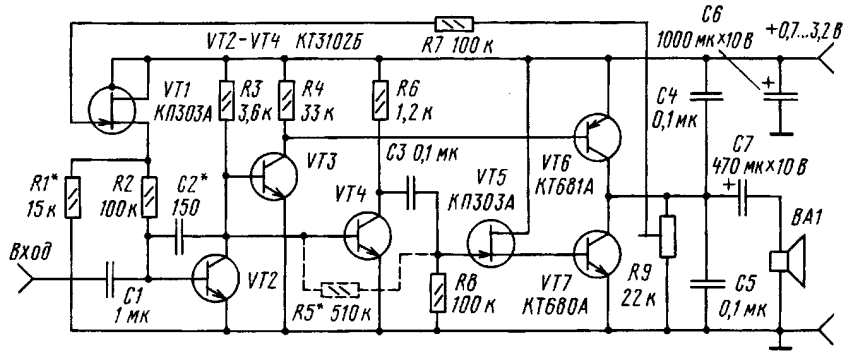


рис. 7

нагрузкой на вал двигателя. Имеется возможность ограничить максимальную частоту, причем порог ограничения можно регулировать в процессе шитья.

Схема блока управления (без силовых узлов) изображена на рис.3. Как показано на рис.4, на корпусе 1 электродвигателя закреплена винтом 2 небольшая плата. Установленный на ней оптрон 3 входит в специально просверленное отверстие корпуса 1. Оптическое окно оптрона должно находиться на расстоянии 1...2 мм от насаженной на вал 5 крыльчатки вентилятора 4. На обращенную к оптрону поверхность крыльчатки нанесена маска - 16 светлых полос (см. рис.4, вид А, деталь 4). Корректировкой положения оптрона относительно крыльчатки и подборкой номинала резистора R3 добиваются максимального размаха импульсов на коллекторе транзистора VT1 при вращении вала двигателя.

Конструкция педали показана на рис.5, где 2 - ее подвижная часть, 1 - неподвижное основание. Они соединены пружиной 3, противодействующей нажатию. Оптрон 4 (U2 аналогичный U1, см. рис.1) размещен на основании 1. Номинал резис-

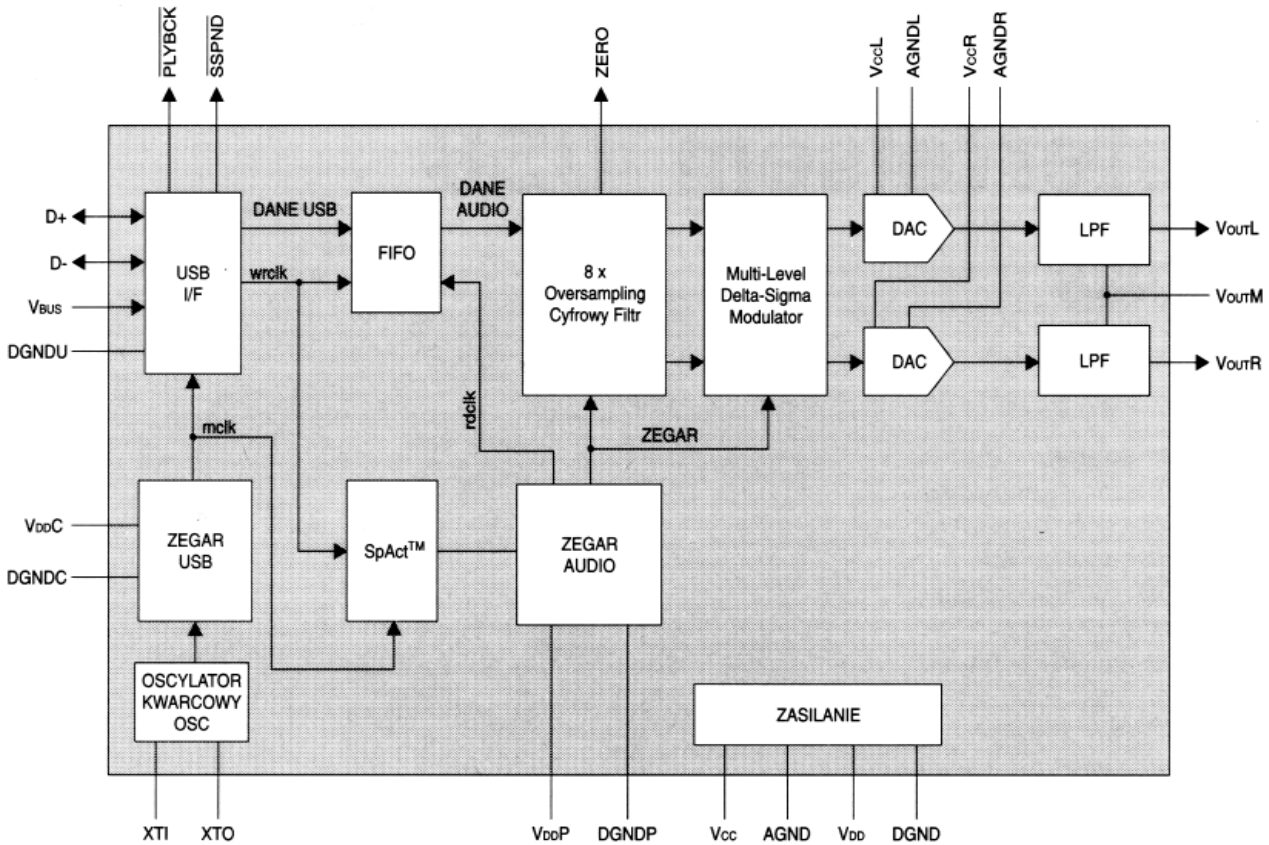


рис. 8

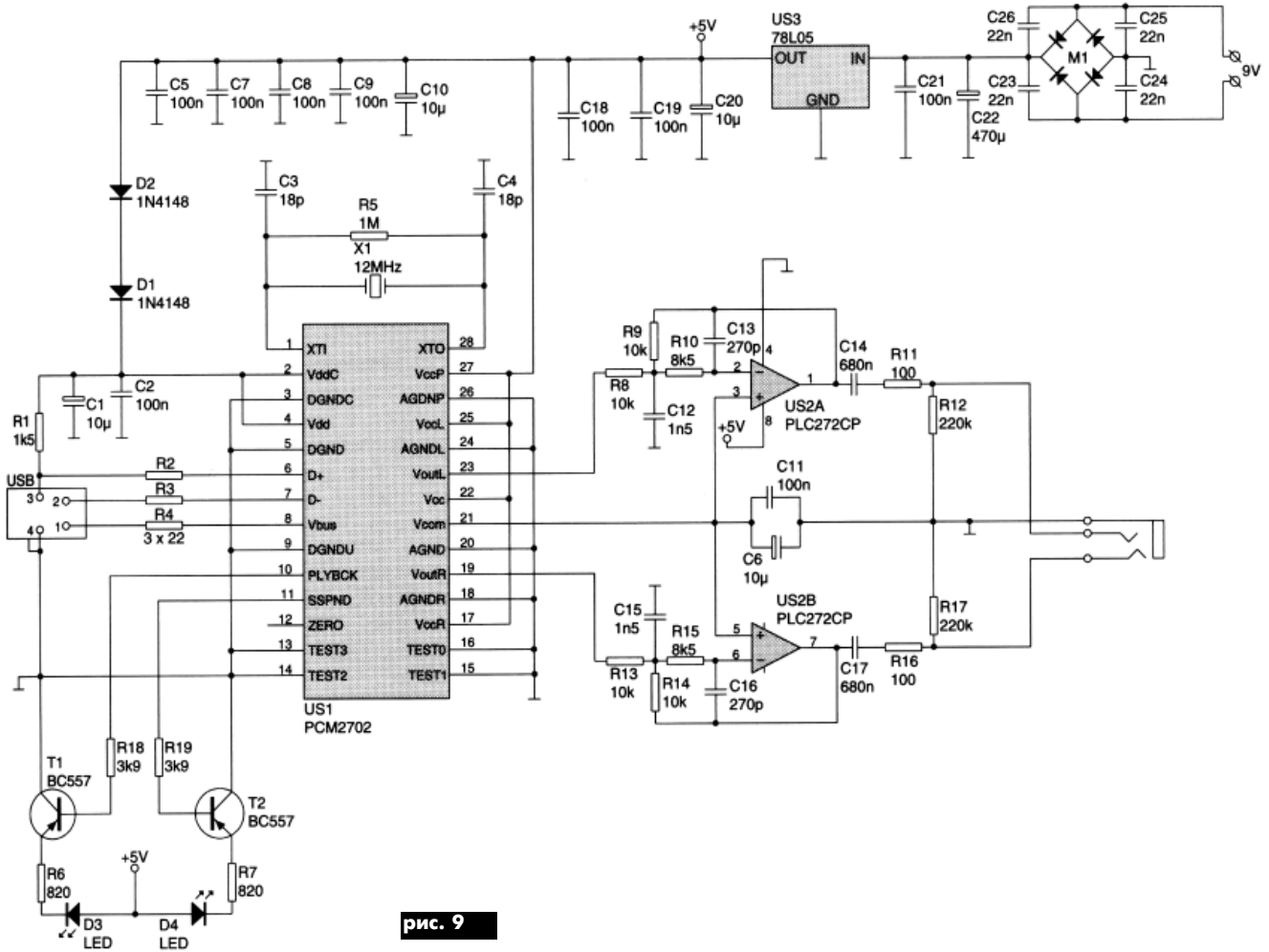


рис. 9

тора R7 выбран таким, что полному ходу педали соответствует изменение напряжения на выходе ИМС DA1 от 0 приблизительно до -8 В.

На рис.6 показана схема силовой части блока управления, нумерация ее элементов продолжает начатую на рис.3. Блок можно питать от любого стабилизированного источника с выходными напряжениями +9 и -9 В, способного отдавать ток не менее 100 мА по цепи положительного напряжения и 30 мА - отрицательного. Переменное напряжение 6 В подают на диодный мост VD1-VD4 от отдельной вторичной обмотки сетевого трансформатора. Если такой обмотки нет, можно воспользоваться дополнительным понижающим трансформатором, дающим нужное напряжение.

**Детали.** Постоянные резисторы типа МЛТ, переменный R24 - СП-1; подстроечные R12, R20 - СПО-0,15. Конденсаторы C1, C3, C5 - металлопленочные, C7 - МБГЧ, оксидные C2, C4, C6 - К50-35. Транзисторы КТ502В можно заменить КТ502А, КТ502Д, КТ502Е, КТ361Б, КТ361В, КТ361Г, а КТ503В - КТ503А, КТ503Д, КТ503Е, КТ315Б, КТ315В. КТ315Г. Вместо микросхемы К564АГ1 подойдет ее зарубежный аналог CD4098В, вместо КР140УД608 - К140УД6, К140УД7, КР140УД708. Диодный мост КЦ405Б можно заменить КЦ402А, КЦ403А, КЦ403Б, КЦ403В, диоды КД509А - КД503А, КД510А, КД518А.

При наладке блока управления желательно, чтобы двигатель был механически нагружен приводом швейной машины, работающей вхолостую (без ткани и ниток).

А. Паньшин **“УЗЧ для приемника с низковольтным питанием”** (Радио, 9/2002, с.18). Приемник с низковольтным питанием ограничивает число слушателей до одного из-за труд-

ностей реализации звуковоспроизведения. Предлагаемая схема трехкаскадного двухполупериодного УЗЧ на семи транзисторах (рис.7) устраняет этот недостаток.

**Технические характеристики**

Ток покоя	7...10 мА
Напряжение питания	0,7...3,2 В
Максимальная выходная мощность при напряжении питания 2,8, 1,5, 1,0 В при работе на звуковую головку сопротивлением 8 Ом	110, 40, 12 мВт

**Детали и настройка.** Постоянные резисторы типа МЛТ-0,125, R9 - СП4-3. Конденсаторы C6, C7 типа К50-38, остальные керамические типа КМ-6 или импортные. Транзисторы VT1, VT5 - КП303А(Ж), VT2-VT4 - КТ3102А(Б) с коэффициентом передачи тока базы 150...200; VT6 - КТ681А; VT7 - КТ680А с коэффициентом передачи тока базы 150...200. Допустимо, если коэффициент усиления по току транзистора VT3 будет больше, чем у VT4, а VT6 больше, чем у VT7.

Сборку УЗЧ нужно начинать с подбора пары транзисторов VT5 и VT7 (при напряжении 1 В ток коллектора VT7 должен быть в пределах 6...10 мА). Затем расплаивают все детали, кроме R1, сопротивление которого подбирают таким, чтобы при  $U_{кол VT6, VT7} = 0,5U_{пит}$  (при  $U_{пит} = 0,8...1,6 В$ ) напряжение удерживалось бы с точностью до 0,05 В.

Если предполагается работа УЗЧ при  $U_{пит} = 1,8...3,2 В$ , то настройку производят в этом диапазоне напряжений. С повышением  $U_{пит} = 2,4...3,2 В$  из-за изменения режимов транзисторов VT1-VT3 напряжение средней точки начинает отставать на 0,15...0,2 В, что не имеет большого значения. Достаточно точно установить  $U_{кол VT6, VT7}$  при наименьшем  $U_{пит}$ .





# БЮЛЛЕТЕНЬ КВ+УКВ

## ЛЮБИТЕЛЬСКАЯ СВЯЗЬ И РАДИОСПОРТ

Ведущий рубрики **А. Перевертайло**, UT4UM

**DX-NEWS by UX7UN** (trnx VO1NA, DL5XL, I1JQJ, DL5EBE, UT5UAG, JH7OHF)

**DL, GERMANY ant** - Felix Riess, DL5XL, будет работать в качестве радиооператора и инженера-электронщика на немецкой полярной станции "Neumayer" (WABA DL-03) на ледовом шельфе Eckstrom (AN-016) в Антарктиде в период антарктической зимы с марта по ноябрь 2003 г. Он планирует работать в любительском эфире в свое свободное время в основном CW (но также и SSB, RTTY, PSK31 и HELL) позывным DP1POL. QSL via DL1ZBO по адресу: Rainer Hilgardt, Hans-Sachs-Weg 38, D-64291 Darmstadt, Germany.



**I, ITALY** - операторы из ARI Лессе будут работать на специальной станции IU7LE в течение уик-эндов в честь 75-летия ARI, итальянской радиоловительской ассоциации - члена IARU. QSL via I7PXV.

**LU, ARGENTINA ant** - три аргентинские антарктические станции должны появиться на 21365 kHz в 21 UTC, в nef'e, который ведет Masa, JE1LET. Это LU1ZD со станции "San Martin" (WABA LU-11) на о-ве Barry в бухте Marguerite (AN-016); LU1ZG со станции "Belgrano II" (WABA LU-08) на берегу Luitpold Coats (AN-016); LU1ZV со станции "Esperanza" (WABA LU-06) на полуострове Trinity (AN-016).

**ZK3, TOKELAU isl.** - Atsu, 5W1SA, будет работать из Tokelau (OC-048) начиная с декабря. Его позывной ZK3SA. QSL via JH7OHF.

**ZS, SAR** - Rudi, ZS6DX, работал специальным позывным ZS02AM (AM означает African Moment) с 30 ноября по 31 декабря в связи с полным солнечным затмением, ко-



торое произошло 4 декабря. QSL via ZS6DX.  
**ZS, SAR ant** - op. Anthon, ZS7/ZS4AGA, будет находиться на "E-Base" (WABA ZS-04). Он планирует работать SSB на 21275 kHz в 17 UTC по понедельникам. QSL via ZS4A.

**S2, BANGLADESH** - Takeda, JF1EQA, активен в настоящее время из Дакки, Бангладеш, позывным S21YY на диапазонах 80...10 м в основном SSB. QSL via JMHXU.

**VP8, FOLKLAND isl.** - Mike, GM0HCQ, возвратился домой и сейчас займется рассылкой QSL за свою работу позывными VP8SGK, VP8SIG, VP8ROT и VP8CMH/mm. QSL направлять по адресу: Mike Gloistein, 27 Stormont Way, Scone, Perthshire, PH2 6SP, Scotland, UK.

**3C, GUINEA** - Vitaly, VE6JO, будет активен позывным 3C2MV (и/или 3C2A, если ему удастся получить запрошенный им первоначально позывной) с о-ва Bioko (AF-010), Экваториальная Гвинея. QSL via VE6JO.



**5T, MAURITANIA** - группа членов International Amateur Radio Volunteers (IARV) будет активна из Мавритании на диапазонах 160...10 м CW, SSB и RTTY. Они будут использовать позывные 5T5PBV (JA1PBV), 5T5RUZ (JA8RUZ), 5T5RQ (JA6RQ) и 5T5CPS (JA1CPS). QSL via home calls. Они также планируют работать из Западной Сахары позывным S07U. QSL via JA1UT.

**9Q, ZAIRE** - Michel, F6COW, будет работать со станции 9S1X, в том числе в CQ WW DX CW Contest в категории SOAB. QSL via F2YT.

Patrick, 9Q1A (F6BLQ), будет работать в ARRL 10 Meter Contest позывным 9S1X (только SSB), затем он и Nicole, 9Q1YL, уедут из Киншасы. Они переедут в г. Matadi, откуда планируют возобновить работу в эфире (вначале на проволочные и вертикальные антенны, затем - на бимы).

**DU, PHILIPPINES** - Alan, K6ACZ/DU, будет активен с Филиппин в основном SSB, в том числе в ARRL 10 Meter Contest. QSL via K6ACZ.

**FG, GUADELUPA** - Jack, F6HMJ, будет активен на всех диапазонах позывным TO2FG из Гваделупы (NA-102, DIFO FG-001) с 15 декабря по 15 января. QSL via F6HMJ.

**HL, S.KOREA ssh** - Lee, DS4CNB, сообщил, что он присоединится к экипажу корейской полярной станции "King Sejong" (WABA HL-01), расположенной на о-ве King George, Южные

Шетландские о-ва (AN-010). Он будет работать там с 1 декабря 2002 г. по 30 ноября 2003 г. и будет активен в эфире на всех диапазонах всеми видами излучения позывным HL0KSJ или D88S. QSL по адресу: Lee Dae Ryung, P.O. Box 30, Tongyung 650-600, South Korea.



**HR, HONDURAS** - Gerard, F2JD, пробудет в Гондурасе с 10 декабря 2002 г. по 3 марта 2003 г. и будет работать в эфире позывным HR5/F2JD (на 160...6 м SSB и CW). Он будет базироваться в La Entrada de Copan, но может также выйти в эфир с нескольких островов IOTA. QSL via F6AJA.



**JT, MONGOLIA** - JV5C - это специальная станция, которая активна из Bayanbuural (120 км к северу от Улан-Батора), Монголия, по случаю 840-й годовщины со дня рождения Чингисхана. Ищите их на CW (1840, 3520, 7020, 10105, 14020, 18078, 21020, 24900 и 28020 kHz) и в SSB (1860, 3795, 7060, 14220, 18140, 21220, 24920 и 28420 kHz). QSL via JT1KAA по адресу: P.O. Box 830, Ulaanbaatar-24, Mongolia.

**TZ, MALI** - Mac, TZ6JA, снова отправляется по делам в Бамако, Мали. Он планирует работать на 40, 20, 17, 15, 12 и 10 м только SSB. QSL direct по адресу: Mac Obara, P.O.Box 59, Tama, 206-8691 Japan или direct JA3EMU (Toshiyuki Tanaka, 11-22 Higashi-Kourishinamachi, Hirakata, 573-0077 Japan).

**UR, UKRAINE ant** - Роман Братчик, UT7UA, войдет в состав украинской антарктической экспедиции на предстоящий сезон и будет работать в эфире со станции "Академик Вернадский" (WABA UR-01) на о-ве Galindez (AN-006), Антарктика.

**YI, IRAQ** - Mike/OM2DX, Jaro/OM3TZZ (ex SU9ZZ), Robo/OM1KW и Peter/OM6TX (Y19OM) будут участвовать в CQ WW DX CW Contest под позывным Y10M. Peter закончит свою работу в посольстве Словакии в Багдаде несколько дней спустя после конкурса, но в эфире его заменит Mike (OM2DX), который сейчас ожидает лицензии. QSL via OM3JW.

**Зимняя активность**  
**EUROPE**

 EU-025 IT9NVA  
 EU-026 JW0HU  
 EU-041 IM0/IK2YSE  
 EU-041 IM0/IK2YSE  
 EU-075 SV8UM  
 EU-092 GM0LVI/p  
 EU-092 GM0LVI/p  
 EU-183 YP1W

**ASIA**

 AS-025 UA0FAA  
 AS-031 JM3FVL/JD1  
 AS-041 J15USJ/4  
 AS-062 RU0LM/0  
 AS-153 VU2HFR  
 AS-163 R3CA/0

 AS-164 R3CA/0  
 AS-165 XY0TA

**AFRICA**

 AF-003 ZD8Z  
 AF-010 3C2MV  
 AF-072 C98DC

**N. AMERICA**

 NA-012 TI9JJP  
 NA-012 TI9JJP  
 NA-021 8P9HT  
 NA-021 8P9HT  
 NA-021 8P9Z  
 NA-034 AE4WK  
 NA-036 P40K  
 NA-036 P40TA  
 NA-037 KL7JR  
 NA-073 V31MF

 NA-073 V31MX  
 NA-073 V31MX  
 NA-102 T02FG  
 NA-113 AA8LL/C6A  
 NA-113 C6ALB  
 NA-113 K8LIZ/C6A  
 NA-140 N2CW/3  
 NA-158 WL7O  
 NA-160 HR3/JA6WFM  
 NA-188 XF4IH  
 NA-222 KL7AK/p

**S. AMERICA**

 SA-003 PY0FT  
 SA-006 PJ2T  
 SA-006 PJ2T  
 SA-008 AY1XS  
 SA-019 PW6AI

 SA-055 LU1AEE/D  
 SA-055 LU7DW/D  
 SA-055 LU8EKC/D  
 SA-055 LW8EXF/D  
 SA-060 ZW8P  
 SA-060 ZW8P  
 SA-066 YW1T  
 SA-093 HK3JJH/4

**OCEANIA**

 OC-002VK9XE  
 OC-015T24DX  
 OC-017T30ES  
 OC-019W6YOO/KN6  
 OC-023KH6GMP/KN3  
 OC-023KH6GMP/KN3  
 OC-032FK/W6YOO  
 OC-045W6YOO/KN8

 OC-048ZK3SA  
 OC-059V63CP  
 OC-067FO/W6YOO  
 OC-090DZ1MS  
 OC-0975W0HA  
 OC-126DX0L  
 OC-137VK2IAY/p  
 OC-138VK6LC/4  
 OC-1563D2YOO  
 OC-172VK2IAY/p  
 OC-186YE2R  
 OC-251V13JPI  
**ANTARCTICA**  
 AN-005 VK0MQI  
 AN-011 KC4/NK3T  
 AN-011 ZL5CP

**СОРЕВНОВАНИЯ**  
**CONTESTS**

Новости для радиоспортсменов

**Календарь соревнований по радиосвязи на KB (февраль)**

Дата	Время UTC	Название	Режимы
1 - 2	00.00 - 24.00	New Hampshire QSO Party	All
1 - 2	00.00 - 24.00	Vermont QSO Party	All
1 - 2	00.01 - 24.00	Ten-Ten Int. Winter QSO Party	Phone
1	08.00 - 11.00	NSA Fцrsamlingstest Winter	SSB
1 - 2	14.00 - 02.00	FYBO Winter QRP Field day	CW
1	14.00 - 24.00	Minnesota QSO Party	CW/SSB/RTTY
1	16.00 - 19.00	AGCW Straight Key Party	CW
1 - 2	17.00 - 05.00	Delaware QSO Party (1)	All
1 - 2	18.00 - 24.00	Mexico International RTTY Contest	RTTY
2	00.00 - 04.00	North American Sprint Contest	SSB
2	08.00 - 11.00	NSA Fцrsamlingstest Winter	CW
2 - 3	13.00 - 01.00	Delaware QSO Party (2)	All
4	02.00 - 04.00	ARS Spartan Sprint February	CW
8 - 9	00.00 - 24.00	CQ World-Wide RTTY WPX Contest	RTTY
8 - 9	00.00 - 24.00	Utah QSO Party	CW/SSB
8	11.00 - 13.00	Asia-Pacific Sprint - Spring - 20/40 m	CW
8 - 9	12.00 - 12.00	PACC Contest	CW/SSB
8-10	14.00 - 02.00	YLRL YL-OM Contest	CW
8	17.00 - 21.00	FISTS Winter Sprint	CW
8 - 9	20.00 - 05.00	Classic Radio Exchange	CW/SSB
8 - 9	21.00 - 01.00	RSGB 1.8 MHz Contest	CW
9	00.00 - 04.00	North American Sprint Contest	CW
9	20.00 - 24.00	QRP ARCI Fireside SSB Sprint	SSB
10-15	13.00 - 01.00	School Club Roundup	All
15-16	00.00 - 24.00	ARRL International DX Contest	CW
15-16	00.00 - 24.00	YLISB QSO Party	CW
15-17	14.00 - 02.00	YLRL YL-OM Contest	SSB
16	14.00 - 15.00	SSA Menadstest nr 2	SSB
16	15.15 - 16.15	SSA Menadstest nr 2	CW
19	19.00 - 20.30	AGCW Semi-Automatic Key Evening	CW
21-23	22.00 - 16.00	CQ WW 160-Meter Contest	SSB
22-23	06.00 - 18.00	REF Contest	SSB
22-23	13.00 - 13.00	UBA DX Contest	CW
23	09.00 - 11.00	High Speed Club CW Contest (1)	CW
23	15.00 - 17.00	High Speed Club CW Contest (2)	CW
23-24	17.00 - 03.00	North Carolina QSO Party	CW/SSB
23-24	22.00 - 03.59	CQC Winter QSO Party	CW/SSB

**Радиоэкспедиция**  
**UE3FWM**
**В. Молотков, RZ3FQ.**

С 6 по 8 декабря 2002 г. коллектив Домодедовского радиоклуба совместно с Детским морским центром (ДМЦ) "Альбатрос" г. Домодедово проводил традиционную радиоэкспедицию, посвященную Великой битве под Москвой в декабре 1941 г. Работа велась из с. Кашино в районе г. Волоколамск. Специальный позывной радиоэкспедиции UE3FWM был дан в память о моряках 64-й бригады морской пехоты. Работа проходила с двух рабочих мест на всех диапазонах кроме 160 м. В радиоэкспедиции приняли участие 35 человек, из них 19 - юные радиолюбители, курсанты ДМЦ "Альбатрос". QSL через бюро либо direct: Павлову Сергею, ул. Туполева, д. 4, кв. 60, Востряково-1, Московская область, 142021, Россия.

**Это наша с тобой биография**

**Владимир Третьяков, UR7IRL**

Владимир родился 23 февраля 1961 г. В эфире работает с 1984 г., бывший позывной UB5QVT. Любит охотиться за DX и новыми островами, увлекается дипломами. Владимир Третьяков - член Лиги радиолюбителей Украины, вице-президент Украинского QRP-клуба, а также член следующих клубов: UR-QRP-C #2; G-QRP-C #10098; U-DX-C #516; U-CW-C #438; KDR #125; CIGA # 529; HFC # 28-1. Имеет двоих сыновей, младший сын Павел имеет свой личный позывной UR6IRL.



## ДИПЛОМЫ AWARDS

Новости для коллекционеров дипломов

**Севастополь - город морской славы.** Учредитель: Севастопольское отделение Лиги радиолюбителей Украины. Для получения диплома необходимо набрать 100 очков. Для радиостанций Европы: за связь с мемориальной станцией г. Севастополь - 100 очков; за связь с коллективной станцией г. Севастополь - 50 очков; за связь с индивидуальной станцией г. Севастополь - 25 очков. Для радиостанций других континентов, а также за связи на диапазонах 160 м и УКВ очки удваиваются. Повторные связи засчитываются на разных диапазонах и разными видами излучения. Оплата диплома проводится почтовым переводом по курсу Укрсоцбанка на день оплаты: Украина - экв. 1\$; СНГ - экв. 2\$; остальные страны - экв. 5\$. Адрес для отправки заявок: Рецарю Максиму Леонидовичу, пр-т ген. Острякова, д. 143, кв. 40, г. Севастополь-55, 99055, Украина.



**"10x10".** Учредитель: Quebec Radio Club. Для получения диплома необходимо провести 10 радиосвязей на диапазоне 10 м с радиостанциями провинции Quebec. Стоимость диплома: US \$2 или 10 IRCs. Заявка, составленная на основании полученных QSL-карточек, высылается по адресу: Alex Desmeules VE2AFC, 41 Ste Catherine, BP4, Baie St Paul, QC G0A 1B0, Canada.

**THE STAMPEDE CITY.** Учредитель: Calgary Amateur Radio Association. Диплом выдается операторам радиостанций и радионаблюдателям всего мира. Для его получения необходимо набрать 10 очков за радиосвязи (наблюдения) с радиостанциями города Calgary (VE6). За радиосвязи с VE6AO, AP, AUZ, JI, MX, NQ (клубная станция), RQ, VK, VO и VE7DE начисляется по 2 очка, за другие радиостанции г. Калгари - по 1 очку. Засчитываются радиосвязи с 1 января 1962 г. Ограничений по диа-

пазонам и видам работы нет. Стоимость диплома \$3 US. Заявка без приложения QSL-карточек высылается по адресу: Award Manager, Stampede City Award, Calgary Amateur Radio Association, P.O.Box 592, Station "M", Calgary, AB, T2P 2J2, Canada.

**WINNIPEG DX CLUB.** Учредитель: Winnipeg Amateur Radio Club. Для получения диплома необходимо провести 31 радиосвязь с континентами: Африка - 5 QSO; Азия - 5 QSO; Европа - 5 QSO; Северная Америка - 5 QSO; Южная Америка - 5 QSO; Океания - 5 QSO; Антарктида - 1 QSO. Радиосвязи с каждого континента могут быть проведены с любыми странами, расположенными на нем, но Северная Америка должна быть представлена 5 радиосвязями с членами Winnipeg DX клуба: VE4AA, AE, AH, AS, AT, BJ, CJ, EW, MP, RP, SA, SK, SL, SW, XJ, SN. Стоимость диплома \$3 US или 15 IRCs. Заявка без приложения QSL-карточек высылается по адресу: Sandy Wohl, VE4SW, 33 Cheryhill Road, Winnipeg, Manitoba, Canada R2V 2L1.

**WORKED ALL WINNIPEG.** Учредитель: Winnipeg Amateur Radio Club. Диплом выдается за проведение радиосвязей с 10 радиостанциями VE4. Если условия диплома выполнены на одном диапазоне или одним видом работы, то к нему выдается специальная наклейка. Засчитываются радиосвязи с 1 января 1971 г. Ограничений по диапазонам и видам работы нет, но радиосвязи через ретрансляторы не засчитываются. Стоимость диплома \$2 US или 10 IRCs. Заявка без приложения QSL-карточек высылается по адресу: Awards Custodian, Gil Frederick VE4AG, 130 Maureen Street, Winnipeg, Manitoba, Canada, R3K 1M2.

**WORKED ATLANTIC PROVINCES.** Учредитель: Moncton Area Amateur Radio Club. Для получения диплома необходимо провести 7 радиосвязей с радиостанциями, расположенными в различных графствах канадских провинций Nova Scotia, New Brunswick, Prince Edward Island, Newfoundland и Labrador: с провинцией NS - 2 графства; с провинцией NB - 2 графства; с провинцией PEI - 1 графство; с провинциями VO1 или VO2 - 2 любые радиостанции. Стоимость диплома \$2 или 5 IRCs. Заявка, составленная на основании полученных QSL-карточек, высылается по адресу: Moncton Area Amateur Radio Club, P. O. Box 73, Moncton, New Brunswick, E1C 8R9, Canada.

**ZONE 2.** Учредитель: Club FER-HAM VE2RGA de Fermon. Диплом выдается операторам радиостанций и радионаблюдателям. Для его получения необходимо провести 3 радиосвязи (наблюдения) с радиостанциями WAZ зоны 2 (северо-восточная часть Северной Америки), причем у всех должны быть различные префиксы VA2/VE2, VO2, VE8. Радиостанции VA2/VE2 и VE8 должны находиться севернее 50° с. ш., а VE8 еще и восточнее 102° в. д. Все радиостанции VO2 находятся во 2-й зоне. Засчитываются радиосвязи с 1 января 1980 г. Стоимость диплома \$3 US или 8 IRCs. Заявка, составленная на основании полученных QSL-карточек (они не высылаются) и подписанная двумя радиолюбителями, высылается по адресу: Zone 2 Award, c/o Gilles Soucy VE2GSO, P.O. Box 46, Fermon, QC G0G 1J0, Canada.

## SIX NEWS (tnx UY5QZ)

Результаты украинских соревнований по радиосвязи на 50 МГц, проходивших 6-7 июля 2002 г.

**FT/Z, Amsterdam Island** - AF-002, Caroline, FT1ZK, в настоящее время активна на 6 м с маяком, работающим на 50.086 MHz; она пробудет на острове до конца января. QSL via F5JCB.

**P4, ARUBA** - Ken, K6TA, и Kay, K6KO, планируют работать с Арубы, IOTA SA-036, позывными P40TA и P40K соответственно в основном на диапазонах WARC и 6 м. Они примут участие в ARRL 10 м- и 160 м-Contest. QSL via WM6A.

Занятое место	CALL	QSO	Очки за QSO	QTH	loc	Страны	Mult	Всего очков
1	UY5QZ	72	119565	48	17	65	7771725	
2	UX0FF	105	165527	23	8	31	5224337	
3	UY5ZZ	39	65851	29	12	41	2699891	
4	UT2AM	35	55004	27	11	38	2090152	
5	UY5ON	21	32469	16	9	25	811725	
6	UT5JAJ	18	33328	12	5	17	566576	
7	UT4PR	17	20963	12	6	18	377334	
8	UT1YV	17	24729	10	5	15	370935	
9	UW8SM	11	14087	8	6	14	197218	
10	US4AS	9	13291	7	4	11	146201	
11	US5UL	5	7281	5	5	10	72810	

# В эфире - хребет Уреньга, гора Два Брата

А. Зубрицкий, RA9ARJ



В южной части Саткинского р-на Челябинской обл. в 200 км к западу от Челябинска и в 30 км от ближайших городов Сатки и Бакала, в наиболее высокогорной части Южного Урала, расположен один из красивейших парков России - национальный парк "Зюраткуль". Территория парка простирается с севера на юг на 49 км, с запада на восток на 28 км. Одной из природных композиционных осей парка является пересекающий территорию с северо-востока на юго-запад хребет Уреньга.

Желание пойти в горы Таганай с радиоэкспедицией возникло не на пустом месте. Этому предшествовали многочисленные полевые дни и тренировочные выезды на близлежащие озера Акуля и Белое. Предварительно все разведав, приходим к выводу, что совершить восхождение можно при условии хорошей погоды и наличии опытного проводника. Как запасной вариант выбрали хребет Уреньга.

Утвержден состав экспедиции: Ваулин К.В., RU9BZ; Зубрицкий А.Б., RA9ARJ; Сыров С.С., RA9ARV; Пипков Е., RA9АНН; Сергеев В.М., RX9AAF; Бурчик Ю.Г., RA9ASG; Кречетов Ю.К., RA9ARG; Ишунин А.С., RX9AFF; Михалев А., RX9AOG; Ваулин Алеша, RK9ALU; Ишунин Антон, RN9ADA, Лоскутов В.П. - кинооператор. Две женщины, опытные туристки, согласились готовить для нас еду на протяжении всего похода.

Мы рвемся в поход, но буквально перед самым стартом узнаем, что тяжело и надолго заболел наш проводник. Решаем использовать второй вариант - хребет Уреньга, гора Два Брата.

13 августа 1998 г. в 16 ч выехали на двух "УАЗах". Пять человек и часть тяжелого оборудования ехали в первом "УАЗе", а остальные девять человек, запасная бочка бензина и антенное хозяйство - во втором.

Стало смеркаться, когда подъехали к реке Ай. В 22 ч пошел сильный ливень, который не прекращался практически все три дня экспедиции.

На 144 МГц, не выходя из машин, провели краткое совещание и решили продолжать экспедицию.

Связываемся на 2 м с радиолюбителями Златоуста и объявляем им, что начинаем восхождение. Около отметки 700 м над уровнем моря в 02.30 останавливаемся. Подъем измотал всех до крайности. Волнуясь за детей, решаем отложить дальнейший подъем до утра и разбиваем основной лагерь.

Сказался опыт предыдущих полевых дней. Быстро устанавливаем 4 палатки, разводим костер под тентом, с полуоборота заводим бензоагрегат, устанавливаем на "телескопе" два инвертора на 20 и 40 м. В 03.36 на 40 м проводим первое QSO с RX9YX. Радиолюбители, несмотря на столь поздний час, ждали нас, и ночь прошла в очень высоком темпе. К утру "открылась" двадцатка, и начались связи с североамериканцами. В 08.00 пошли завтракать и менять позицию.



После завтрака решаем: поваров, ребят и кинооператора, который снимал фильм об экспедиции, оставить внизу. Сами же, вооружившись веревками, затаскиваем оборудование на отметку 1000 м над уровнем моря. Дальше с нашим тяжелым снаряжением идти нельзя.

Спустя 4 часа подъем завершен. В 12 ч начинаем устанавливать антенны. Быстро устанавливаем IV на 10, 15, 20, 40 м. Дождь закончился, но на смену ему пришло густое облако тумана. В тумане попытались установить 14-метровую мачту - согнули в дугу телескоп! Выход нашел Е. Пипков, RA9АНН, предложив в качестве мачт использовать двадцатипятиметровые ели. На верхушки привязыва-

ем веревки и натягиваем "Дельту" на 80 м и диполь на 160 м. Из оставшихся прямых трубок от согнутого телескопа и запасного комплекта набираем десятиметровую мачту и устанавливаем на нее GP на 144 МГц.

Все готово к 17 ч. Включаемся и работаем в эфире на наш диплом "Озерск" (за 1 QSO с RK9AZZ/р можно получить диплом). Количество радиолюбителей, зовущих нас, множится с каждым часом. Но появились и неприятные сюрпризы. Кто-то из местных упорно ставил помехи на частоту, долго и упорно "алекал". Чувствовалось, что это довольно опытный радист. Помехи ставил так "грамотно", что разобрать зовущие нас станции не было никакой возможности. Обидно! Наш результат мог быть во много раз лучше. Очень многие радиолюбители лишились возможности провести QSO с нами, а ведь даже такие небольшие радиоэкспедиции редки в наше время из-за отсутствия средств.

Вторая ночевка. Весело пылает костер, трещат сучья, которые в изобилии натаскали ребята. Опытный турист Сергеев В., RX9AAF, рассказывает нам о хребте Уреньга, название которого переводится как "Кленовый хребет". Протяженность его 70 км.

Ночью продолжаем работать на 40, 80 и 160 м. Отработали в эфире последнюю ночь и утром стали собираться домой. Быстро завтракаем, сматываем антенны, переносим грузы. До свидания, гора Два Брата! Мы уже начали привыкать к тебе.

Спускаясь с горы, "подслушали" разговор двух радиолюбителей из Златоуста на 144 МГц. Узнав о том, что экспедиция начала подъем на гору Два Брата, один из них с замиранием в голосе проговорил: "Сумасшедшие парни." Другой ответил: "А радиолюбители и есть сумасшедшие."

Считаем, что поход удался. Мы провели связи с 53 странами мира по списку DXCC и 48 областями бывшего СССР. Не менее 220 человек сработали с нами на наш диплом "Озерск".





С течением времени в руках любого радиолюбителя накапливается множество неисправных или просто ненужных компакт-дисков. Можно, конечно, их выбросить, а можно и найти им полезное применение. О практическом использовании старых CD пойдет речь в этой статье.

# Широкополосная антенна УКВ на основе CD

И. Григоров, RK3ZK, г. Белгород, Россия

Многие малогабаритные радиостанции УКВ позволяют работать на прием в диапазоне частот 130...170 МГц. Широкополосная антенна промышленного изготовления, обеспечивающая небольшой КСВ в столь широкой полосе частот, стоит сравнительно дорого. Используя же старые компакт-диски, можно собрать такую антенну практически бесплатно.

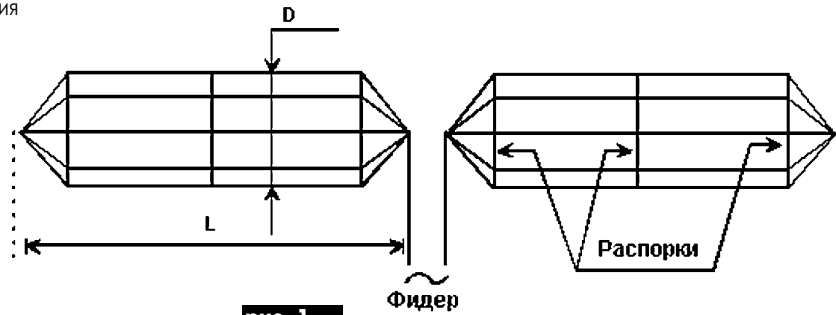


рис. 1

Активное сопротивление антенны, Ом

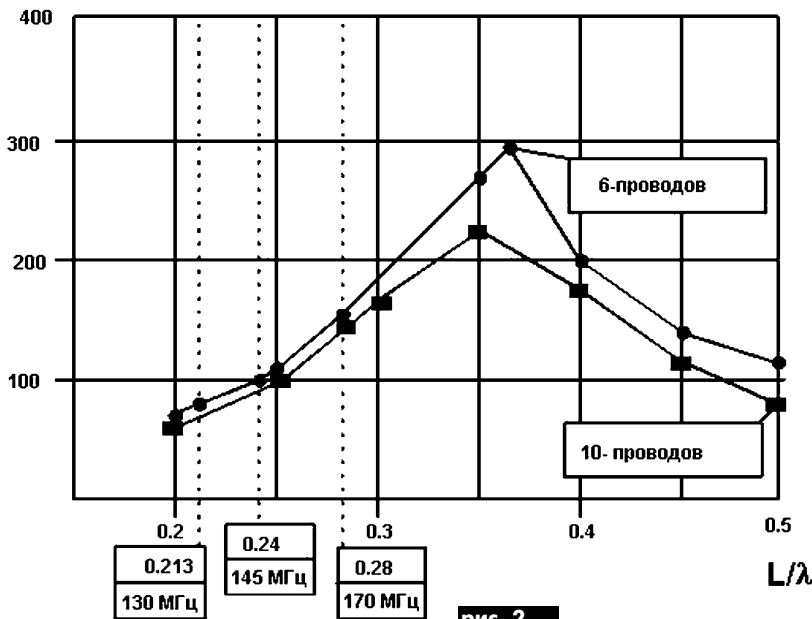


рис. 2

Реактивное сопротивление антенны, Ом

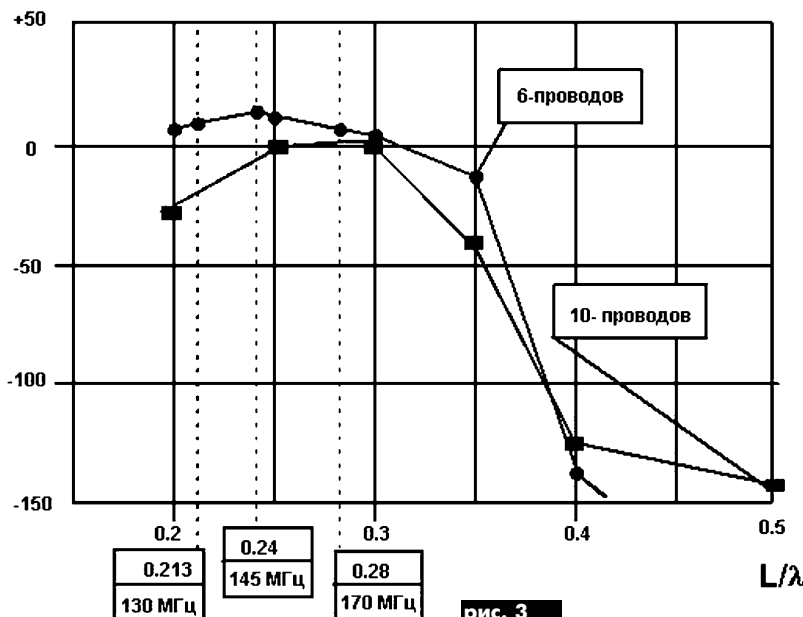


рис. 3

За основу конструкции широкополосной антенны выбран широкополосный диполь (рис.1), подробно описанный в [1]. Согласно методике, приведенной там же, рассчитаны размеры антенны и ее параметры. Расчет проводился для диаметра антенны  $D=110$  мм (чуть меньше диаметра CD). Были рассчитаны два варианта: с 6-ю и 10-ю проводками диаметром 0,5 мм, образующими полотно антенны. На рис.2 и рис.3 показаны расчетные графики зависимостей (соответственно) активной и реактивной составляющих входного сопротивления антенны от ее длины.

Такой диаметр провода выбран не случайно. Дело в том, что для изготовления антенны автор использовал провод от петли размагничивания старого монитора. Внутри корпуса монитора, возле его экрана, установлена прямоугольная петля, содержащая несколько сот витков медного провода. Во время включения питания эта петля проводит размагничивание экрана. При использовании более толстого провода входное сопротивление антенны будет немного меньшим.

Для практического изготовления выбрана антенна, содержащая 6 проводников длиной  $L=49$  см. Антенна такой длины имеет небольшую реактивность в полосе ее рабочих частот 130...170 МГц. Активное входное сопротивление антенны составляет 80 Ом на частоте 130 МГц, 100 Ом на частоте 145 МГц и 150 Ом на частоте 170 МГц. Для наглядной иллюстрации эти частоты указаны внизу рис.2 и рис.3.

Согласование антенны с коаксиальным кабелем волновым сопротивлением 50 Ом осуществляется с помощью отрезка 75-омного коаксиального кабеля (рис.4) длиной, равной четверти длины волны в кабеле на частоте 144 МГц. На частоте 130 МГц длина этого отрезка составляет  $0,217\lambda$ , а на частоте 170 МГц -  $0,292\lambda$ , поэтому во всем диапазоне 130...170 МГц обеспечивается неплохое согласование (КСВ не превышает 1,5). Расчетные данные по согласованию приведены в таблице (обозначения см. на рис.4).

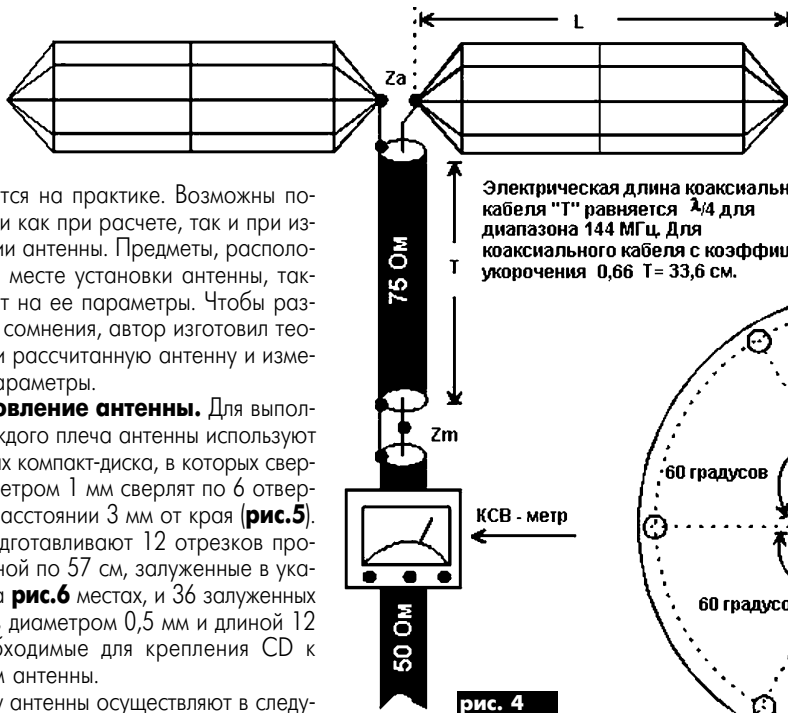
Но, что хорошо в теории, не всегда под-



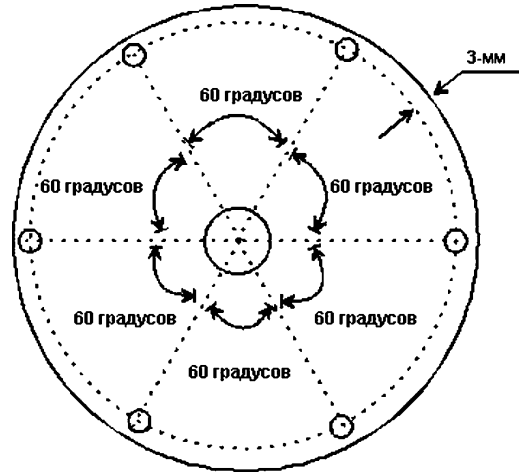
тверждается на практике. Возможны погрешности как при расчете, так и при изготовлении антенны. Предметы, расположенные в месте установки антенны, также влияют на ее параметры. Чтобы развеять все сомнения, автор изготовил теоретически рассчитанную антенну и измерил ее параметры.

**Изготовление антенны.** Для выполнения каждого плеча антенны используют три старых компакт-диска, в которых сверлом диаметром 1 мм сверлят по 6 отверстий на расстоянии 3 мм от края (рис.5). Затем подготавливают 12 отрезков провода длиной по 57 см, залуженные в указанных на рис.6 местах, и 36 залуженных проводов диаметром 0,5 мм и длиной 12 мм, необходимые для крепления CD к проводам антенны.

Сборку антенны осуществляют в следующей последовательности. Складывают вместе 6 проводов. На одном из концов

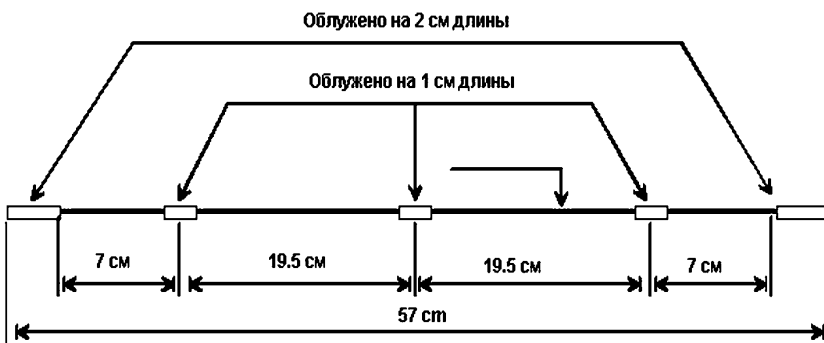


Электрическая длина коаксиального кабеля "Т" равняется  $\lambda/4$  для диапазона 144 МГц. Для коаксиального кабеля с коэффициентом укорочения 0,66  $T = 33,6$  см.

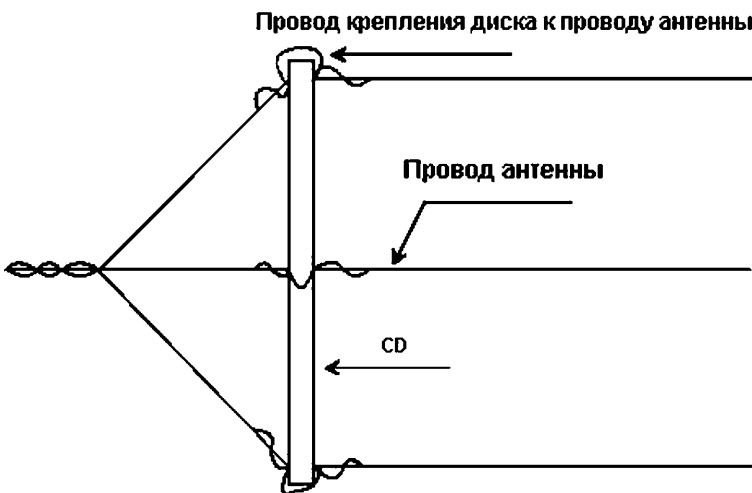


6 отверстий диаметром 1 мм **рис. 5**

F, МГц	$\lambda$ , см	L/ $\lambda$	Za, Ом	Zm, Ом	T/ $\lambda$	КСВ в кабеле 50 Ом
130	230	0,213	80+j7	68+j3,5	0,217	1,37
145	206	0,24	100+j12	55,5-j6,6	0,25	1,17
170	170	0,28	150+j6	39+j13	0,292	1,47



**рис. 6**



**рис. 7**

их сплетают и спаивают вместе. На первые залуженные места в их начало на длину 3 мм накручивают и припаивают провода, предназначенные для крепления CD. На провода антенны надевают CD. Проводники крепления CD накручивают на провода антенны за диском и припаивают (рис.7). Далее в такой же последовательности устанавливают другие CD. В верхней части антенны проводгибают петлей. За эту петлю антенну впоследствии подвешивают в оконном проеме.

Во время испытаний изготовленной антенны на любительском диапазоне 144 МГц КСВ в коаксиальном кабеле 50 Ом, измеренный с помощью КСВ-метра на направленных ответвителях, не превышал 1,2 на краях этого диапазона. На частоте 170 МГц КСВ был равен 1,6, на частоте 130 МГц - 1,4. Таким образом, реальный КСВ в коаксиальном кабеле немного отличается от его расчетного значения.

Антенна показала хорошие результаты при работе с широкополосным приемником диапазона 130...170 МГц и неплохо работает на передачу в радилюбительском диапазоне 144 МГц. Для дальнейших экспериментов со старыми CD рекомендую ознакомиться с [2], где описан способ изготовления широкополосной антенны на основе CD для любительского диапазона 10 м.

#### Литература

1. Айзенберг Г.З. Коротковолновые антенны. - М.: Радио и связь, 1985.
2. Филенко Н. Лазерные диски на антенну// [www.krasnodar.online.ru/ham-radio](http://www.krasnodar.online.ru/ham-radio).



Несмотря на большое количество противоугонных устройств, представленных на рынке, проблема охраны транспортных средств до сих пор остается актуальной. Срабатывание сигнализации не дает хозяину практически никаких преимуществ перед владельцами автомобилей без сигнализации, так как обычно окружающие никак не реагируют на вой сирены, а сам хозяин находится достаточно далеко. Помочь в этой ситуации может пейджер, который, находясь в кармане у хозяина, в случае взлома автомобиля сигнализирует об опасности угона, не создавая лишнего шума. Важным преимуществом пейджера является также то, что угонщик не знает о передатчике, находящемся в автомобиле, а значит, существует возможность, заперев его сигналы, найти уже угнанную машину.

# Пейджер для автомобиля

С.М. Абрамов, г. Оренбург, Россия

Для охраны автомобилей выделена одна-единственная частота 26945 кГц. Поэтому, чтобы пейджер мог распоз-

нать свой передатчик, радиосигнал нужно кодировать. Примененные в данной конструкции микросхемы (кодер

МС145026 и декодер МС145028) позволяют сформировать 19683 различные комбинации [2] при использовании одной рабочей частоты внутреннего генератора микросхемы.

Пейджер представляет собой приемник с декодером импульсной последовательности, на котором переключками устанавливают выбранный код автомобиля. Звуковой сигнализатор пейджера включается только при совпадении принятого ко-

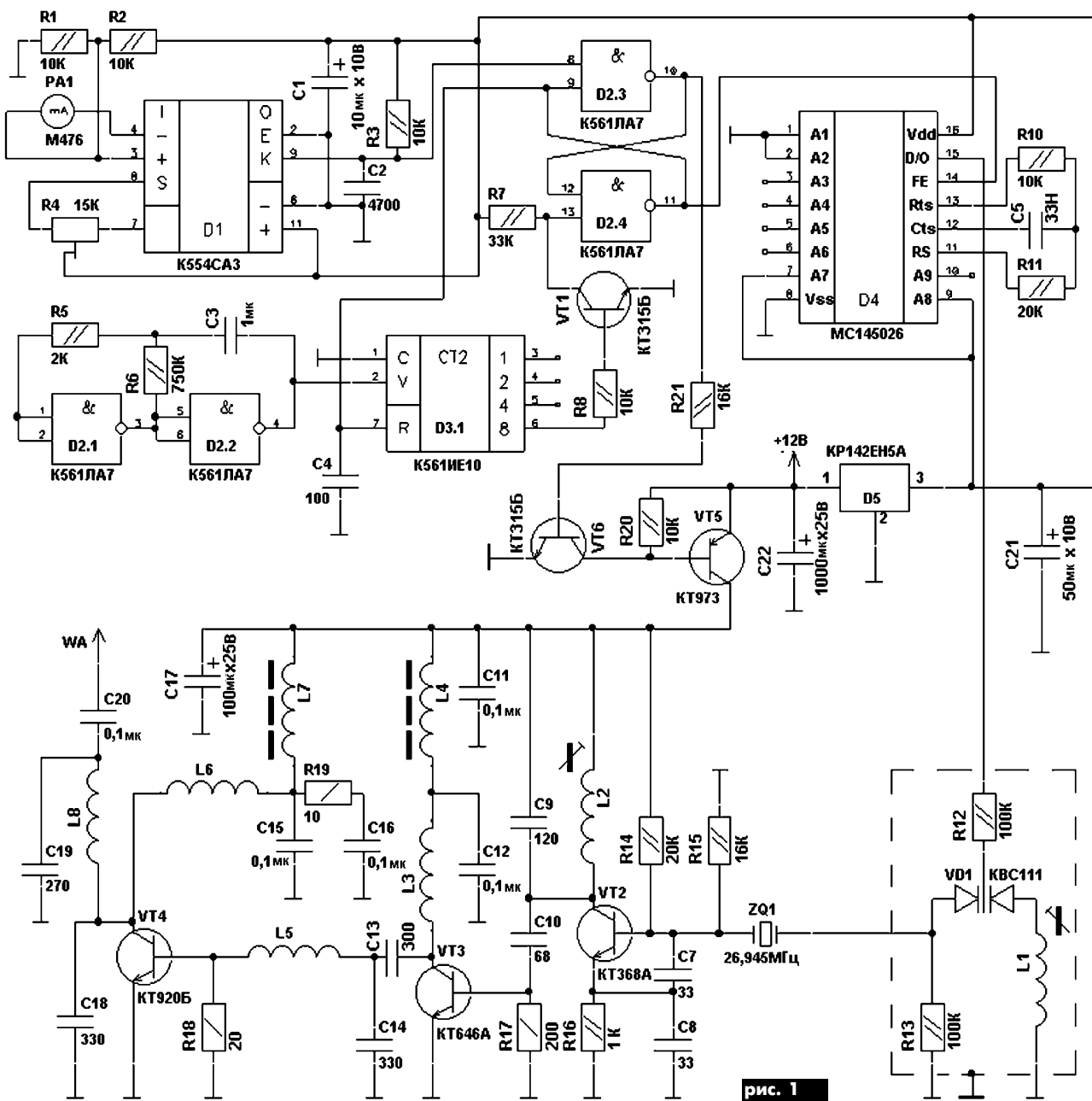


рис. 1



да с установленным. Сигнал опасности (частотно-модулированную импульсную последовательность с тем же кодом, что и у приемника) излучает передатчик, установленный в автомобиле, который включается на несколько секунд при срабатывании датчика качения системы охраны.

Схема передатчика показана на **рис.1**. На микросхеме D1, микроамперметре PA1 и элементах R1-R4, C1, C2 построен датчик качения. При изменении положения кузова, а следовательно, и микроамперметра на выходе компаратора появляется лог."0", который сбрасывает RS-триггер, собранный на D2.3, D2.4. Единичный уровень с выв. 10 D2.3 открывает транзисторы VT6, VT5, и передатчик включается. Напряжение лог."0" с вывода 11 микросхемы D2.4 поступает на разрешающий вход кодера, а также на вход R счетчика D3.1. Счетчик выходит из режима сброса и начинает считать импульсы генератора D2.1, D2.2. С появлением лог."1" на выводе 6 счетчика открывается транзистор VT1, устанавливая RS-триггер в первоначальное состояние и сбрасывая счетчик. Если возмущение датчика прекращается, система остается в этом состоянии сколь угодно долго, а если нет, то описанный процесс повторяется. Конденсатор C4 необходим для первоначального сброса счетчика и перевода RS-триггера в дежурный режим.

Кодовые послылки с кодера поступают на частотный модулятор передатчика (элементы VD1, L1, L2, ZQ1, VT2, R12-R16, C7, C8), а затем на усилитель ВЧ (элементы VT3, VT4, R17-R19, C9-C20, L3-L8).

Схема приемника представлена на **рис.2**. Его высокочастотная часть аналогична [3], кроме цепей АРУ. Они в данной схеме не нужны, поэтому фильтровый усилитель микросхемы D1 работает в режиме компаратора, рабочую точку которого устанавливают подстроечным резистором R1 по минимуму высокочастотных шумов. Далее сигнал поступает на формирователь логического уровня на транзисторах VT2, VT3 и резисторах R8-R11. Кодовая последовательность декодируется микросхемой D2. При совпадении кодовых послылок на выходе микросхемы D2 (вывод 11) появляется лог."1", которая запускает генератор на D3, и раздается тревожный сигнал.

Напряжение питания микросхемы D2 увеличено до 6 В, так как она

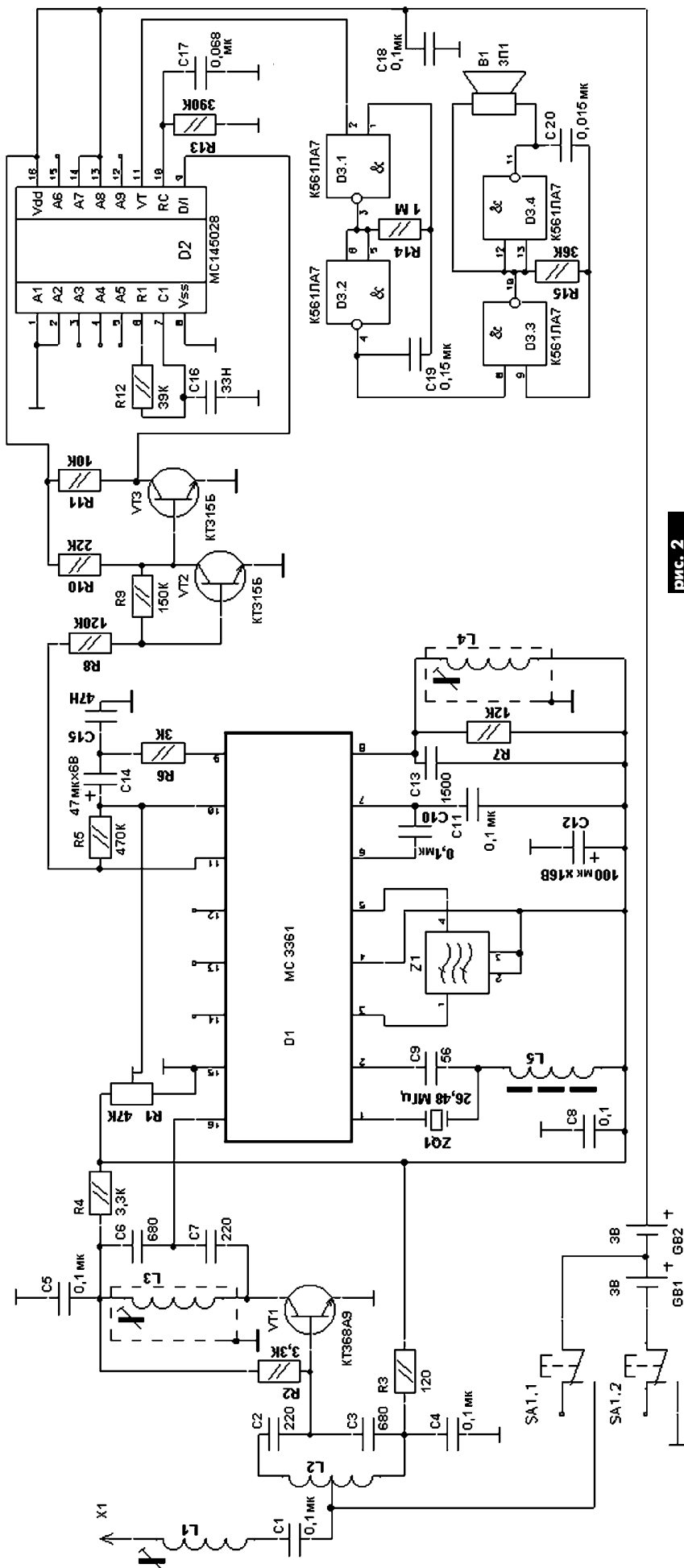


рис. 2

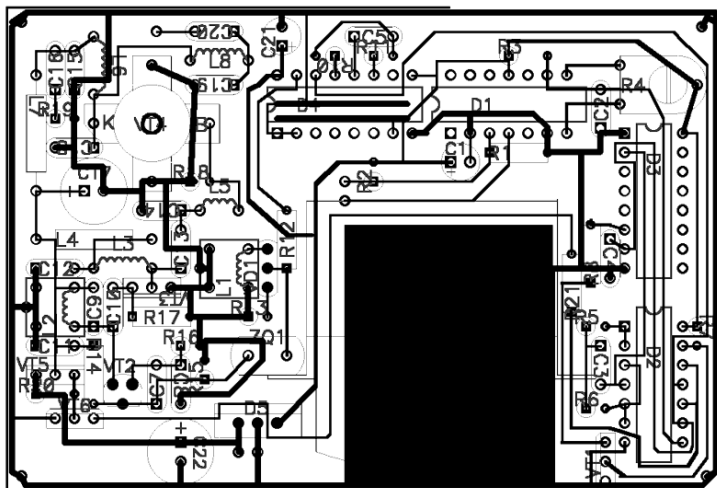


рис. 3

Таблица 1

Позиционное обозначение	Диаметр каркаса, мм	Количество витков	Сердечник	Провод	Примечание
L1	4,2	10	МП100	ПЭВ 0,31	
L2	4,2	6	МП100	ПЭВ 0,25	
L3	4,0	9		ПЭВ 0,31	
L4					ДПМ1-0,6...10 мкГн
L5	6,0	3		ПЭВ 0,8	
L6	4,0	15		ПЭВ 0,31	
L7					ДПМ1-0,6...8 мкГн
L8	8,0	8		ПЭВ 0,8	

Таблица 2

Позиционное обозначение	Диаметр каркаса, мм	Количество витков	Сердечник	Провод	Примечание
L1	3,0	10		ПЭВ1-0,35	
L2	3,0	15		ПЭВ1-0,56	Отвод от 6 витка снизу
L3	4,2	6	МП100	ПЭВ1-0,35	
L4	4,2	145	МП100	ПЭВ1-0,1	
L5	2,8	19	От ДПМЗ	ПЭВ1-0,35	

рассчитана на работу при напряжении питания 4,5...18 В. Кодовые комбинации устанавливают изменением уровней на адресных входах. Микросхемы воспринимают три состояния: лог."0", лог."1" и неподключенный адресный вход. Нужно установить идентичные адреса на коде-ре и декодере, а также одинаковую частоту внутренних генераторов [2].

**Налаживание** начинают с передатчика. Резистором R4 находят такое положение, при котором на выводе 9 компаратора D1 остается лог."1", а при легком постукивании по микроамперметру устанавливается лог."0". Далее, отключив вывод 15 D4, к резистору R12 подключают НЧ-генератор и, изменяя индуктивности катушек, добиваются максимального усиления. Затем настраива-

ют контуры приемника с помощью генератора качающейся частоты [3] и выставляют рабочую точку резистором R1 (рис.2).

Для проверки декодирования подают сигнал с вывода 15 микросхемы D4 передатчика на вывод 9 микросхемы D2 приемника, отключив ее от формирователя логического уровня. Схема исправна, если при этом на выводе 11 D2 появляется лог."1" или работает пьезоизлучатель В1. Далее восстанавливают все соединения и проверяют приемник совместно с передатчиком.

В устройстве применены электролитические конденсаторы типа К50-35. ТКЕ конденсатора С5 передатчика, а также конденсаторов С14, С16, С17 приемника должны быть минимальны. Можно так-

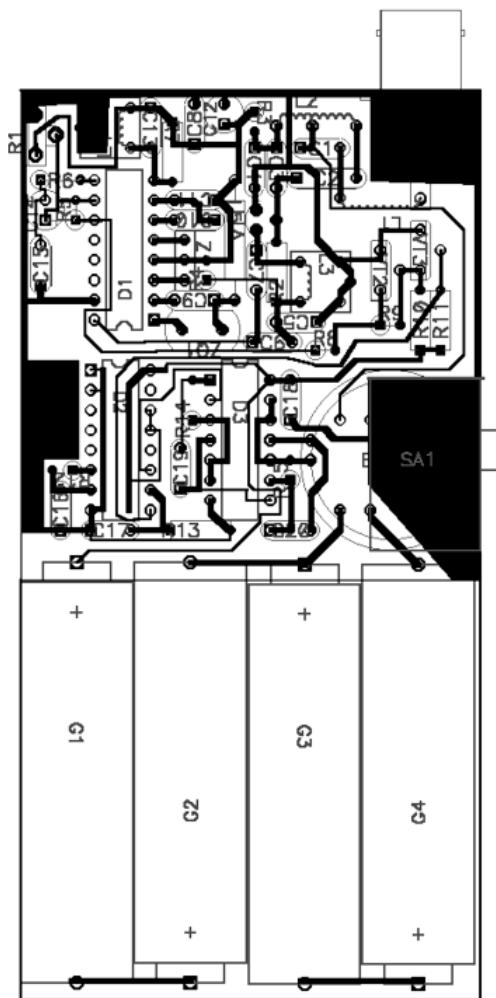


рис. 4

же использовать в качестве этих конденсаторов К73-17. Остальные конденсаторы типа КМ, резисторы типа МЛТ. Микроамперметр М476 дорабатывают: на стрелке закрепляют грузик так, чтобы при опущенной вниз шкале прибора стрелка была в центре. Моточные данные катушек передатчика приведены в табл.1, приемника - в табл.2.

Печатные платы передатчика (рис.3) и приемника (рис.4) изготовлены из двустороннего фольгированного стеклотекстолита и имеют размеры 59х60 мм и 64х94 мм соответственно. Со стороны деталей отверстия зенкуют, кроме мест соединения деталей с "землей". В этих местах детали паяют с обеих сторон.

*Литература*

1. Брускин В. Зарубежные микросхемы связанных радиоприемников// Радиолюбитель. - 1999. - №1. - С. 14.
2. Жигачев В.А., Паремский А.В. Кодированные и декодирующие устройства на основе БИС фирмы "Motorola"// Радиолюбитель. - 1994. - №6. - С. 62.
3. Минаков Г., Федотов М., Травников Д. Радиостанция "Колибри"// Радио. - 1999. - №1. - С. 59.



В статье описаны конструкция и технология изготовления устройства для настройки в резонанс входной цепи приемника искателя поврежденных кабеля связи ИП-8. Данный материал будет полезен не только специалистам, занимающимся ремонтом радиоизмерительных приборов, но и радиолюбителям, экспериментирующим с различными видами поисковых приборов, в которых применяются магнитные антенны.

# Индуктор для настройки кабелеискателей

С.А. Елкин, UR5XAO, г. Житомир

Согласно паспорта завода-изготовителя на приемник (RX) искателя поврежденных кабеля ИП-8 (структурная схема приведена на **рис.1**), настройку, необходимые регулировки и проверку выполняют по схеме проверок основных характеристик RX ИП-8, показанной на **рис.2**. На схеме: R1 - резистор МЛТ-0,5-510 кОм; R2 - резистор МЛТ-0,5-51 Ом; G1 - генератор звуковых частот ГЗ-102; G2 - источник постоянного тока Б5-29; P1, P5 - милливольтметр ВЗ-38; P2 - частотомер ЧЗ-57; P3 - вольтамперметр М2038; P4 - миллиамперметр Э524; P6 - измеритель нелинейных искажений С6-7; P7 - осциллограф С1-76; В - головные телефоны.

Внимательный анализ данной схемы показывает, что она позволяет измерять только чувствительность электрического тракта RX, а сама антенна W1 в измерениях не используется. При перестройке частоты испытательного генератора G1

обнаружено, что амплитудно-частотная характеристика усилительного тракта RX из-за применения в качестве

нагрузки RX электромагнитных телефонов BF1 имеет к тому же нежелательный подъем на частоте конструктивного резонанса BF1 (около 2,7...3 кГц). В некоторых экземплярах RX это вызывает паразитное самовозбуждение, обусловленное переусилением тракта. Кроме того, длительное вынужденное прослушивание частоты 1071 Гц при ремонте RX создает определенный дискомфорт.

Опыт практических ремонтов RX ИП-8 свидетельствует о том, что за время эксплуатации из-за значительных изменений индуктивности ферритовой антенны W1 и емкости контурного конденсатора С1 система антенна-приемник сильно расстраивается относительно измерительной частоты 1071 Гц, что приводит к потере реальной чувствительности RX.

Конструктивно RX выполнен в виде переносного радиоэлектронного устройства, ферритовая антенна W1 которого размещена в отдельном Т-образном штоке и герметизирована, что не предполагает ее подстройки (настройка в резонанс осуществляется только подбором конденсатора С1). W1 соединяется с корпусом RX гибким экранированным проводом с разъемом. Конденсатор С1 резонансного контура расположен на плате RX.

Дополнить заводскую схему настроек ИП-8 возможностью настройки в резонанс сквозного тракта RX со стороны W1

можно, если проводить ее с помощью индуктора W2, который по сути является многовитковой широкополосной излучающей рамочной (магнитной) антенной малой мощности. Конструкция индуктора показана на **рис.3**. Такая конструкция в практической эксплуатации позволяет простым способом унифицировать условия ремонта, послеремонтных настроек и проверки, а также устранить все вышеперечисленные недостатки.

Проверка настройки в резонанс системы W1-RX проводится согласно схемы (**рис.4**) следующим образом. К выходу G1 подключают индуктор W2, к разъему телефонов RX - активный эквивалент нагрузки (резистор R1 сопротивлением 800 Ом, параллельно которому включают индикатор резонанса PA2 - электронный осциллограф). Частоту G1 устанавливают равной 1071 Гц. В отверстие, расположенное в прозрачной части индуктора (**рис.3, поз.1**), вставляют одну из половинок W1. Расстраивают G1 относительно частоты 1071 Гц в обе стороны до достижения резонанса. Уровень сигнала от G1 устанавливают таким, чтобы обеспечить достаточный динамический диапазон при наблюдении и измерениях (если при резонансе искажений в виде ограничения синусоиды не наблюдается, то уровень достаточный). С помощью магазина емкостей подбирают емкость С1 до достижения резонанса точно на частоте 1071 Гц.

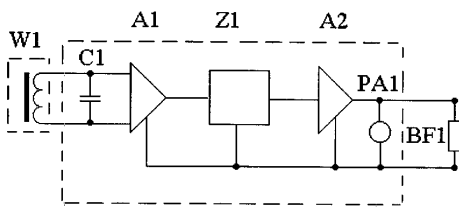


рис. 1

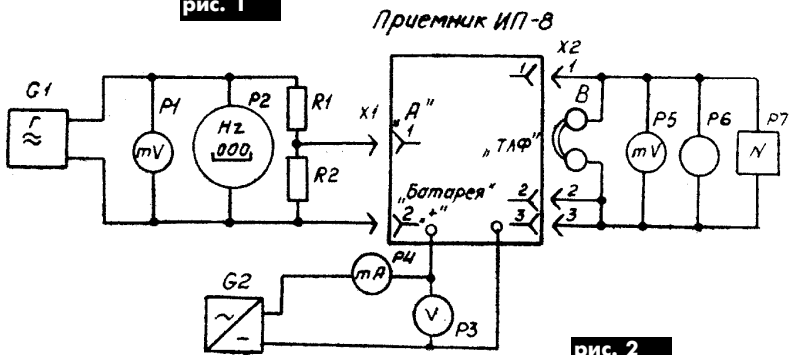


рис. 2

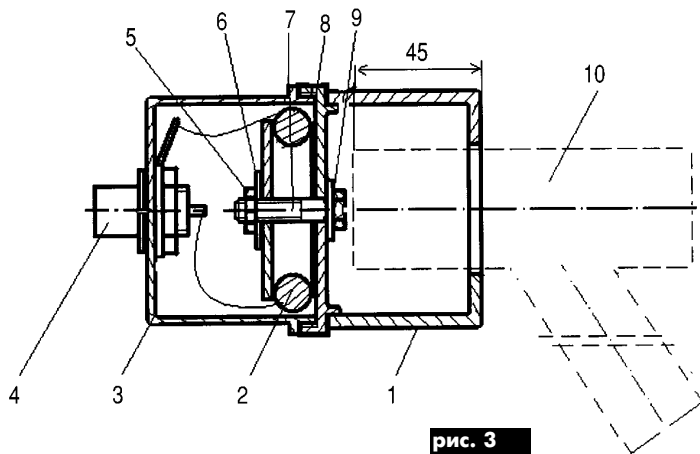


рис. 3

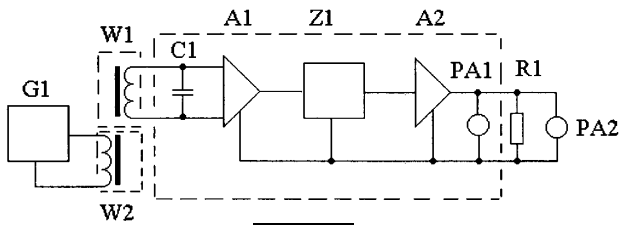


рис. 4

**Конструкция.** Для установки индуктора (поз.1, 3, 8) использован готовый корпус от крема для обуви "Harley". Детали корпуса требуют минимальной механической обработки. В прозрачной части корпуса 1 вырезают отверстие диаметром 36 мм, достаточное для ввода большинства конструкций W1 ИП-8 и аналогичных искателей других марок. В геометрическом центре непрозрачной части 3 выпиливают отверстие для установки разъема 4 типа CP-50. В геометрическом центре непрозрачной резьбовой крышки 8 сверлят отверстие диаметром 3,2 мм.

Катушка индуктора 2 бескаркасная. Ее изготавливают

следующим образом. Сначала на оправке диаметром 30 мм (корпус конденсатора К50-6 2000 мкФ, 16 В) и разрезной бумажной гильзе из картона толщиной 0,3 мм наматывают внавал на участке шириной 10 мм 300 витков провода ПЭВ-2 диаметром 0,35 мм. После этого катушку с гильзой аккуратно снимают с каркаса и удаляют гильзу. Катушку обматывают поливинилхлоридной изоленой таким образом, чтобы придать ей тороидальную форму. Индуктивность катушки индуктора 3,5 мГн.

Сборка индуктора очевидна из рис.3. С помощью винта 7 с гайкой 5 М3, шайбы 6 из гетинакса толщиной 2 мм и двух металлических шайб 6, 9 катушку 2 крепят к непрозрачной крышке 8, соединенной с непрозрачной частью корпуса резьбовым соединением. Выводы катушки индуктора 2 подпаивают непосредственно к коаксиальному разъему CP-50.

Прозрачную часть корпуса 1 соединяют с непрозрачной крышкой 8 простым надеванием с натягом, как и предусмотрено "родной" конструкцией. Данный индуктор используется также для проверки и настройки в резонанс входных цепей поискового устройства КИ-4ПИ комплекта КИ-4П, искателя кабелей связи ИП-7 и искателя кабелей связи УП-01.

*В настоящее время в ряде городов СНГ эксплуатируются цифровые АТС С32. Существует достаточно много (более 15) моделей телефонов этой системы. Все они построены с использованием в основном сходных схемных решений, ставших "де-факто" стандартом, хотя их комплектация различна. В журнале "Радиоаматор" уже описывалась конструкция [1] устройства сопряжения аналоговых устройств (радиотелефонов, автоответчиков, АОНов, факсов, модемов) и цифровой линии с использованием широтно-импульсной модуляции (ШИМ) на основе микроконтроллера AT90S23134 фирмы "Atmel". В предлагаемой вниманию читателей статье тот же автор описывает две схемы цифровых телефонных аппаратов системы С32, в которых реализован данный кодек. В первой части рассмотрена базовая схема. Более "продвинутой" модель, дополненная рядом новых сервисных функций, будет представлена в следующем номере журнала.*

## Цифровые телефоны для системы С32

А. Попель, г. Запорожье

**Описана схема цифрового телефона системы С32, выполненного на микроконтроллере AT90S2313 фирмы "Atmel". В нем программно реализован адаптивный дельта-кодек с использованием ШИМ для выдачи аналогового сигнала как в тракте приема, так и в тракте передачи, а также функции блока управления с дополнительной памятью номеров и вызывного устройства. Данная модель в 2001 г. успешно прошла сертификационные испытания на фирме "СтандартСервис" (г. Ивано-Франковск).**

В настоящее время существуют различные модели цифровых телефонов для системы С32. Телефон "Электроника-211" (Минск, 1994) (даты здесь и далее примерные, точных данных нет) построен с применением специализированной ИМС КР1575ХМ1-003 (блок управления) и гибридной сборки АМ1 (адаптивный дельта-кодек: две резисторные матрицы вида 1-2-4-8-16-32-64-128 + кристалл 1575ХМ1-002). В составе схемы имеется еще 6 ИМС КР140УД1208 (интеграторы, активные фильтры), К554СА3, 564ЛА7, вызывное устройство КР1436АП1 и 17

транзисторов.

Телефон "Дельта-302" (ООО "Мител", Днепропетровск, 1995) построен примерно по той же схеме, только в качестве фильтров используются специализированные микросборки ФНЗ1, ФНЗ2, а в качестве вызывного устройства - КР1008ВЖ4.

Недостатком таких моделей является малое количество функций, жестко определенных логикой КР1575ХМ1-003, а также высокая стоимость специализированных микросборок, обусловленная наличием точных резисторных матриц, и влияние разброса номиналов резисторов на качество формирования звука.

Более совершенные модели построены с использованием микроконтроллеров. Например, "Дельта-204" (Днепропетровск, 1998) имеет 28-выводной ПИС-контроллер фирмы "Microchip" в блоке управления, вызывное устройство КР1008ВЖ4 и микросхему адаптивного дельта-кодека/фильтра КР1145ПП5, которая интегрирует в себе большую часть устройства. Однако и в этом случае остаются те же недостатки: высокая стоимость КР1145ПП5 и ухудшение качества звука за счет разброса номиналов резисторов (хотя и внутри микросхемы).

Не свободны от все тех же недостатков телефоны ООО "ПИК ЛТД" (Запорожье), например, телефон "Окапи 202" (1999 г.), имеющий существенное преимущество перед ранее перечисленными - программное совмещение функций блока управления, вызывного устройства и адаптивного дельта-кодека в одном ПИС-контроллере. Коммутирование резисторных матриц микроконтроллером привело к использованию 40-выводных ИМС, что не способствовало удешевлению, а разброс номиналов резисторов матриц, как фактор ухудшения качества звука, остался. Кроме того, не следует сбрасывать со счетов и "человеческий фактор": при пайке таких линеек резисторов достаточно часто случаются ошибки. При отсутствии средств объективного контроля качества звука (а на большинстве малых предприятий их действительно нет) эти ошибки часто остаются не выявленными.

После публикации схемы дигитайзера [1], в котором программно реализован дельта-кодек с выдачей аналогового сигнала с ШИМ, и демонстрации моих образцов в ООО "ПИК ЛТД" там также смогли реализовать широтно-импульсную модуляцию, правда, только в тракте



приема с линии. Тем не менее, это позволило в модели "Окапи-202" (2001 г.) использовать более дешевые 28-выводные PIC-контроллеры.

Очевидно, что применение ШИМ для выдачи аналогового сигнала имеет много преимуществ перед использованием матрицы резисторов. К сожалению, более детальное сравнение этих (и других) телефонов С32 затруднено отсутствием публикаций по данной тематике в доступной широкому кругу читателей литературе.

Чтобы в какой-то мере восполнить этот пробел, предлагаю схему цифрового телефонного аппарата (ЦТА) системы С32, выполненного на микроконтроллере AT90S2313 фирмы "Atmel", в котором программно реализован адаптивный дельта-кодек с использованием ШИМ для выдачи аналогового сигнала как в тракте приема, так и в тракте передачи, а также функции блока управления с дополнительной памятью номеров и вызывного устройства.

### Основные функции ЦТА:

прием и передача речевых сигналов; индикация неправильной полярности при подключении линии: светодиод светится непрерывно при положенной трубке;

индикация дежурного режима: при положенной трубке светодиод выдает короткие вспышки через каждые 1,5 с;

прием и воспроизведение двухтонального вызова;

выбор тональности и громкости вызывного акустического сигнала: при положенной трубке нажатие кнопок "4" и "5" повышает тон вызывного сигнала, нажатие кнопок "7" и "8" понижает (грубо и плавно); кнопки "1", "2", "3" служат для непосредственной установки минимального, среднего и максимального уровней громкости, а кнопки "6" и "9" - для увеличения и уменьшения громкости. Кнопка "\*" демонстрирует установленный сигнал вызова, кнопка "0" восстанавливает фирменные установки сигнала вызова;

набор номера вызываемого абонента и кодов дополнительных видов обслужи-

вания (кнопки "0" - "9", "#", "\*" при поднятой трубке);

подзвонка нажатия кнопок; отбой соединения или набора номера нажатием рычага трубки;

параллельное подключение второго ЦТА с равным приоритетом: звонят оба, разговор там, где раньше поднята трубка;

индикация передачи в линию: после подъема трубки светодиод светится непрерывно (и при поднятии трубки на параллельном аппарате);

отключение микрофона во время разговора удержанием кнопки "MUTE" в нажатом состоянии;

хранение и повтор последнего набранного номера нажатием кнопки "REDIAL" сразу после подъема трубки;

звуковая индикация автоматического набора номера;

программирование дополнительной памяти (12 номеров до 20 цифр каждый), хранение номеров в энергонезависимой памяти EEPROM микроконтроллера.

Программирование дополнительной памяти осуществляют следующим образом.

1. Нажимают кнопки "MUTE" и "REDIAL" (кнопку "MUTE" нажать первой, отпустить последней), светодиод гаснет на 0,4 с, индицируя переход к программированию.

2. Набирают номер (кнопки "0" - "9", "#", "\*"; кнопка "REDIAL" программирует дополнительную паузу в 3 с), номер в линию не передается.

3. Повторно нажимают кнопки "MUTE" и "REDIAL" (светодиод гаснет на 0,4 с).

4. Нажимают одну из 12 кнопок ("0" - "9", "#", "\*"), светодиод опять гаснет на 0,4 с, индицируя успешное сохранение номера в дополнительной памяти.

Для набора номера после подъема трубки нажимают кнопку "MUTE" и одну из кнопок "0" - "9", "#", "\*".

### Дополнительные функции ЦТА:

индикация отсутствия импульсов цифровой линии (при наличии линейного питания): светодиод около 1,5 с светится, затем следует пауза 1,5 с;

выключение/включение мигания светодиода в дежурном режиме нажатием кнопки "#" при положенной трубке. При нажатии кнопки "0" восстанавливается установка мигания в дежурном режиме (вместе с установкой фирменных настроек сигнала вызова).

### Технические данные

Электропитание ЦТА осуществляется от линии, напряжение питания 13...17 В.

Ток, потребляемый ЦТА (при напряжении 15 В):

в состоянии покоя, не более 2,5 мА; в разговорном режиме, не более 10 мА;

в режиме вызова, не более 7,5 мА (при фирменных установках звонка).

Максимальный уровень вызывного акустического сигнала, не менее 70 дБ.

Количество градаций тона в диапазоне 560... 3950 Гц 26 (грубо), 214 (плавно).

Количество градаций громкости 12.

Параметры линейного сигнала ЦТА и коды передаваемых сигналов соответствуют протоколу С32.

Блок-схема цифрового телефонного аппарата С32 показана на рис. 1. Входной сигнал с цифровой абонентской линии (ЦАЛ) разделяется устройством сопряжения (УС) на питающее напряжение 15 В и поток импульсов с линии, которые через транслятор уровня (ТрУ) поступают непосредственно в микроконтроллер (МК). Линейное питание +15 В подается на формирователь вызывного сигнала (ФВС) и блок питания (БП), который выдает напряжение +3,3 В для питания МК и напряжение +12 В для питания формирователя импульсов линии (ФИ). БП формирует также напряжение +1,65 В, необходимое для правильной установки режима работы аналоговых блоков.

Остальные блоки при положенной трубке отключены от питания рычажным переключателем S2. МК программно обрабатывает поток импульсов, различая лог."0" и лог."1" по длительности, и при поступлении теста выдает ответ в сторону АТС через ФИ. При поступлении вызова МК формирует вызывной акустический сигнал, управляя ФВС, с выхода которого сигнал поступает на пьезоизлучатель BQ1. МК также сканирует клавиатуру S1, при нажатии формирует акустический сигнал нажатия через тот же ФВС и изменяет соответствующие параметры. Индикатор "Инд." включается МК или детектором сигнала линии, входящим в состав УС.

При поднятии трубки напряжение +12 В подается также на аналоговые блоки телефона через переключатель рычага S2. МК определяет состояние "Поднятие", получая лог."1" от формирователя Ф, и переходит к работе в режиме "Поднятие": дескремблирует поток импульсов с ЦАЛ, декодирует его в соответствии с законом адаптивной дельта-модуляции С32 (АДМ С32) и преобразует в широт-

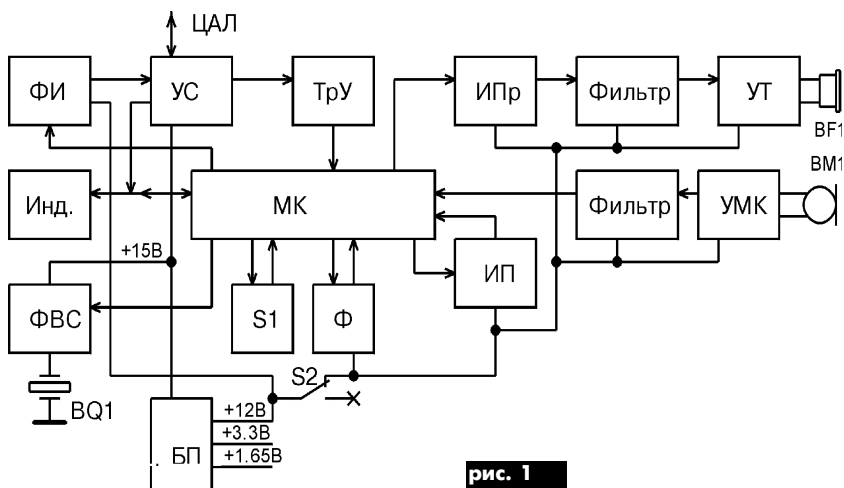


рис. 1

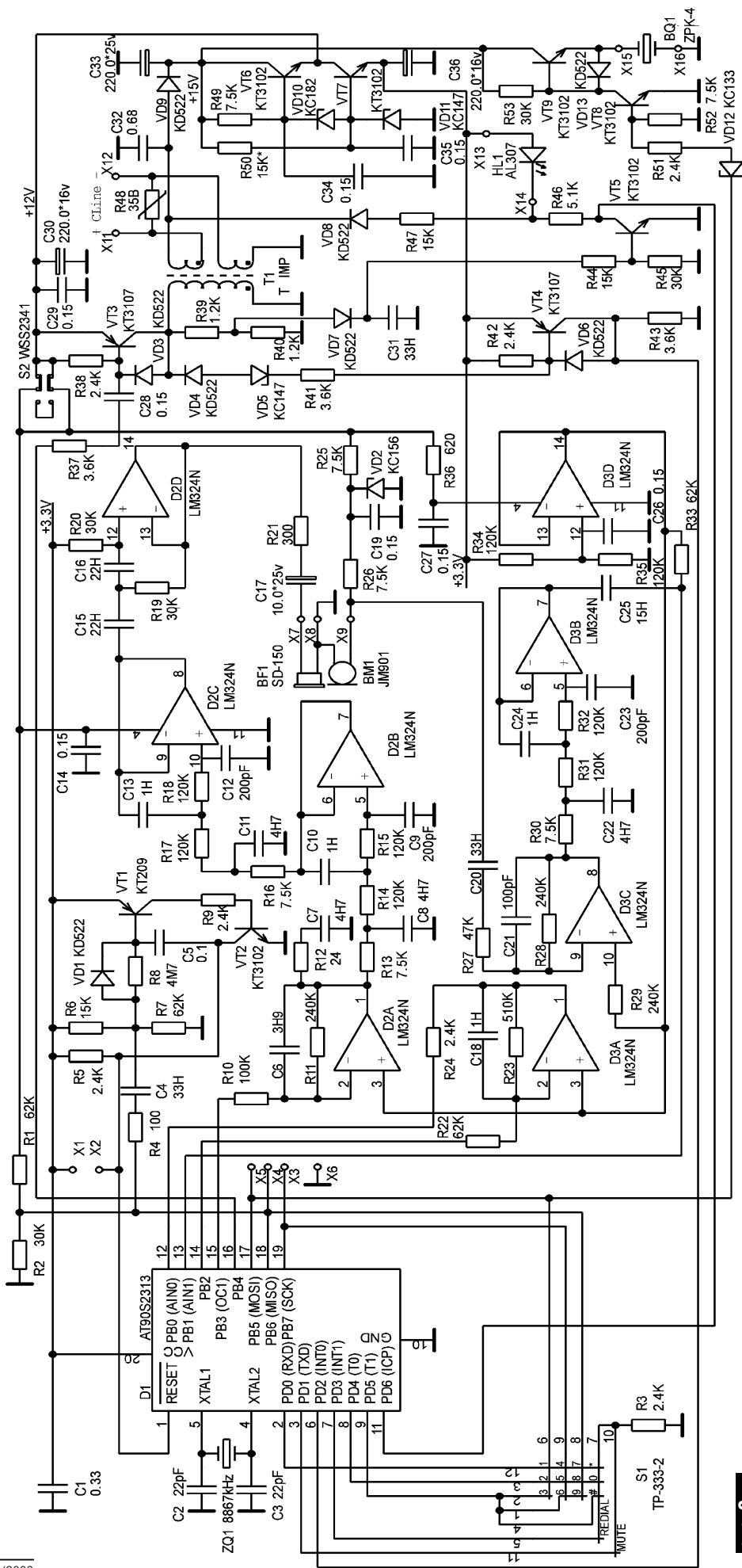


рис. 2

но-импульсную модуляцию (ШИМ), которая поступает на интегратор приема (ИПр). С выхода ИПр через фильтр и усилитель (УТ) сигнал поступает в излучатель BF1. Сигнал с микрофона ВМ1 поступает в микрофонный усилитель (УМК) и через фильтр - на аналоговый вход МК, который преобразует сигнал в цифровую форму по закону АДМ С32 с помощью интегратора передачи (ИП), выдавая на него ШИМ передачи. После этого МК скремблирует цифровой поток передачи и выдает его в ЦАЛ через ФИ. В режиме поднятия МК также осуществляет следующие действия: выдает импульсы отмены сброса на Ф; сканирует клавиатуру S1; при нажатии кнопки формирует акустический сигнал нажатия через ФВС; после отпускания кнопки передает соответствующий код в ЦАЛ; проверяет наличие сигнала "Поднятие" и при его выключении переходит в дежурный режим.

На рис.2 представлена электрическая принципиальная схема аппарата. Импульсный трансформатор Т1 (в УС) разделяет постоянную составляющую и импульсы от ЦАЛ. Постоянное напряжение через VD9 поступает на C33 и далее в БП на VD10, VD11, VT6, VT7. Для уменьшения тока потребления стабилитроны включены последовательно, изменением сопротивления резистора R50 компенсируется разброс напряжения VD11.

Поток выходных импульсов с МК формируется транзистором VT3. Диод VD3 ограничивает насыщение VT3 для улучшения стабильности длительности импульса. Наличие импульсов передачи в ЦАЛ (как своих, так и с параллельно включенного устройства) контролируется с помощью детектора передачи на элементах VT5, VD7 и индицируется светодиодом HL1. Цепь VD8R47 обеспечивает индикацию неправильной полярности включения в линию тем же HL1.

Транслятор входного сигнала на VD4, VD5, VT4, VD6 преобразует входные импульсы в уровни лог."0" и лог."1" МК. Программно





анализируя поступающие импульсы, МК преобразует сигнал АДМ в ШИМ, которая подается в интегратор приема на D2A. С него сигнал через фильтр НЧ на R13, C8 и активный фильтр НЧ на D2B и D2C поступает на усилитель на D2D, который выполнен по схеме фильтра ВЧ, и далее - на излучатель BF1.

Указанные фильтры образуют полосовой фильтр для пропускания телефонной полосы частот. Примеры построения активных фильтров на операционных усилителях и методика их расчета подробно описаны в [2].

Сигнал с микрофона ВМ1 поступает на усилитель (УМК) на D3С, выполняющий также коррекцию АЧХ. На VD2, C19, R25 выполнен стабилизатор питания микрофона. Через фильтр на R30, C22 и активный фильтр на D3В сигнал подается на аналоговый вход МК (вход компаратора), который сравнивает его с восстановленным на интеграторе D3А сигналом и, таким образом, формирует цифровую последовательность по закону АДМ, после скремблирования передаваемую в линию.

Правильное функционирование аналоговой части схемы при однополярном питании ОУ обеспечивается с помощью опорного источника 1,65 В на элементах D3D, R34, R35, C26, идентичного схеме, приведенной в [3].

На элементах VD12, VT8, VT9, VD13 построен ФВС. При подаче лог. "1" от МК VD12 "пробивается" и включается VT8. Схема ФВС построена с учетом работы на емкостную нагрузку ВQ1 и аналогична схеме, приведенной в [4].

На транзисторах VT1 и VT2 выполнен генератор сброса, подобный использованным в АОНах "анти-зависателям": если МК не подает импульсов отмены сброса по цепи R4, C4 (сразу после включения питания или в результате сбоя), то через 1,5...2 с генератор выдает импульс сброса. На этот же вывод МК ("PB6") подключен делитель R1, R2, через который МК определяет состояние "Поднятие". Сюда же подается сигнал сканирования клавиатуры. Такое тройное использование вывода получено за счет разделения по времени и уровням: сканирование клавиатуры ведется по состоянию "0-Z", выдача импульса отмены сброса - "1", а контроль напряжения с R1, R2 - в паузе между сигналами.

Также по уровням разделены сигналы сканирования клавиатуры и сигналы включения ФВС на выводе МК "PB5": сканирование - "0-Z", включение ФВС - "1".

Для уменьшения числа линий сканирования в МК на одну линию подключен R3. МК сначала проверяет входы на наличие "0" (нажатие клавиш) при "Z" на выводах "PB5", "PB6", "PB7", и, если он есть, то дальнейшее сканирование не проводится. В противном случае поочередно выдается "0" на выводы "PB5", "PB6", "PB7".

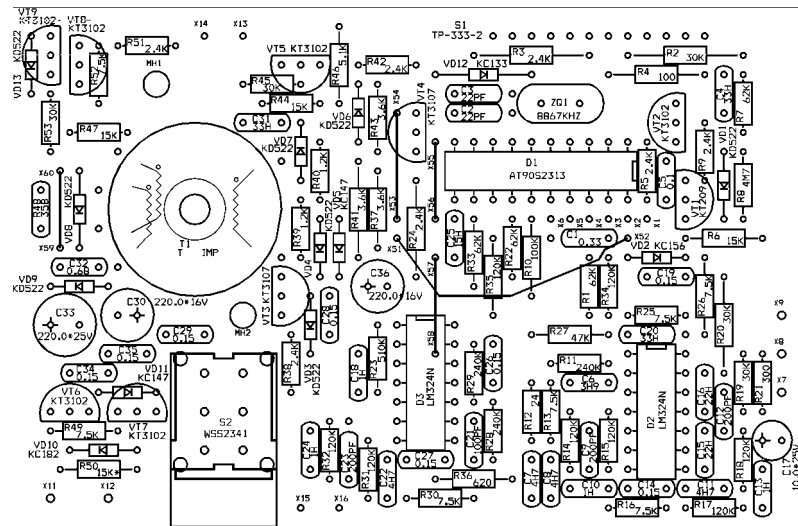


рис. 3

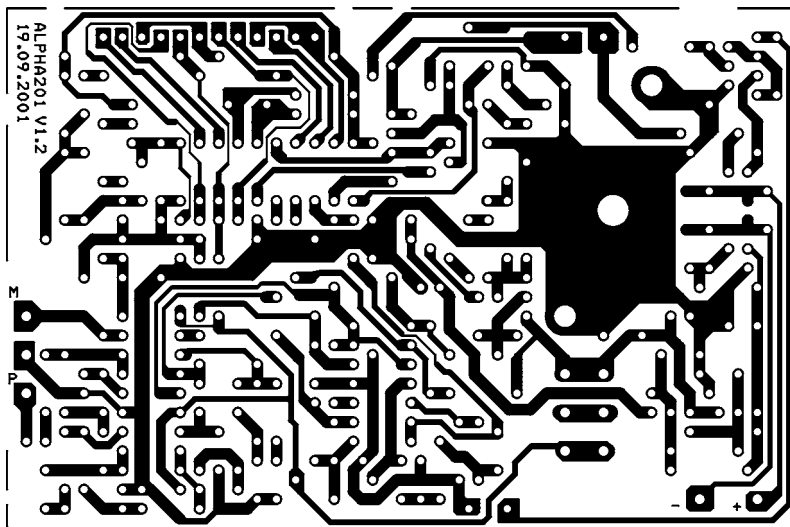


рис. 4

Регулировку громкости вызывного сигнала МК осуществляет путем изменения скважности сигнала "1" на выводе "PB5": от самого короткого импульса для подзвонки клавиш до заполнения 1/3, соответствующей наибольшей громкости. Данный способ имеет недостаток: неравномерное изменение громкости при регулировке, но это вполне компенсируется легкостью реализации регулировки программным путем.

Резисторы на линии "PD0", "PD1", "PD3", "PD4", "PD5" (выходы от клавиатуры) не потребовались, благодаря наличию в МК режима с включением резистора сопротивлением 60 кОм к VCC.

**Конструкция.** Телефон собран в корпусе TP-333. Чертеж печатной платы (69x105 мм) представлен на рис.3, 4. Импульсный трансформатор аналогичен описанному в [1] - на кольце K16x10x4 2000НМ. Можно лишь добавить, что для 4000НМ достаточно 210 витков первичной обмотки и 35 витков вторичной, а для 6000НМ - соответственно 180 и 30 витков.

В качестве C6, C7, C18, C21 следует использовать конденсаторы с малым ТКЕ

(желательно МП0) с целью получения стабильного уровня приема и передачи. Следует подобрать пару резисторов R34, R35, чтобы на выходе D3D получить точно половину напряжения питания МК.

*(Окончание следует)*

#### Литература

1. Попель А. Дигитайзер для системы С32// Радиоаматор. - 2000. - №9. - С. 52-54.
2. Карев В., Терехов С. Операционные усилители в активных RC фильтрах// Радио. -1977. - №8. - С. 41-44.
3. Гапличук Л.С. Питание операционных усилителей от однополярного источника// Радиоаматор. - 1994. - №2. - С. 25.
4. Кизлюк А.И. Справочник по устройству и ремонту телефонных аппаратов. - М.: Библион, 1997. - 83 с.
5. Преобразователь полярности источников питания// Радио. - 1978. - №5. - С. 58.
6. Многопрограммный таймер КР1016ВИ1// Радиоаматор. - 1996. - №6. - С. 29-30.



# Беспроводная передача данных

Н.Н. Ракович, г. Киев

В статье рассмотрены микросхемы для систем радиочастотной идентификации и регистрации объектов (системы ограничения доступа, автомобильные иммобилайзеры, автоматизированная торговля и т. д.). Это широкий круг приборов, которые работают на расстоянии от одного до нескольких сотен метров и позволяют решать различные задачи с простотой, легкостью и надежностью, о которых раньше можно было только мечтать.

Первоначально компоненты для устройств, работающих на небольшом расстоянии (short-range devices, SRD), создавались для систем дистанционного управления в автомобильной промышленности (блокирование и открывание дверей автомобиля без помощи механического ключа). Сейчас помимо автомобильной автоматики компоненты для SRD-устройств применяют в медицинских комплексах, системах сбора телеметрической информации и в огромном числе приборов различного назначения, куда входят системы обнаружения, охраны и безопасности, устройства передачи данных и т. д.

Наименование	Краткое описание
RR1-XXX	Сверхрегенеративный радиоприемник с фиксированной частотой
RR3-XXX	Сверхрегенеративный радиоприемник с лазерной настройкой контура в процессе изготовления
RR4-XXX	Сверхрегенеративный радиоприемник с лазерной настройкой контура в процессе изготовления и каскадным входом
RR6-XXX	Сверхнизкопотребляющий сверхрегенеративный радиоприемник
RR8-XXX	Низкопотребляющий сверхрегенеративный радиоприемник с напряжением питания 3 В
RR10-XXX	Сверхрегенеративный радиоприемник с узкой полосой пропускания
RR11-XXX	Низкопотребляющий сверхрегенеративный радиоприемник с коротким временем включения
RR15-XXX	Сверхрегенеративный радиоприемник с амплитудной модуляцией и с входным фильтром на ПАВ
RRS1-XXX	Супергетеродинальный приемник с амплитудной модуляцией и входным фильтром на ПАВ
RRS2-XXX	Супергетеродинальный приемник с амплитудной модуляцией
RRS3-XXX	Супергетеродинальный приемник с амплитудной модуляцией, входным фильтром и предварительным усилителем
RRQ1-XXX	Супергетеродинальный приемник с амплитудной модуляцией и кварцевым генератором
RRQ2-XXX	Супергетеродинальный приемник с амплитудной модуляцией, кварцевым генератором и бесшумной настройкой
RRF1-XXX	Супергетеродинальный приемник с частотной модуляцией
RRFQ1-XXX	Супергетеродинальный приемник с частотной модуляцией и кварцевым генератором
RT1-XXX	Радиопередатчик с амплитудной модуляцией и встроенной антенной
RT2-XXX	Радиопередатчик с амплитудной модуляцией, резонатором на ПАВ и встроенной антенной
RT4-XXX	Радиопередатчик с амплитудной модуляцией и резонатором на ПАВ
RT5-XXX	Радиопередатчик с амплитудной модуляцией и резонатором на ПАВ
RT6-XXX	Радиопередатчик с амплитудной модуляцией и резонатором на ПАВ
RT8-XXX	Радиопередатчик с амплитудной модуляцией и резонатором на ПАВ
RTQ1-XXX	Радиопередатчик с амплитудной модуляцией и кварцевым генератором
RTF2-XXX	Радиопередатчик с частотной модуляцией и резонатором на ПАВ
RTFQ1-XXX	Радиопередатчик с частотной модуляцией и кварцевым генератором
UTR1	Ультразвуковой радиопередатчик
UTR2	Ультразвуковой радиопередатчик
UTR3	Ультразвуковой радиопередатчик
PID1	Пассивный инфракрасный детектор
IRT1	Импульсный инфракрасный передатчик
IRD1	Инфракрасный радиопередатчик с импульсной модуляцией

До недавнего времени подавляющее большинство дешевых SRD-устройств производили на основе ПАВ-резонаторов и дискретных элементов, как, например, широко известные системы автомобильной сигнализации диапазона 434 МГц. Невысокая стабильность частоты и недостаточная помехозащищенность устройств на ПАВ не позволяют использовать их для решения таких задач, как, например, передача данных.

Появление приемопередающих приборов, выполненных на одном кристалле, упрощает беспроводную передачу данных. Типовая система может содержать микроконтроллер, приемник, передатчик и небольшое количество внешних элементов. Области применения подобных систем передачи данных широки: устройства сигнализации, беспроводные сети, телеметрия, системы двустороннего вызова, дистанционное управление и контроль. Помимо традиционных приложений стоит упомянуть системы контроля параметров окружающей среды, контроля доступа и перемещения, беспроводного считывания штрих-кода. Этим список далеко не исчерпывается.

Естественно, что столь перспективное направление на рынке электронных компонентов не могло остаться без внимания. Как следствие, микросхемы для приемопередающих систем выпускают фирмы "Infineon Technologies AG", "Gran-Jansen AS", "Xemics", "RF Monolithics Inc.", "Microchip", "Maxim", "Telecontrolli". Infineon Technologies AG предлагает передатчик TDA5100 и приемник TDA5200, работающие в диапазоне 434 МГц или 869 МГц с амплитудной либо частотной модуляцией. Наличие встроенного синтезатора позволяет существенно повысить стабильность рабочей частоты, снизить паразитные излучения и шумы радиосигнала, что, в свою очередь, дает возможность реализовывать системы с более длинным, помехозащищенным, кодом. Микросхемы имеют замечательное свойство: стабильность частоты системы определяется только характеристиками тактового генератора и кварцевого резонатора. Высокая стабильность частоты позволяет использовать узкополосные приемники, что значительно увеличивает их чувствительность. В состав трансивера GJRF400 для работы в диапазоне 434 МГц, выпускаемого норвежской фирмой "Gran-Jansen AS", входит передатчик с выходной мощностью 5 мВт и приемник с чувствительностью -110 дБм. В микросхеме предусмотрена только частотная манипуляция (FSK), а фильтр системы ФАПЧ внешний. Управление трансивером осуществляется по четырехпроводной линии.

Не отстает от конкурентов и швейцарский "Xemics". Выпускаемая этой фирмой серия трансиверов XE120X позволяет решать всевозможные задачи по передаче данных на небольшие расстояния в диапазоне 434, 868, 915 МГц. Недавно фирма анонсировала микроконтроллер со встроенным радиоканалом, что наверняка упростит создание систем связи на основе ее микросхем. Широкая номенклатура приборов фирмы "RF Monolithics Inc." понравится разработчикам: тактовые генераторы, фильтры, резонаторы, приемники, приемопередатчики и передатчики на диапазон частот от десятков килогерц до единиц гигагерц. На продукции "Microchip" особо останавливаться не будем, поскольку производимые микросхемы идентификации радиодиапазона серии MCRxxx и передатчики со встроенным PIC-контроллером уже получили достаточное освещение в литературе.

Очень часто соотношение критериев частотного диапазона и стоимости приборов является определяющим для отечественных разработчиков. Поэтому пристальное внимание стоит уделить продукции итальянской компании "Telecontrolli", почти неизвестной в России. Фирма "Telecontrolli" специализируется на производстве гибридных интегральных схем (ГИС) по толстопленочной технологии. Среди выпускаемых изделий - заказные ГИС, стандартные электронные модули, DC/DC-конвертеры и передатчики/приемники радиочастотного диапазона. "Telecontrolli" входит в состав "IPM Group", основное направление деятельности которой - телекоммуникация и передача данных. Представительства компании открыты почти во всех европейских странах, Южной Африке, Канаде, США, Бразилии и Аргентине, а дистрибуторская сеть охватывает практически весь мир.

В **таблице** приведены микросхемы для беспроводной связи, выпускаемые фирмой (XXX - рабочая частота, которая может принимать значения 315, 418 или 433,92 МГц). При разработке различных систем с беспроводной передачей данных не всегда требуется приемник и передатчик в одном корпусе. А если не нужен приемник (или передатчик), то зачем платить за него? Аналогичная ситуация и со встроенными контроллерами. Таким образом, широкая номенклатура приборов от "Telecontrolli" позволяет решать разнообразные прикладные задачи с максимальной эффективностью.

Более подробную информацию можно получить по тел.: 248-80-48, 248-81-17.

# Чудо-анализатор аккумуляторных батарей ITECH IQ<sup>five</sup>



В этой статье мы бы хотели рассказать об анализаторах аккумуляторных батарей для средств радиосвязи, в частности **об анализаторе ITECH IQ<sup>five</sup> производства "Intelligent Technologies Company"**. Следует отметить, что этот прибор более всего интересен для организаций, имеющих на балансе большое количество аккумуляторов либо обслуживающих их по заказам клиентов.

Итак, для чего в нашей повседневной жизни может пригодиться анализатор аккумуляторных батарей. Рассмотрим на конкретных примерах.

**Пример 1.** Вы приобрели партию новых аккумуляторов. Естественно, возникает вопрос об их состоянии и о степени соответствия параметрам, заявленным изготовителем. Таким образом, нужно решить типовую задачу входного контроля.

**Пример 2.** Необходимо проверить состояние "подсевших" аккумуляторов и аргументированно объяснить, что с ними дальше делать: изъять и купить новые или просто восстановить. С этой целью аккумулятор сначала разряжается до напряжения 1 В на элемент (тем самым Вы узнаете его остаточную емкость), затем полностью заряжается и вновь разряжается. Если полученное в результате этого разряда истинное значение емкости аккумулятора окажется меньше наперед заданного Вами процента от номинального значения (например, 80 %), то начнется процесс восстановления, при котором аккумулятор подвергнется глубокому разряду до 0,4 В на элемент. По окончании разряда аккумулятор вновь зарядится и затем разрядится, для того чтобы определить его емкость после цикла восстановления. Последний этап - окончательный заряд. Таким образом, после завершения всех этапов на индикаторе анализатора для Вашего аккумулятора будут отображены три значения емкости в процентах от номинальной: остаточная, максимальная до восстановления и максимальная после восстановления. На основе этих данных Вы сможете сделать вывод об успешности восстановления аккумулятора.

**Пример 3.** Аккумулятор заряжен, но аппарат при резком увеличении нагрузки вдруг отключается. На примере сотового телефона это может выглядеть так: телефон отключается либо в момент попытки сделать звонок, либо вообще без видимых причин и подачи сигнала о низком напряжении аккумулятора. Если контакты аккумулятора и телефона чистые и соединение между ними плотное, то причина одна - у Вашего аккумулятора высокое внутреннее сопротивление. Дело в том, что при попытке сделать исходящий вызов или ответить на входящий, телефон переходит из состояния низкого энергопотребления в высокое с увеличением потребляемого тока в 10 и более раз. В результате на повышенном внутреннем сопротивлении аккумулятора происходит паразитное падение напряжения, уменьшающее напряжение непосредственно на его контактах до значения, при котором срабатывает схема отключения. Этот процесс происходит мгновенно, и в случае входящего вызова до включения звонка на телефоне дело даже не доходит. Получается так, что Вам звонят, телефон отключается, а Вы об этом даже и не подозреваете. Определить такую неисправность можно с помощью анализатора.

**Пример 4.** Перед Вами поставлена задача поддержания в постоянной "боевой" готовности определенного количества аккумуляторов на случай каких-либо чрезвычайных ситу-



аций. Анализатор будет постоянно поддерживать их в состоянии готовности, не перезарядит и не испортит их.

Прибор ITECH IQ<sup>five</sup> (см. **рисунок**) имеет небольшие габариты, удобен в эксплуатации, его легко можно приспособить для обслуживания любых типов аккумуляторов. Недостатка в адаптерах нет. Под все вновь появляющиеся аккумуляторы практически сразу появляются и соответствующие адаптеры, которые насчитывают в настоящее время уже около шестисот разновидностей.

Анализатор батарей ITECH IQ<sup>five</sup> имеет шесть посадочных мест и реализует следующие **функции:**

анализ емкости батарей: измеряет емкость аккумуляторов с выводом результатов на LCD;

кондиционирование: восстанавливает емкость батарей путем трех циклов заряда/разряда;

тестирование: "разгоняет" новые NiCd и NiMH аккумуляторы для ввода их в рабочий режим после хранения;

разряд: тестирует емкость, до которой Ваше зарядное устройство заряжает аккумулятор;

работа со всеми видами батарей для радиостанций: NiCd, NiMH и Li-Ion;

распечатка результатов на принтере.

Дисплей анализатора отображает информацию о режиме работы, напряжении, снимаемом с батареи, емкости, сообщении о готовности, об ошибке и др.

В заключение хотелось бы отметить огромную экономическую выгоду от использования анализатора батарей. Не секрет, что в организациях, активно использующих радиосвязь и имеющих большой парк радиосредств, зачастую бывает трудно придерживаться строгого цикла заряда/разряда аккумуляторных батарей. На практике это приводит к тому, что батареи не используют свой полный потенциал и работают обычно около года. **При использовании анализатора батарей жизнь NiCd аккумулятора может увеличиться с 500 до 1000 циклов, а это - 3 года эксплуатации!**

При использовании организацией сотен единиц радиосредств и средней стоимости NiCd батареи порядка 30-60\$ использование анализатора батарей принесет ощутимую выгоду.

**Материал предоставлен  
АО "МКТ-КОМЮНИКЕЙШН",  
04111, Киев, ул. Щербакова, 45А,  
тел./факс: (044) 442-33-44, 442-33-06, 422-22-77,  
e-mail: fine@mkt.com.ua, www.mkt.com.ua.**







**ООО "РЕКОН"**

Украина, г.Киев,  
ул. Ивана Клименко, 5/2, корп.1, к.20  
т/ф (044) 490-92-50, 249-37-21,  
e-mail:rekon@svitonline.com

Разъемы всех типов, соединители, клеммники, кабельная продукция, шлейфы, стяжки, коробки, сетевое оборуд., прокладка сетей, инструмент и др.

**Золотой Шар - Украина**

Украина, 01012, Киев,  
Майдан Незалежности 2, оф.710  
т. (044)229-77-40, т/ф. (044) 228-32-69  
e-mail: office@zolshar.com.ua, http://www.zolshar.ua

Официальные представители ОАО "Элеконд" и НЗРД "Оксид" в Украине. Заводские цены. Срок поставки три недели. Предоплата 30% - остальные по факту поставки.

**ООО "НЬЮ-ПАРИС"**

Украина, 03055, Киев, просп. Победы, 26  
т/ф 241-95-88, т. 241-95-87, 241-95-89  
www.paris.kiev.ua e-mail:wb@newparis.kiev.ua

Разъемы, соединители, кабельная продукция, сетевое оборудование фирмы "Planet", телефонные разъемы и аксессуары, выключатели и переключатели, коробка, боксы, кроссы, инструмент.

**ЗАО "Инициатива"**

Украина, 01034, Киев, ул. Ярослав Вал, 28  
т. (044) 235-21-58, 234-02-50, ф. 235-04-91  
e-mail:mgkic@gu.kiev.ua

Оперативные поставки импортных комплектующих от опытного образца до серийного производства: PHILIPS, SEMICONDUCTORS, IR, BURR-BROWN, MAXIM, ATMEL, ANALOG DEVICES, DALLAS, STMICROELECTRONICS. Розница и оптовые продажи для предприятий и физ. лиц. Доставка по Украине курьерской почтой. Продажа аксессуаров к технике SAMSUNG.

**НПКП "Техекспо"**

Украина, 79057, Львов, ул. Антоновича, 112  
(0322) 95-21-65  
E-mail: techexpo@polynet.lviv.ua

НПКП "Техекспо" протягом чотирьох років здійснює гуртові та дрібногуртові поставки широкого спектру ел. компонентів провідних виробників світу, а також СНД для підприємств різних галузей діяльності: від ремонтних фірм до науково-дослідних інститутів і заводів-виробників.

**ООО "ПРОМТЕХСЕРВИС"**

Украина, г.Киев, ул.Саперное поле, 9А.  
т. (067)5026888, e-mail:promserv@radius.kiev.ua

Радиоэлектронные компоненты отечественных и зарубежных производителей, установочные изделия, трансформаторы, разъемы, кабельная продукция, приборы и материалы, инструменты. Научно-технические разработки.

**ЧП "НАТ"**

Украина, 03150, г. Киев-150, а/я 256  
тел/факс (044) 564-25-35, т.561-48-22  
e-mail: ppnat@ukr.net

Медицинская техника (аппараты КВЧ-терапии "Электроника-КВЧ" и др.), производство, продажа, ремонт, сервис. Поставка широкого спектра отечественных и импортных радиоэлектронных компонентов.

**ПТЦ "Промэлектросервис"**

Украина, г. Киев, ул. Заболотного, 154  
тел. 495-16-25, факс 266-99-78

Силовые полупроводниковые приборы. Поставки электронных компонентов отечественного производства.

**Ин-т радиоизмерит. аппаратуры**

Украина, г. Киев, ул. Радичева, 10/14  
тел.: (044) 488-75-66, 483-97-88  
e-mail: infoirva@i.com.ua

Ищем руководителей проектов (физических и юридических лиц) со своими бизнес-планами по выпуску востребованных рынком изделий (не только радиоизмерительных). Предоставляем лаборатории, цеха, консультации, кадры. Возможно денежное инвестирование и покупка know-how.

**НПФ "УКРАИНА-ЦЕНТР"**

Украина, 03148, г. Киев, ул. Героев Космоса, 2Б,  
3-й этаж, левое крыло  
тел. (044) 478-35-28, факс 477-60-45  
e-mail: ukrcentr@ukr.net, ukrcentr@diawest.net.ua

Дилер заводов "Протон-Электротекс" и "Эстел-Электроника" (силовые приборы - диоды, тиристоры, модули и пр., охладители к ним). Дилер ОАО "Кремний" (транзисторы, микросхемы, твердотельные реле и IGBT-модули производства России).

**ЧП "Ода" - ГНПП "Электронмаш"**

Украина, 03134, г. Киев, пр. Королева, 24, кв. 49  
тел.: (044) 475-98-18, 475-92-54, 475-82-27  
e-mail: ishchuk@aksecc.kiev.ua, oda@alex-ua.com  
http://oda.users.alex-ua.com

Проектирование, подготовка производства, изготовление одно-, двух-, и многослойных печатных плат, гибких шлейфов, клавиатуры, многоцветных клеевых панелей, шильдиков и этикеток, химическое фрезерование.

**ООО "Радар"**

Украина, 61058, г. Харьков (для писем а/я 8864)  
ул. Данилевского, 20 (ст. м. "Научная")  
тел. (0572) 548-150, факс (057) 715-71-55  
e-mail: radio@radar.org.ua

Радиоэлементы в широком ассортименте в наличии на складе: микросхемы, транзисторы, диоды, резисторы, конденсаторы, элементы индикации, разъемы, установочные изделия и многое другое. Возможна доставка почтой и курьером.

**СП "ДАКПОЛ"**

Украина, 04211, Киев-211,  
пр.Победы 5б, оф.341, а/я 97  
тел./факс 044 456 68 58  
e-mail:dacpol@ukr.net www.dacpol.com.pl

ВСЕ ДЛЯ СИЛОВОЙ ЭЛЕКТРОНИКИ. Диоды, тиристоры, IGBT модули, конденсаторы, вентиляторы, датчики тока и напряжения, охладители, трансформаторы, термореле, предохранители, кнопки, электротехническое оборудование

ГЕНЕРАТОРНЫЕ ЛАМПЫ  
КЛИСТРОНЫ  
МАГНЕТРОНЫ  
ЛАМПЫ БЕГУЩЕЙ ВОЛНЫ  
ОСЦИЛОГРАФИЧЕСКИЕ ТРУБКИ  
РАЗРЯДНИКИ

SO СКЛАДА І ПОД ЗАКАЗ

майдим2@mial.ru  
TEL. 476-40-08, 678-26-20 E-MAIL: makdim2@mial.ru

**майдим**  
ЭЛЕКТРОННЫЕ КОМПОНЕНТЫ

**Схема - почтой**

Издательство "Радиоаматор" предлагает ПОД ЗАКАЗ схемы аппаратуры промышленного изготовления по разделам:

- "Аудио-видео"
- "Электроника"
- "Компьютер"
- "Современные телекоммуникации и связь"

Стоимость схем по договоренности в зависимости от их объема и с учетом пересылки. Прайс-лист на имеющиеся в редакции схемы Вы можете получить бесплатно, отправив в адрес редакции письмо с оплаченным ответом и разборчиво написанным обратным адресом.

**ЗАО "Парис"**  
**Все для коммуникаций**

разъемы D-SUB, CENTRONICS, BNC, N, F и другие  
кабель витая пара, коаксиал и телефония 3-й и 5-й категории  
шнуры интерфейсные стяжки, скобы и силовые, SCSI, крепежные компоненты переходники и др. фирмы KSS  
клеммы, клеммники, модемы, сетевое оборудование и панели под микросхемы наборы инструментов и прочие компоненты

**295-17-33**  
**296-25-24**  
**296-54-96**  
ул.Промышленная,3

**Приглашаем к сотрудничеству дилеров**

**магазин "Нью-Парис" Киев, проспект Победы, 26**  
**Тел. 241-95-87 , 241-95-89 , факс 241-95-88**

**Действует система скидок !**



ВНИМАНИЕ АКЦИЯ!

При покупке технической литературы на сумму более 50 гривен каждый покупатель получает бесплатно каталог "Вся радиоэлектроника Украины". Спешите оформить заказ!

New English-Russian dictionary... Modern English-Russian dictionary... Encyclopedia of electronics... Силова електроника для любит. і професіоналів... Сварочний апарат своїми руками... Теорія і розрахунок багатообмоточних трансформаторів... Encyclopedia of electronics... Силова електроника для любителей и профессионалов...

Оформление заказов по системе "Книга-почтой"
Оплата производится по б/н расчету согласно выставленному счету.
Если Вас заинтересовало какое-либо из перечисленных изданий, то Вам необходимо оформить почтовый перевод на указанную сумму в ближайшем отделении связи.

Цены при наличии литературы действительны до 1.05.2003. Срок получения заказа по почте 1-3 недели с момента оплаты.
По всем вопросам, связанным с разделом "Книга-почтой", просьба обращаться по т. 230-66-62, т./ф. 248-91-57, email: val@sea.com.ua.